Internationale Gewässerschutzkommission für den Bodensee

Limnologischer Zustand des Bodensees

Nr. 23

Jahresbericht Januar 1995 bis März 1996

ISSN 1011-1271



Internationale Gewässerschutzkommission für den Bodensee

Limnologischer Zustand des Bodensees

Nr. 23

Jahresbericht Januar 1995 bis März 1996

Bearbeiter: H. Müller

-1997 -

e-assemble at an arministration of the same

VORWORT

Der vorliegende Bericht der Internationalen Gewässerschutzkommission für den Bodensee (IGKB) enthält die Ergebnisse der regelmäßigen limnologischen Freiwasseruntersuchungen des Bodensees im Jahr 1995 / 96. Die allgemeinen Grundlagen und limnologischen Zusammenhänge, die zum Verständnis dieses Berichtes notwendig sind, wurden im Bericht Nr. 9: Limnologischer Zustand des Bodensees - Grundlagen (2. Auflage, Stand 1993) dargestellt.

Am Bericht haben mitgearbeitet:

Dr. Heinrich Bührer, Dübendorf

Dr. Hans-Rudolf Bürgi, Dübendorf

Mag. Dietmar Buhmann, Bregenz

Dr. Ulrich Einsle, Konstanz

Dipl. phil. nat. Urs Engler, St. Gallen

Dr. Hans Güde, Langenargen

Dr. Harald Hetzenauer, Langenargen

Dr. Eckart Hollan, Langenargen

Dr. Reiner Kümmerlin, Langenargen

Dipl.-Inform. Günther Kuhn, Langenargen (EDV)

Dr. Helmut Müller, Langenargen (Koordination Freiwasser)

Dr. Henno Roßknecht, Langenargen

Dipl.-Chem. Walter Schnegg, Frauenfeld

Dr. Hans Bernd Stich, Langenargen

Dr. Benno Wagner, Bregenz

Die Grundlage für den Bericht bildet das Untersuchungsprogramm der Kommission, an dessen Durchführung die folgenden Institute mitgewirkt haben:

Vorarlberger Umweltschutzanstalt in Bregenz:

Untersuchungen des Chemismus in der Bregenzer Bucht.

Eidgenössische Anstalt für Wasserversorgung, Abwasserreinigung und Gewässerschutz (EAWAG), Dübendorf, Fachabteilung Hydrobiologie/Limnolologie:

Amt für Umweltschutz und Wasserwirtschaft des Kantons Thurgau, Frauenfeld:
Terminfahrten, Messungen und Untersuchungen des Chemismus und des
Phytoplanktons im Untersee-Rheinsee.

Institut für Seenforschung der Landesanstalt für Umweltschutz Baden- Württemberg, Langenargen:

Terminfahrten und Messungen, Untersuchungen des Chemismus, des Phyto- und Zooplanktons im Obersee und Untersee-Zellersee, bakteriologische Untersuchungen; Datenverarbeitung und Berichterstattung

Physikalisch-chemische Untersuchungen des Überlinger Sees an der Probenahmestelle zwischen Überlingen und Wallhausen wurden von der Arbeitsgemeinschaft Wasserwerke Bodensee-Rhein (AWBR) und vom Technologiezentrum Wasser (TZW), Karlsruhe durchgeführt. Die Ergebnisse werden jeweils in den AWBR-Jahresberichten veröffentlicht und sind daher hier nicht enthalten.

Inhalt

| | Seite | Abb. | Tab. |
|--------------------------------------|-------|-----------------|------|
| Einleitung | 5 | 1 | 1 |
| Zustandsbeschreibung für das Seejahr | 6 | | |
| 1995 - 1996 (Obersee und Untersee) | | | |
| | | | |
| Langfristige Entwicklung von | | | |
| Phosphor (Obersee) | | 2A | |
| Stickstoff (Obersee) | | 2C | |
| Chlorid (Obersee) | | 2C | |
| Sauerstoff (Obersee) | | 2B | |
| Phytoplankton (Obersee) | | 3 | |
| Zooplankton (Obersee) | | 4 | |
| | | | |
| | | | |
| Obersee | | | |
| Abbildungen und Tabellen | | | |
| Witterung | | 6 | |
| Wasserstände | | 7 | |
| Thermik | | 8, 9 | 2 |
| Sauerstoff | | 10, 11 | 2 |
| Orthophosphat | | 12, 15, 23 | 2 |
| Andere Phosphorverbindungen | | 13, 14, 15, 23, | 2 |
| | | 24 | |
| Nährstoffinhalt | | 15, 23 | 2 |
| Nitrat | | 16, 23 | 2 |
| Nitrit | | 17, 23 | 2 |
| Ammonium | | 18, 23 | 2 |
| Stickstoff partikulär | | 19, 24 | 2 |
| Silikat | | 20, 23 | |
| Anorganische | | | |
| Kohlenstoffverbindungen | | | |
| und Kalk-Kohlensäure-Gleichgewicht | | 21, 22, 23 | 2 |
| Eisen und Mangan | | 25 | 2 |
| Weitere Stoffdaten | | | 2 |
| Phytoplankton | | 26 - 28 | |
| Zooplankton | | 29 - 31 | |
| Bakterienplankton | | 32 | |

| Abb. | Tab | Abb. | Tab |
|----------------|--|---|--------|
| 33. 34 | i. | | |
| 33. 34 | | | i e |
| | 4 | 53, 54 | 5 |
| 35, 36 | 4 | 55, 56 | 5 |
| 37, 40, 45, 46 | 4 | 57, 60, 65, 66 | 5 |
| 38, 39, 40, 45 | 4 | 58, 59, 60, 65 | 5 |
| 40, 45 | 4 | 60, 65 | 5 |
| 40, 41, 45, 46 | 4 | 60, 61, 65, 66 | 5 |
| 42 | 4 | 62 | 5 |
| 40, 43, 45, 46 | 4 | 60, 63, 65, 66 | 5 |
| 44, 45, 46 | 4 | | 5 |
| | | | |
| | | | |
| 47, 48 | 4 | 67, 68 | 5 |
| 46, 49 | 4 | 66, 69 | 5 |
| | 4 | | 5 |
| 50 - 52, 71 | 4 | 70, 71 | 5 |
| | | | |
| | 37, 40, 45, 46 38, 39, 40, 45 40, 45 40, 41, 45, 46 42 40, 43, 45, 46 44, 45, 46 47, 48 46, 49 | 35, 36 4 37, 40, 45, 46 4 38, 39, 40, 45 4 40, 45 4 40, 41, 45, 46 4 42 4 40, 43, 45, 46 4 44, 45, 46 4 47, 48 4 46, 49 4 | 33, 34 |

Vergleich des limnologischen Zustandes an verschiedenen Untersuchungsstationen im

Obersee Tab. 3 Untersee Tab. 6

Auskünfte

EINLEITUNG

Der Bericht zum Seejahr 1995/96 enthält eine kurze Beschreibung des aktuellen Seezustandes, ergänzt durch langfristige Entwicklungskurven der wichtigsten Größen, die von Jahr zu Jahr fortgeschrieben werden.

Die dann folgenden Abbildungen und Tabellen geben eine Übersicht über Örtlichkeiten, Wassertiefe und Zeitpunkt der Probenahme und Messungen sowie über die Klimabedingungen, Thermik, chemische und biologische Verhältnisse im Freiwasser. Für den Bodensee-Obersee beschränken sich diese Darstellungen hauptsächlich auf die zentrale Untersuchungsstation Fischbach-Uttwil. Aus den Ergebnissen dieser Untersuchungsstelle wurden auch die Stoffinhalte des Obersees unter Verwendung der in Tabelle 1 des Berichtes Nr. 9 (grüner Bericht, 1. Aufl. 1985) mitgeteilten Seevolumina berechnet. Quervergleiche zwischen verschiedenen Obersee-Untersuchungsstationen werden nur für einige ausgewählte Parameter durchgeführt.

Für den Bodensee-Untersee werden die Zustände im Zellersee und Rheinsee behandelt. Für die Tabellen wurden charakteristische Summenwerte, z. B. der Stoffinhalt des ganzen Sees, eines Seeteils oder bestimmter Wasserschichten sowie Konzentrationsmaxima und -minima in der Oberflächenschicht oder über dem Seeboden ausgewählt.

Die Datentabellen mit den gesamten Meßwerten für den Freiwasserbereich (Physik, Chemie, Phytoplankton) wurden nach Archivierung auf Datenträgern bei der Eidgenössischen Anstalt für Wasserversorgung, Abwasserreinigung und Gewässerschutz (EAWAG) und beim Institut für Seenforschung der Landesanstalt für Umweltschutz Baden-Württemberg, den damit direkt befaßten Stellen zugestellt.

Das jeweilige limnologische Zustandsbild des Freiwassers wird stark durch die Witterungserscheinungen geprägt. Zustandsänderungen von Jahr zu Jahr dürfen daher nicht von vornherein als Ausdruck einer Entwicklungstendenz interpretiert werden. Dazu sind längere Zeitreihen in Form von Trendkurven notwendig. Dies ist beim Vergleich der Verhältnisse aufeinanderfolgender Jahre zu beachten.

ZUSTANDSBESCHREIBUNG FÜR DAS SEEJAHR

Bodensee - Obersee:

Die Phosphorkonzentration nahm im Seejahr 1995/96 weiter ab und betrug im Frühjahr 1996 noch 22 mg/m³ (1995: 24 mg/m³). Der Gehalt an anorganischem Stickstoff - im wesentlichen Nitrat - nahm von 0,97 auf 1,01 g/m³ leicht zu. Die Biomasse des Phytoplanktons entsprach der des Vorjahres.

Die Sauerstoffgehalte im tiefen Hypolimnion lagen im Jahre 1995 von März bis Oktober etwas unterhalb der Werte des Vorjahres, ab November bis April 1996 etwas darüber. Der Minimalwert in einem Meter über Grund war 1995 mit 6,1 g/m³ geringfügig höher als 1994 (5,9 g/m³).

Auf die hydrologische Situation des Sees hatte der seit langem kälteste Winter, insbesondere nach den zwei vorausgegangenen recht warmen Jahren, eine einschneidende Wirkung. Nach dem kürzeren und etwas weniger warmen Hochsommer als 1994 fiel nur noch der Oktober wärmer als im Vorjahr aus. Danach folgten bis März 1996 Perioden mit durchgehendem geringem bis mäßigen Frost. Insgesamt wurden 63 Tage mit Frost im Tagesmittel von November 1995 bis März 1996 verzeichnet.

Die Oberflächentemperaturen lagen bis Mitte Juli etwas höher als 1994. Das Maximum mit 22,1 °C trat knapp einen Monat früher ein und lag um 2,3 °C niedriger. Die ab November eintretende massive Abkühlung bewirkte, daß sich die Deckschicht bis Ende Januar 1996 auf 90 m verstärkte (1994: 65 m).

Durch die fortdauernde starke Auskühlung stieg die konvektive Vertiefung bis zum 9. Februar 1996 auf 190 m an und unterschritt während mindestens 10 Tagen die Temperaturen des tiefen Hypolimnions (Temperaturinversion!). Am 1. Februar herrschte die bisher höchste beobachtete Wassertemperatur von 4,89 °C am Seeboden. Bis Ende Februar setzten seitliche Kaltwasserzuströmungen unterhalb 180 m ein, die die Temperatur über Grund auf 4,4 °C drückten. Die Deckschicht stellte sich durch Konvektion auf 4,53 °C ein.

Ende März trat die kälteste vertikale Temperaturverteilung ein, und zwar in der Deckschicht bis 130 m mit im Mittel 4,45 °C und 4,3 °C über Grund. Dies war das diesjährige Temperaturminimum. Gleichzeitig begann infolge der einsetzenden jahreszeitlichen Erwärmung eine flache Hauptschichtung mit 6,6 °C Oberflächentemperatur.

Die Konzentration des **Gesamtphosphors** im Rohwasser betrug im Frühjahr 1996 während der Monate Februar bis April im Mittel 22 mg/m³ (Abb. 2A, Konzentration während der Vollzirkulation). Damit hat sich die Phosphorabnahme der letzten Jahre fortgesetzt (Frühjahr 1995: 24 mg/m³; 1994: 29 mg/m³; 1993: 30 mg/m³).

Der **Orthophosphat-Phosphor** lag im August 1995 unter 1 mg/m³. Wegen nachträglich festgestellter analytischer Probleme liegen für Mai bis Juli 1995 keine verwertbaren Phosphorergebnisse vor.

Der **anorganische Stickstoff** (N aus NO₃⁻ + NO₂⁻ + NH₄⁺) mit Nitrat als Hauptkomponente lag 1995 im Jahresmittel (volumengewichtet) mit 1,01 g/m³ leicht über dem Niveau der beiden Vorjahre (1994: 0,97 g/m³; 1993: 1,00 g/m³; Abb. 2C).

Chlorid als Indikator vielfältiger Salzbelastungen wies 1995 im Jahresmittel (volumengewichtet) eine Konzentration von 5,2 g/m³ auf (1994: 5,3 g/m³; Abb. 2C).

Die **Sauerstoffgehalte** waren von März bis Oktober 1995 im tiefen Hypolimnion des Obersees von 200 - 253 m Tiefe durchweg niedriger als 1994 Diese Situation änderte sich Anfang November 1995. Von diesem Zeitpunkt an bis Mitte April 1996 wurden meist höhere Konzentrationen als im Vorjahr gemessen. Der einen Meter über Grund gemessene Minimalwert (6,1 mg/l) wurde 1995 bereits im September erreicht, 1994 (5,9 mg/l) hingegen erst im November (Abb. 2B).

In diesem Vergleich zwischen den Seejahren 94/95 und 95/96 spiegeln sich zwei entscheidende Unterschiede wieder: Einerseits gab es eine schlechtere Startsituation im April 1995 gegenüber April 1994, aber andererseits eine etwas geringere Sauerstoffzehrung im Herbst 1995 als im Herbst 1994.

Der durchschnittliche Sauerstoffinhalt des Obersees der Monate März und April lag 1996 mit 506.000 Tonnen etwas niedriger als in den beiden Vorjahren (1995: 522.000 und 1994: 516.000 Tonnen). Dies rührt daher, daß vor allem im März 1996 von der Seeoberfläche bis in etwa 150 m Wassertiefe geringere Sauerstoffkonzentrationen auftraten als in den beiden Vorjahren. Die bessere Sauerstoffversorgung der volumenmäßig weniger gewichtigen, für den See aber entscheidenden Tiefenzone von 150 m bis zum Grund konnte diesen Fehlbetrag nicht ausgleichen.

Das **Phytoplankton** erreichte 1995 im Jahresmittel eine Biomasse von 10,0 g/m² (0 - 20 m Tiefe). Sie lag damit fast unverändert in Höhe des Vorjahres (1994) mit 10,2 g/m². Die Abnahme der Durchschnittsbiomasse, die mit Ausnahme des Jahres 1993 kontinuierlich seit 1988 erfolgte, hat damit vorerst einen Stillstand erreicht (1993: 13,7 g/m², 1992: 11,8 g/m²; 1991: 12,32 g/m²; 1990: 16,3 g/m²; 1989: 25,1 g/m²; 1988: 33,9 g/m², Abb. 3).

Im Lauf des Jahres 1995 erfolgten vier Maxima: Im Mai trat ein länger ausgedehntes Frühjahrsmaximum mit Werten bis zu 15,7 g/m² auf, das vor allem aus centrischen Kieselalgen und Cryptophyceen bestand. Während des Klarwasserstadiums im Juni fiel die Planktonkonzentration auf Werte um 5 g/m². Anfang Juli trat dann ein zweites Maximum mit 27,4 g/m² auf, das vor allem aus Cryptophyceen und kleineren Anteilen von Chrysophyceen und Dinoflagellaten bestand. Nach einem zweiten Minimum Mitte Juli mit 8 g/m² wurde am 1. August der Höchststand mit 37,8 g/m² erreicht; dieses dritte Maximum bestand zum großen Teil aus pennaten Kieselalgen und Blaualgen sowie einem kleineren Anteil von Dinoflagellaten und Cryptophyceen. Die Biomasse sank dann bis zu einem Minimum von 8 g/m² Anfang September. Mitte Oktober bildete sich ein viertes Maximum mit 24 g/m², das aus Dinoflagellaten, Cryptophyceen, pennaten Kieselalgen und einem kleineren Anteil von Blaualgen bestand. Dann sank die Planktonbiomasse wider relativ schnell ab und bewegte sich von Ende Oktober bis Mitte Dezember zwischen 6 und 8 g/m²; Ende Dezember waren 2 g/m² erreicht (Abb. 27, 28).

Beim Crustaceenzooplankton zeigte sich eine weitere Abnahme der Gesamtabundanz der Tiere. Wie auch bereits im Untersuchungszeitraum 1994/1995 ist die Abnahme im wesentlichen durch die anhaltend niedrigen Copepodenzahlen bedingt. Da dieser Trend nun bereits über mehrere Jahre anhält, könnte es sich um beginnende Auswirkungen der fortschreitenden Oligotrophierung des Bodensees handeln.

Die erkennbaren Änderungen in den Beständen der Daphnien waren gering. Die Unterschiede in der saisonalen Sukzession beruhten möglicherweise auf den abweichenden meteorologischen und hydrologischen Bedingungen im Frühsommer 1995. Die Bestände der übrigen Cladocerengruppen (Bosmina, Bythotrephes, Leptodora) waren etwas geringer als im Vorjahr. Die vorliegenden Zahlen lassen bei den Copepoden auf eine deutliche Abnahme der

Bestände schließen

Bei den vorwiegend h e r b i v o r lebenden Copepoden zeigten 1995 insbesondere die Erwachsenen- und Jugendstadien der Diaptomiden eine Abnahme der Abundanz.

Auch bei den c a r n i v o r lebenden Copepodengruppen waren die Bestände niedriger als im Vorjahr. Dies gilt insbesondere für die erwachsenen Tiere von Mesocyclops leuckarti und Cyclops vicinus. Der bei dem omnivor lebenden Cyclops abyssorum bereits seit mehreren Jahren beobachtete Trend zu erhöhten Bestandsdichten war 1995 nicht erkennbar (Abb. 29 - 31).

Die **Bakterien** - bestimmt durch Direktzählung - zeigten innerhalb der Produktionszone (0 - 20 m) einen im Vergleich zu den Vorjahren relativ späten Anstieg der Zelldichten im April. Auch das üblicherweise im Mai beobachtete Maximum fiel mit 5,4 x 10⁶ Bakterien/ml vergleichsweise gering aus. Dagegen erreichten die Zelldichten nach einem kurzen Minimum während der Klarwasserphase ein ausgeprägtes Maximum im Juli mit Werten von 12 x 10⁶. Bakterien/ml. Im August und September bewegten sich die Werte im Bereich der üblichen Sommerkonzentration von 4 bis 5 x 10⁶ Bakterien/ml. Während der Schönwetterperiode im Oktober wurde nochmals ein Anstieg auf 7 x 10⁶ Bakterien/ml beobachtet. Danach fielen die Werte zum Winter hin wieder kontinuierlich ab und erreichten im März 1996 das winterliche Minimum von 1,3 x 10⁶ Bakterien/ml (Abb. 32).

Bodensee-Untersee:

Die **Phosphorkonzentration** - bestimmt als Gesamtphosphor im Rohwasser - hat 1995 im Rheinsee im Jahresmittel (volumengewichtet) auf 19 mg/m³ abgenommen (1994: 22 mg/m³; 1993: 24 mg/m³). Wegen analytischer Probleme fehlen für den Zellersee Phosphordaten von Mai bis August. Ein Vergleich der übrigen Monate zum Vorjahr zeigt eine leichte Abnahme von 1 mg/m³ (Jahresmittelwert 1994: 34 mg/m³; wahrscheinlicher Jahresmittelwert 1995: 33 mg/m³).

Der Inhalt an **anorganischem Stickstoff** (N aus $NO_3^- + NO_2^- + NH_4^+$) mit Nitrat als Haupt-komponente betrug 1995 im Rheinsee 0,85 mg/l (1994: 0,86 mg/l). Im Zellersee wurde eine leichte Zunahme auf 1,11 mg/l beobachtet (1994: 1,10 mg/l).

Die **Sauerstoffsituation** hat sich 1995 im Rheinsee und im Zellersee gegenüber dem Vorjahr kaum verändert. Im Rheinsee lagen die Sauerstoffkonzentrationen in Seebodennähe im Oktober bei 0,6 und im August und September bei 2,3 bzw. 1,1 mg/l. Im Vorjahr hatten hier die Minimalkonzentrationen im Oktober bei 0,8 und im September und November bei 1,8 mg/l gelegen. Im Zellersee, der bis 1992 über Jahrzehnte hinweg einen zeitweilig totalen Sauerstoffschwund aufwies, wurden auch 1995 bei allen Messungen ein geringer Sauerstoff-Restgehalt gemessen. Er lag von August bis Oktober zwischen 1,4 und 1,7 mg/l (im Vorjahr zwischen 0,8 und 1,9 mg/l).

Beim Phytoplankton im Zellersee stieg die Biomasse 1995 im Jahresmittel wieder stark auf 15,23 g/m² (0 - 20 m Tiefe) an, während 1994 10,5 g/m² erreicht wurden (1993: 13,8 g/m²; 1992: 13,7 g/m²; 1991: 18 g/m²; 1990: 20,2 g/m²; 1989: 27,6 g/m²; 1988: 52,1 g/m²).

Bereits Ende Januar stieg die Biomasse auf Werte von 10 g/m² an, im Februar auf 13-16 g/m². Dann setzte eine sehr starke und den ganzen März und Anfang April andauernde Frühjahrsalgenblüte ein, die ihr Maximum Ende März mit 69 g/m² erreichte; sie bestand vor allem aus centrischen Kieselalgen und Cryptophyceen. Das Klarwasserstadium Ende Mai bis Anfang Juni war sehr ausgeprägt mit Werten von 5-6 g/m². Anfang Juli trat ein zweites

schwächeres Maximum mit 18,5 g/m² ein, das vor allem aus Cryptophyceen, Chrysophyceen und Grünalgen bestand. Nach einem leichten Absinken Mitte Juli erfolgte im August das dritte Maximum mit Werten bis 16 g/m²; es bestand vor allem aus Cryptophyceen, centrischen und pennaten Kieselalgen sowie Grünalgen. Ende August sank die Biomasse wieder leicht ab, stieg dann Mitte September wieder an und erreichte Anfang Oktober das vierte Maximum mit 16 g/m², das vor allem aus Cryptophyceen bestand. Die Biomasse sank dann schnell auf Werte um 4 g/m² ab, die bis Jahresende leicht schwankten, um Ende Dezember 3 g/m² zu erreichen(Abb. 51, 52).

Bewertung und Schlußfolgerungen

Der limnologische Zustand des Bodensees (Obersee) im Freiwasser zeigte im Seejahr 1995/96 insgesamt ein ähnliches Bild wie im Vorjahr. Die seit Anfang der 80er Jahre eingetretene stetige Abnahme der Phosphorkonzentration hat sich fortgesetzt. Die Biomasse des Phytoplanktons lag dagegen gleich hoch wie im Vorjahr. Der über Grund gemessene Sauerstoffminimalwert lag zwar geringfügig höher als im Vorjahr, der gesamte Sauerstoffinhalt lag jedoch im Frühjahr 1996 niedriger als in den beiden Vorjahren. Infolge der befriedigenden Sauerstoffreserven im tiefen Hypolimnion sind jedoch dramatische Sauerstoffmangelzustände über Grund in 1996 trotzdem eher unwahrscheinlich.

Der weitere Rückgang des Phosphors ist den Sanierungsmaßnahmen im gesamten Bodensee-Einzugsgebiet zuzuschreiben. Dies zeigt, daß der mit dem Bau- und Investitionsprogramm verfolgte Weg richtig ist und insbesondere auch der in den letzten Jahren durchgeführte kostenaufwendige weitere Ausbau der Abwasserreinigungsanlagen weitere Erfolge bringt.

Der Parameter Phosphor ist die wichtigste Ursache für die Eutrophierung von Gewässern und damit der Indikator für die Effektivität des Bau- und Investitionsprogrammes für Anlagen zur Abwasserreinigung. Eine Voraussetzung für die Stabilisierung des Sees in dieser Hinsicht ist, daß die Defizite aus dem Bau- und Investitionsprogramm zügig abgebaut werden. Daneben sind andere maßgebliche Einflüsse auf den Zustand des Sees zu berücksichtigen wie:

- die Landwirtschaft
- Tourismus / Verkehr
- Schiffahrt
- Siedlungsentwicklung

Auch diese Faktoren bedürfen der Beobachtung im Sinne einer Gesamtschau und der erforderlichen Reaktionen zur Erhaltung des komplexen Systems Bodensee, damit es als intaktes Ökosystem nachhaltig geschützt und damit Nutzungsansprüche, z.B. Trinkwasserspeicher, Erholung, Fischerei, gerecht werden kann.

Abbildungen und Tabellen

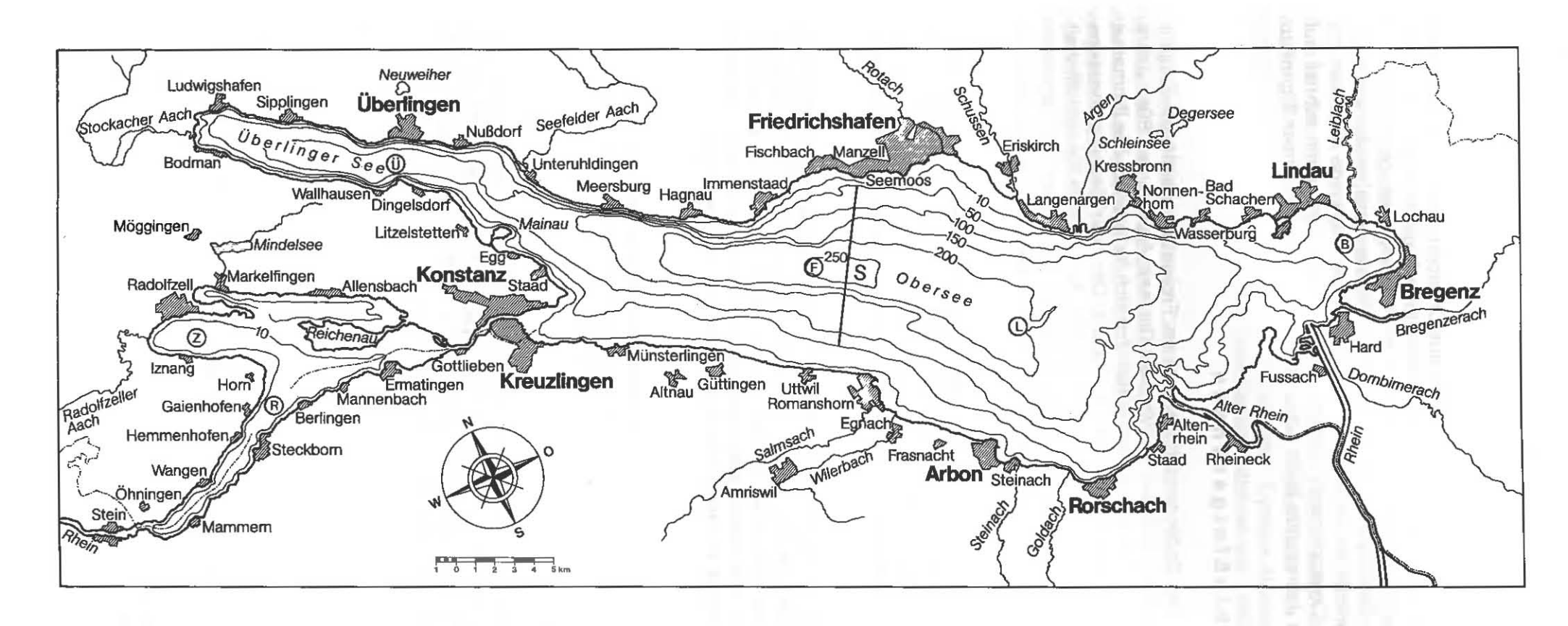


Abb. 1: Der Bodensee mit Lage der Untersuchungsstellen

a) Freiwasser:

Seeboden:

Obersee: Fischbach-Uttwil (F)

Profil Seemoos-Uttwil (S)

Langenargen-Arbon (L)

Langenargen-Arbon (L Bregenzer Bucht (B) Überlinger See (Ü)

Zellerese (7)

Untersee: Zellersee (Z)

Rheinsee (R)

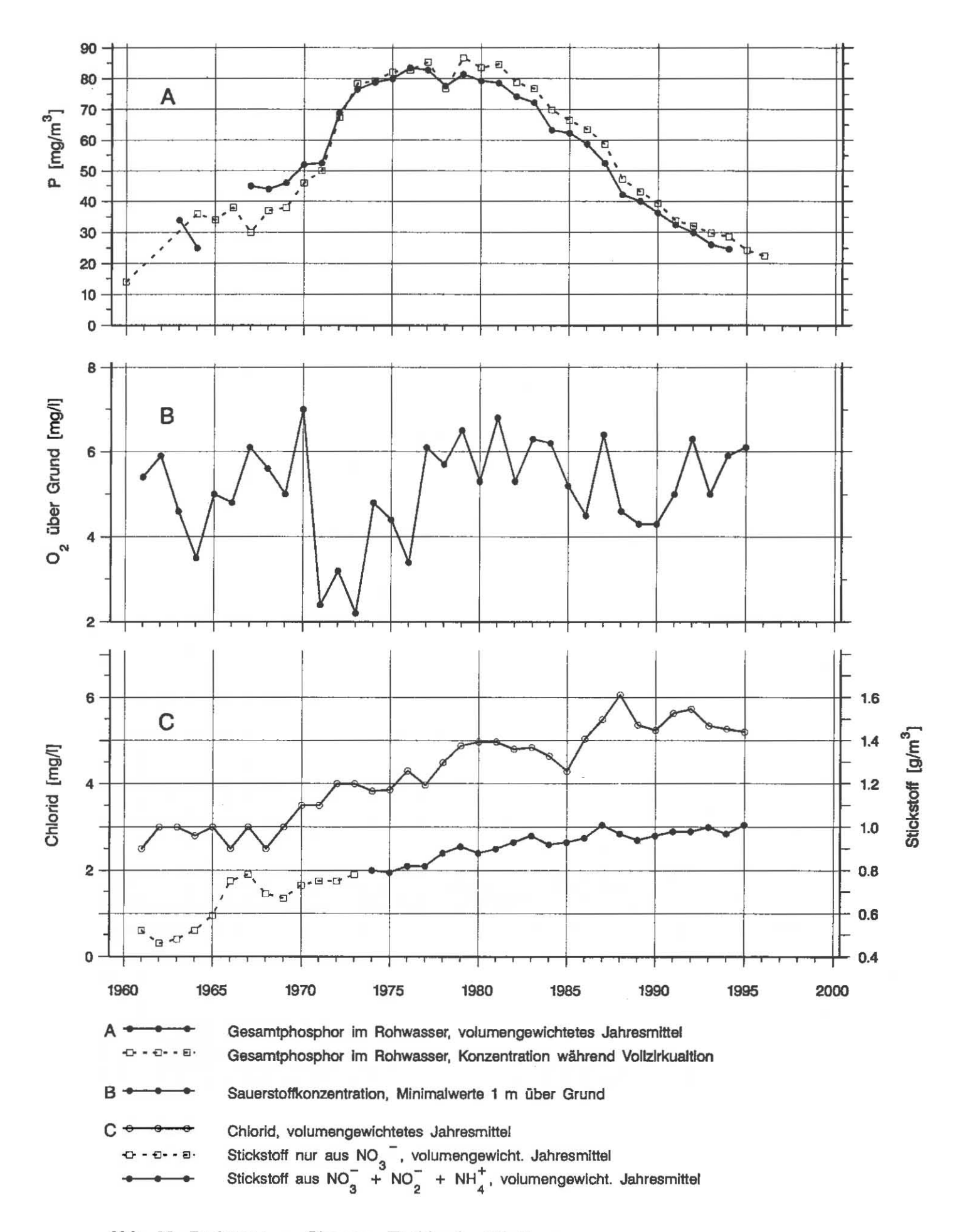


Abb. 02: Bodensee - Obersee, Fischbach - Uttwil:

Langfristige Entwicklung der Phosphor -, Sauerstoff -,

Stickstoff - und Chloridkonzentration

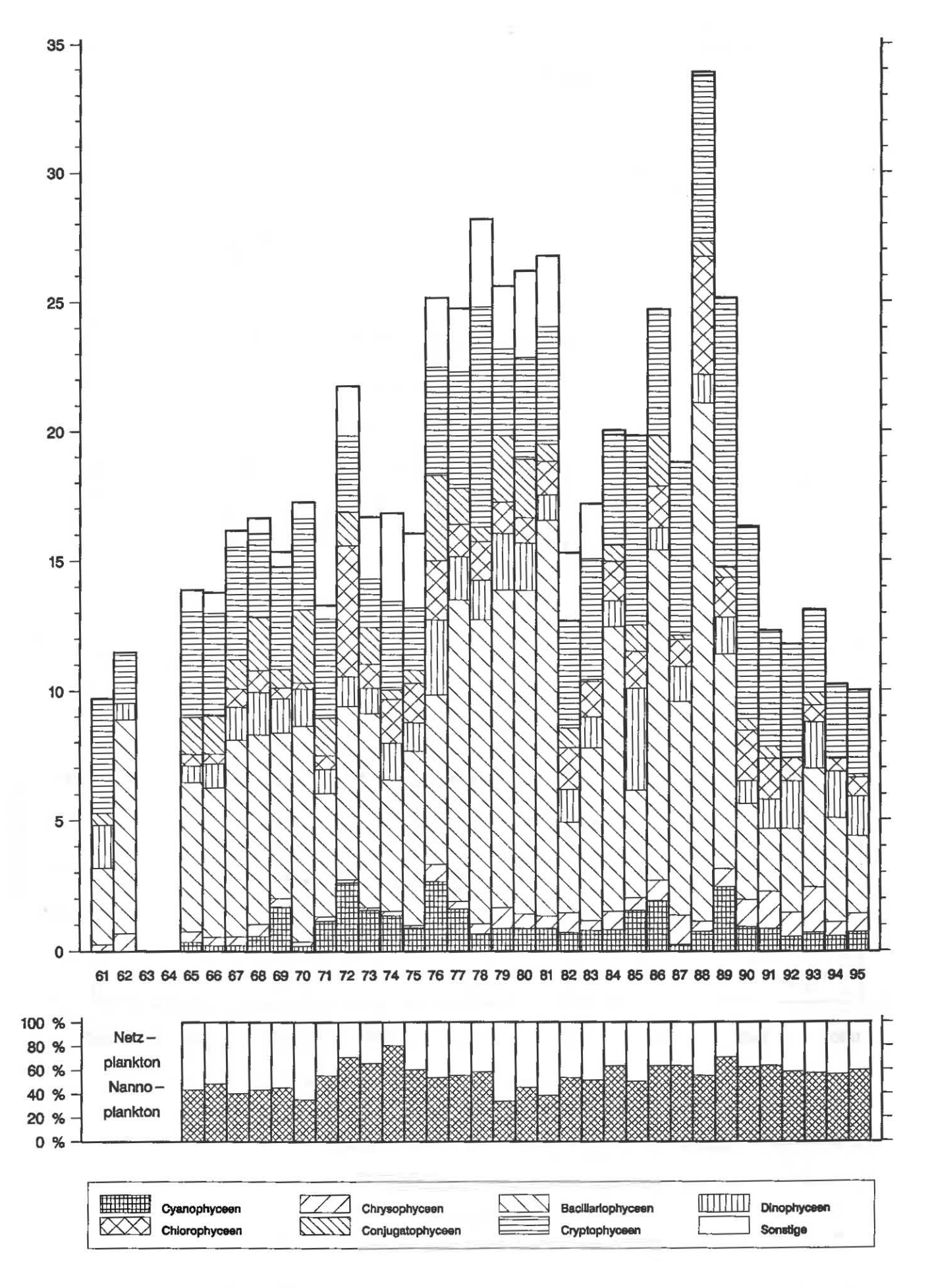
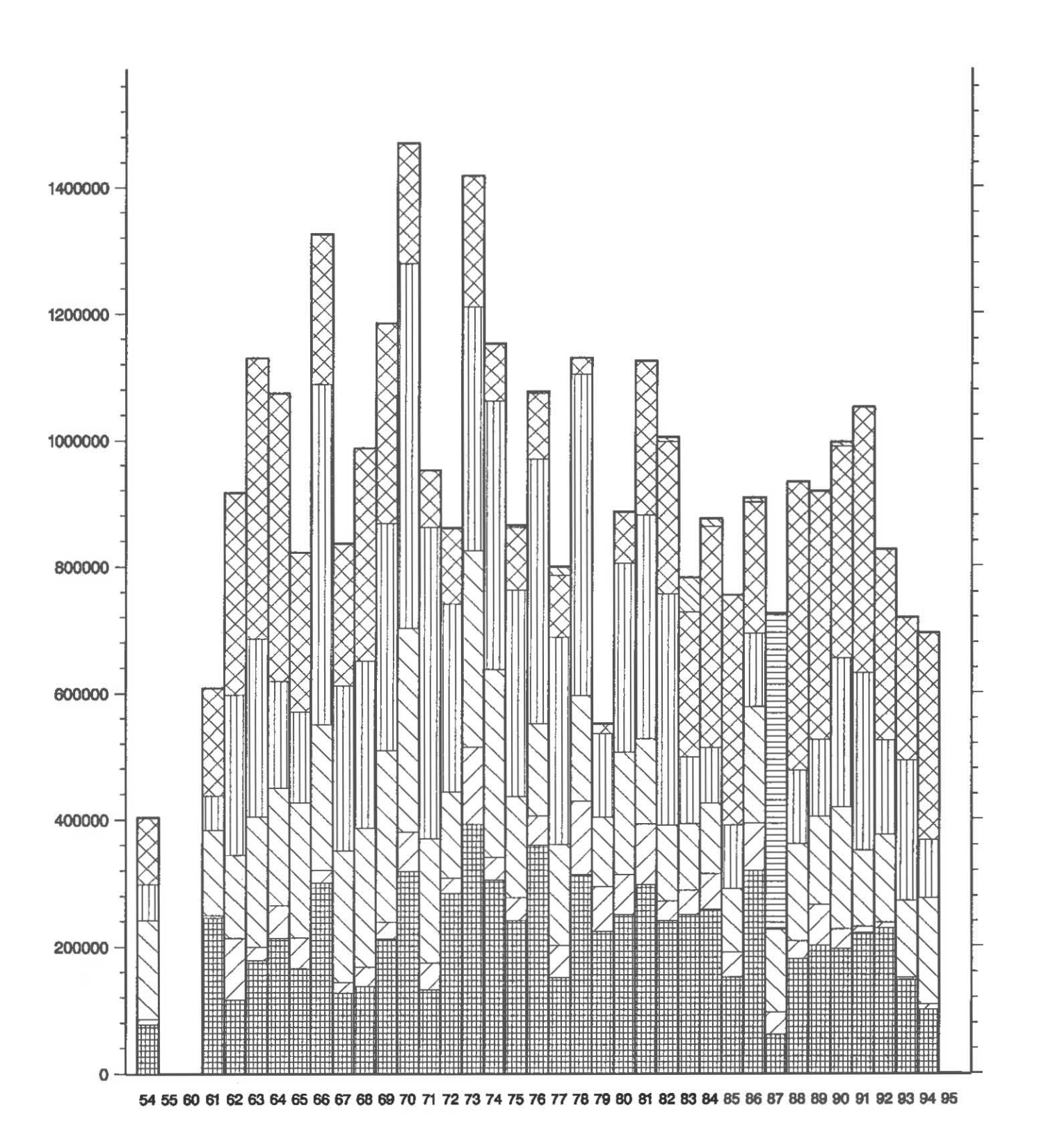


Abb. 03: Bodensee - Obersee, Fischbach-Uttwil: Langfristige Entwicklung des Phytoplanktons Biomassen in g/m² (0-20m Tiefe), Jahresmittel



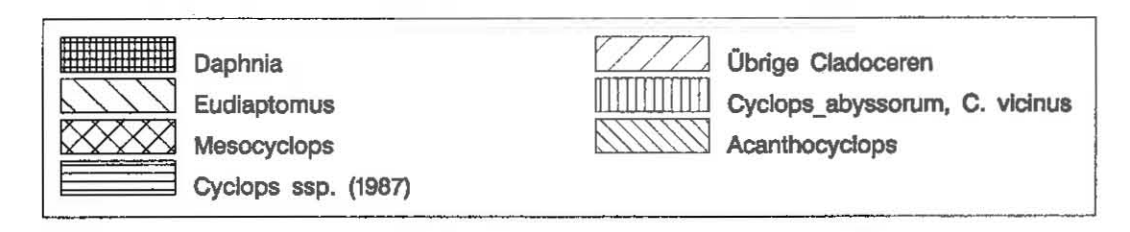


Abb. 04: Bodensee – Obersee, Fischbach-Uttwil:

Langfristige Entwicklung des Crustaceenplanktons
Tiere/m², Jahresmittelwerte *

^{*} Berechnung des Jahresmittelwertes für 1995 nicht möglich

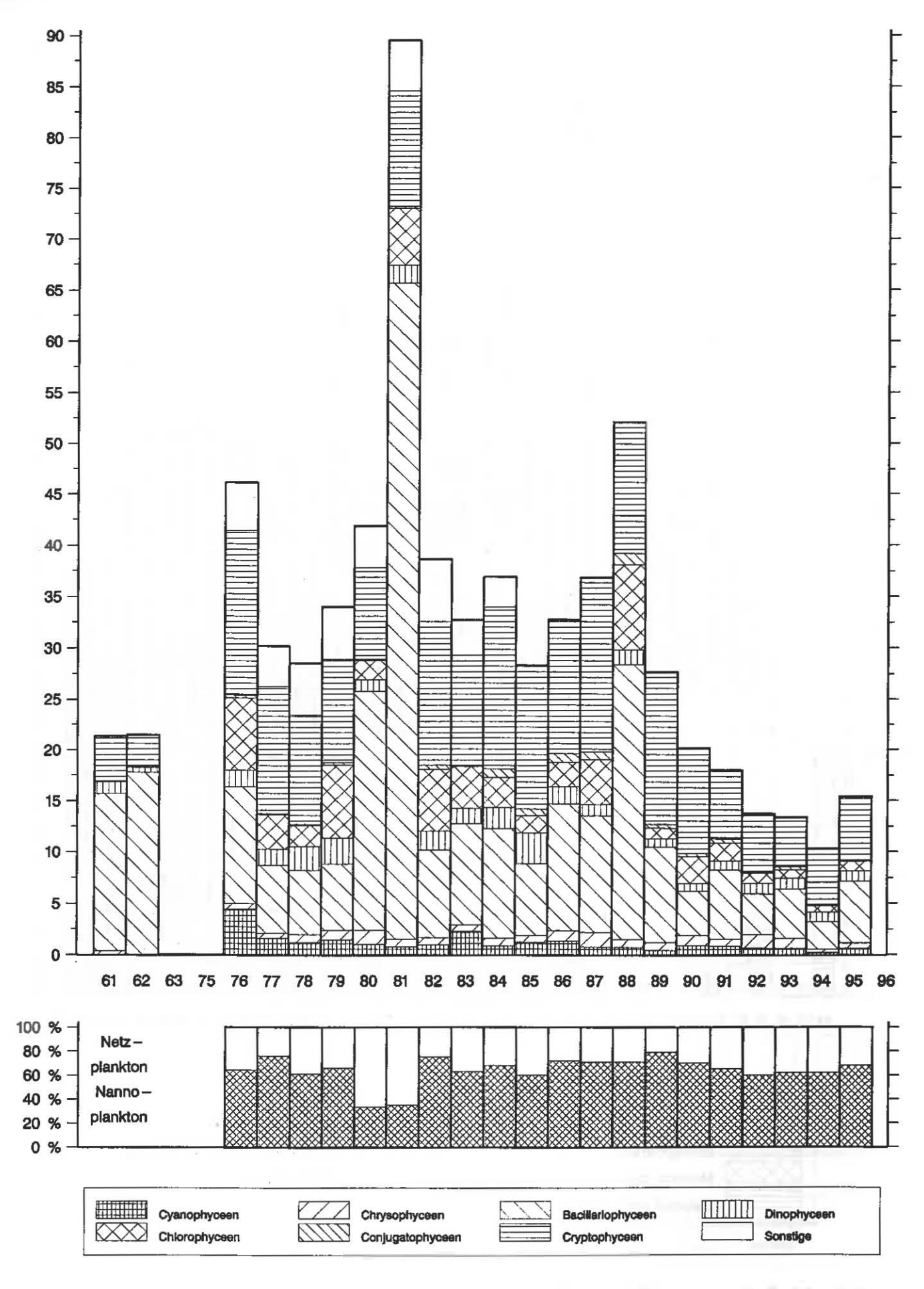


Abb. 05: Bodensee – Untersee, Zellersee:

Langfristige Entwicklung des Phytoplanktons
Biomassen in g/m² (0-20m Tiefe), Jahresmittel

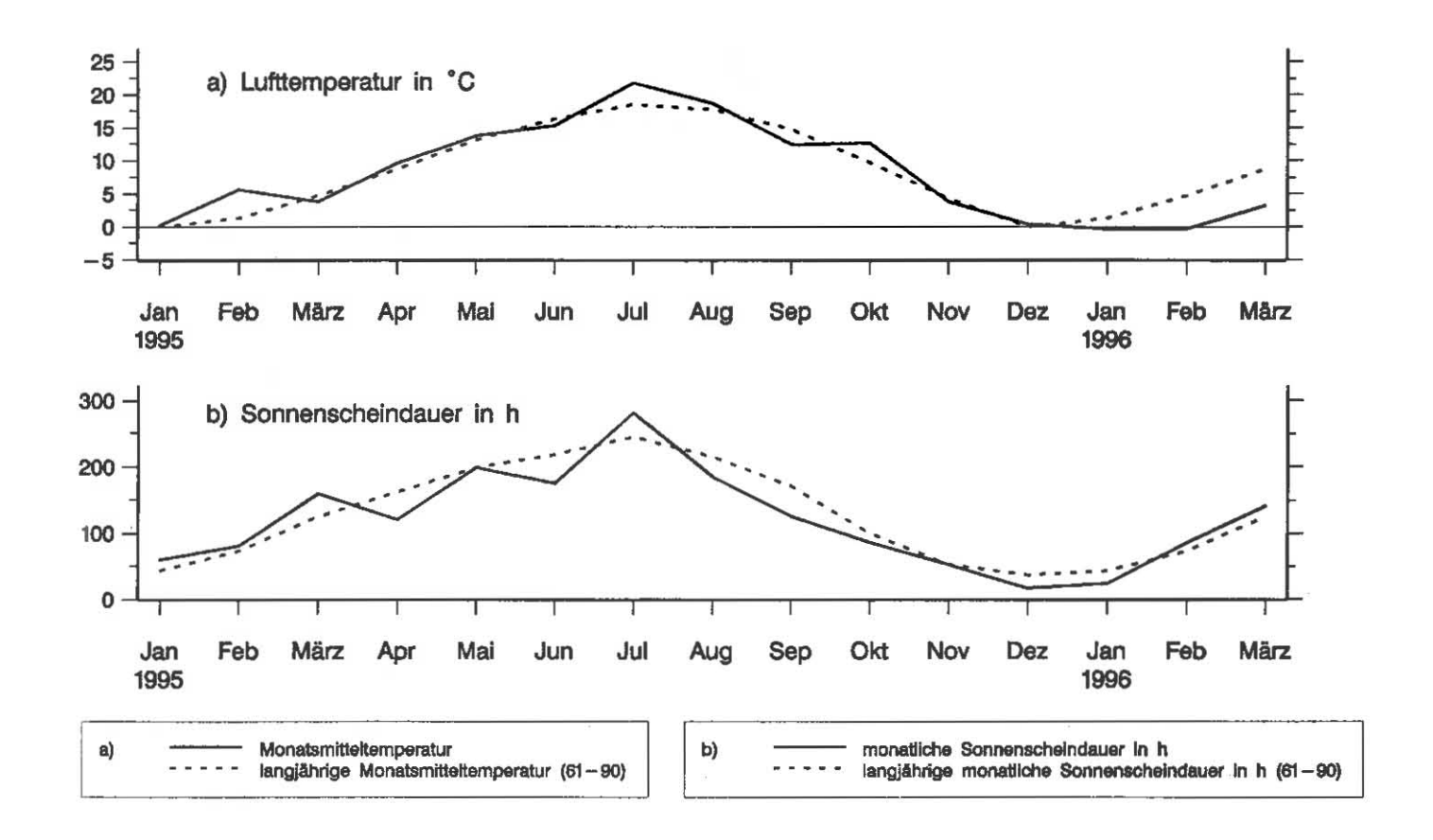


Abb. 6: Bodensee – Obersee:
Klimadaten der Wetterwarte Konstanz

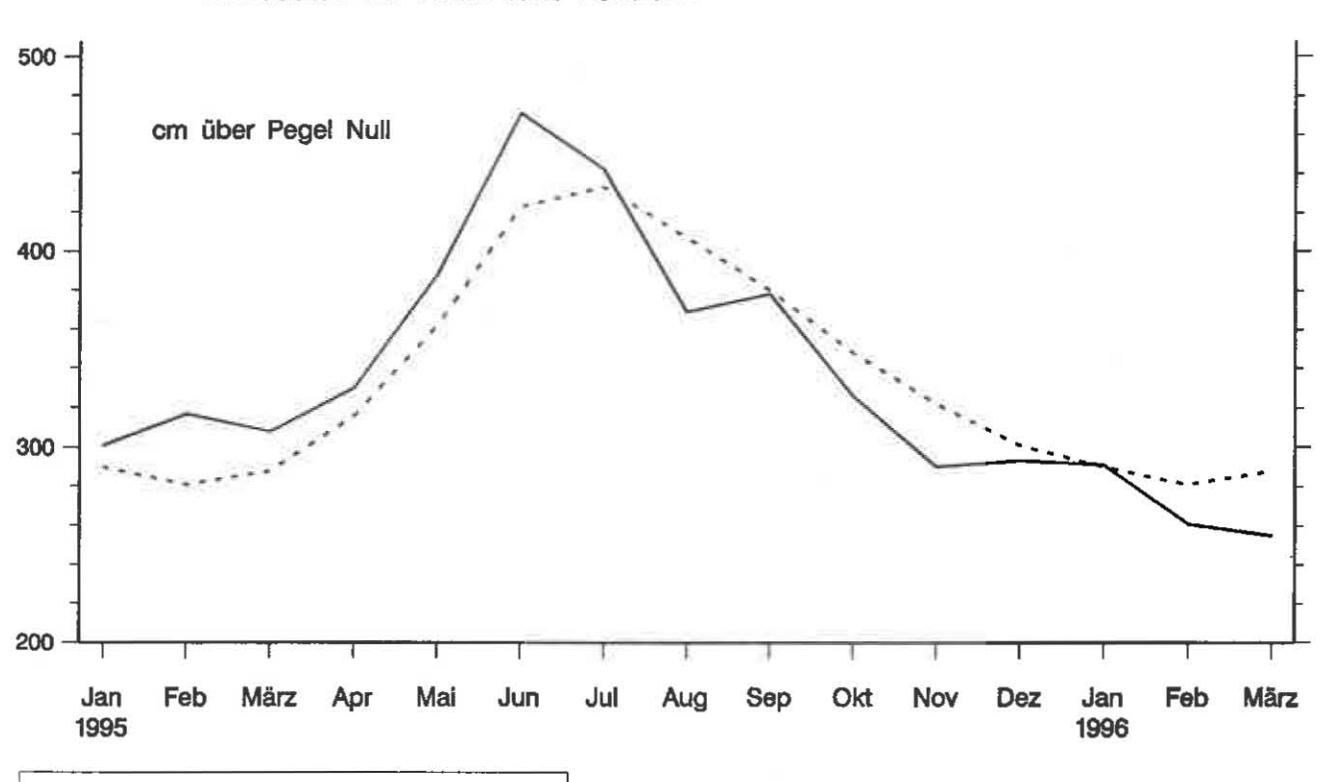


Abb. 7: Bodensee – Obersee: Wasserstand am Pegel Konstanz

langjähriger monatticher Wasserstand (61-90)

mittierer monatlicher Wasserstand

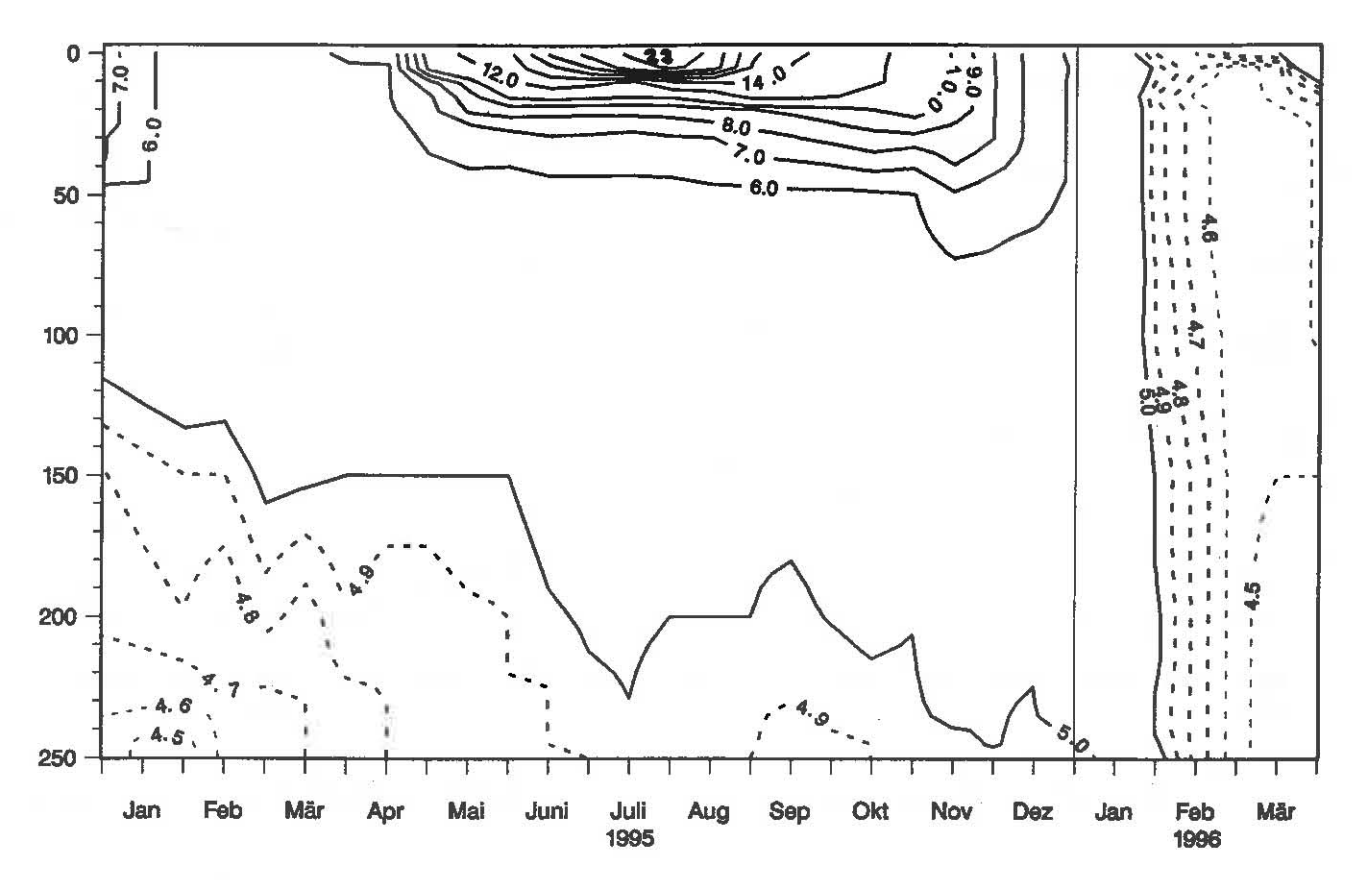


Abb. 8: Bodensee – Obersee, Fischbach-Uttwil: Temperatur °C

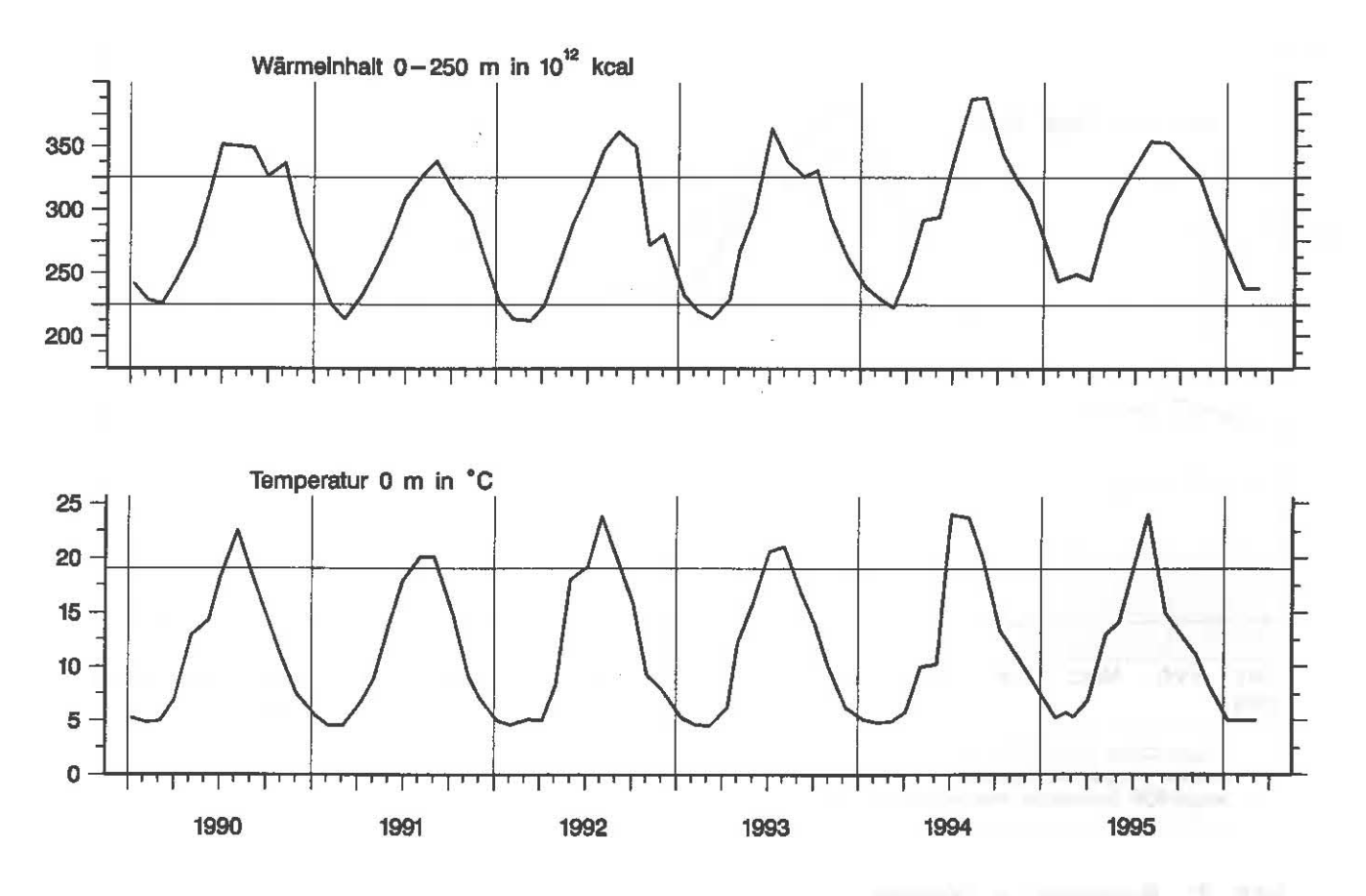


Abb. 9: Bodensee – Obersee: Thermik

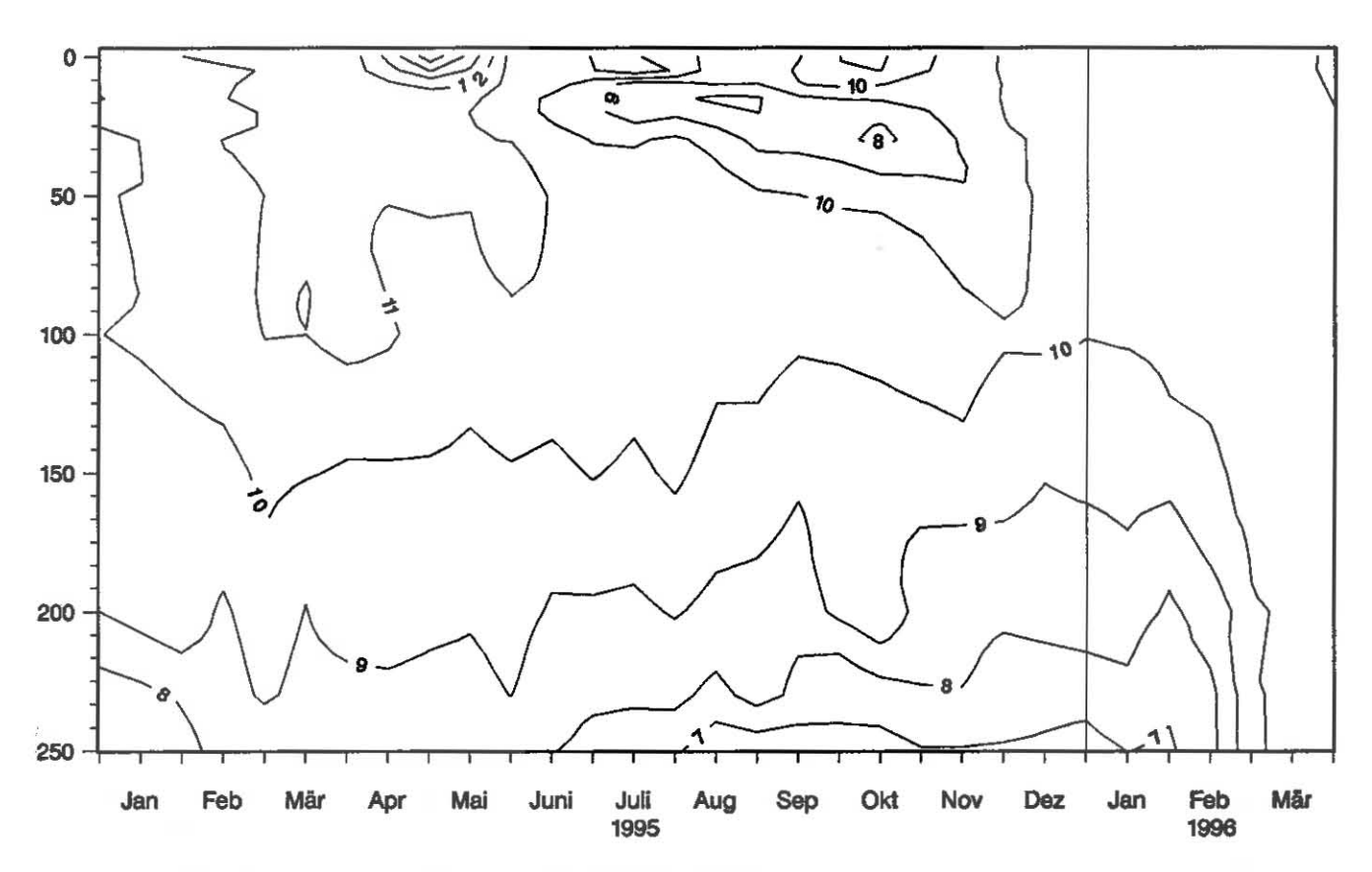


Abb. 10: Bodensee - Obersee, Fischbach-Uttwil: Sauerstoff (mg/l)

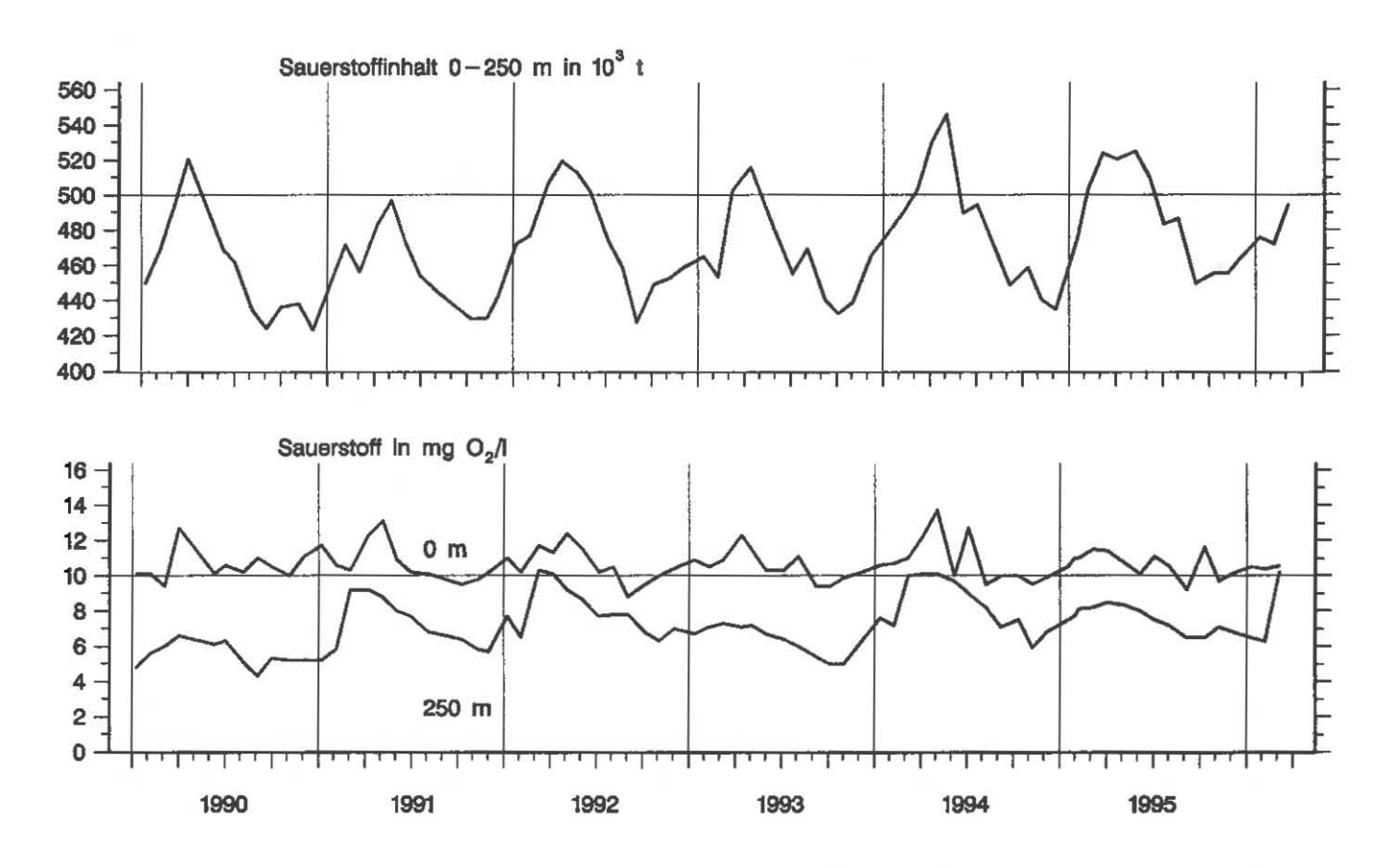


Abb. 11: Bodensee - Obersee:
Sauerstoffinhalt 0-252 m und Sauerstoffkonzentration in 0 und 250 m Tiefe

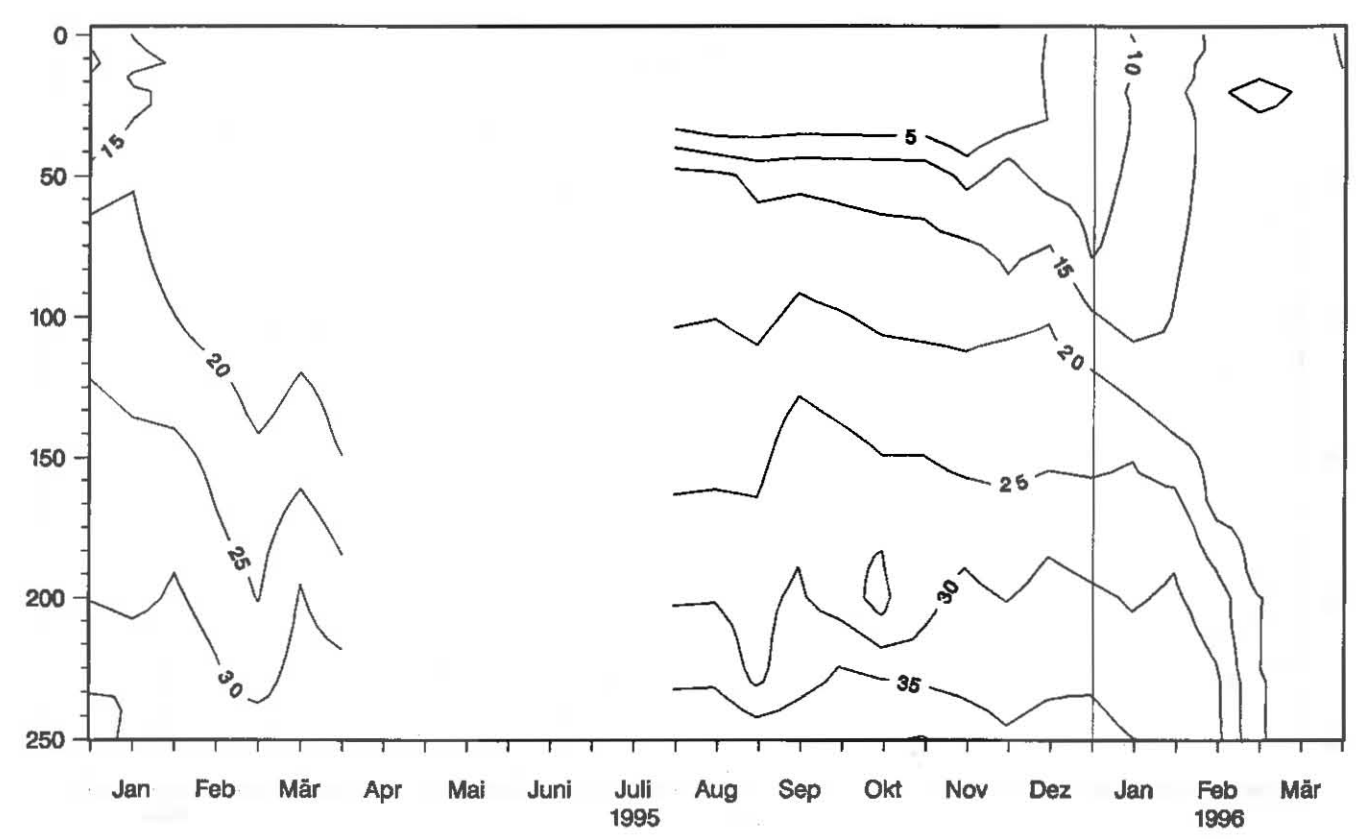


Abb. 12: Bodensee – Obersee, Fischbach – Uttwil: Orthophosphat – Phosphor (mg/m³) *

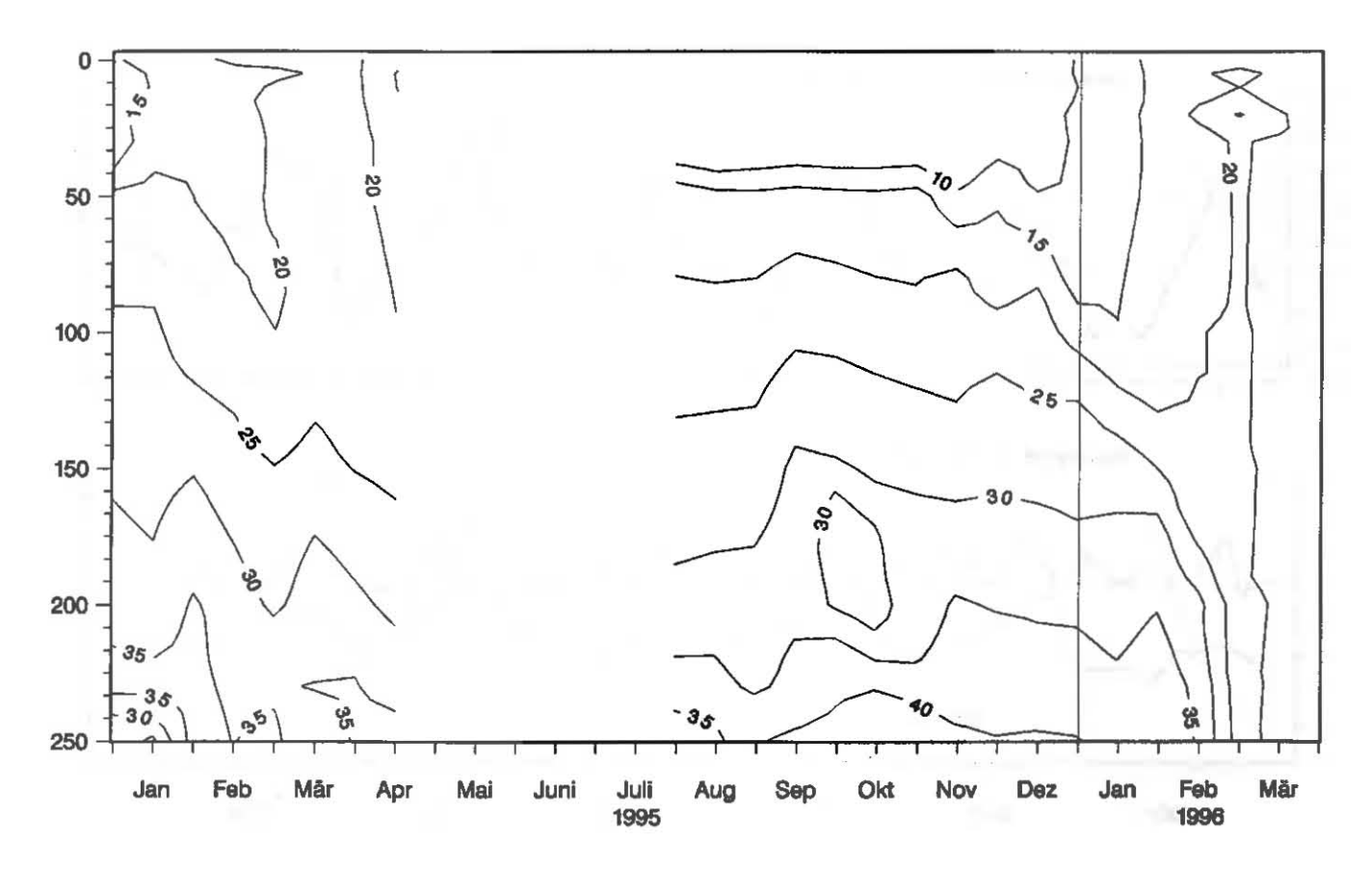


Abb. 13: Bodensee – Obersee, Fischbach – Uttwil:

Gesamt gelöster Phosphor (mg/m³) *

* wegen analytischer Probleme teilweise keine Meßdaten vorhanden

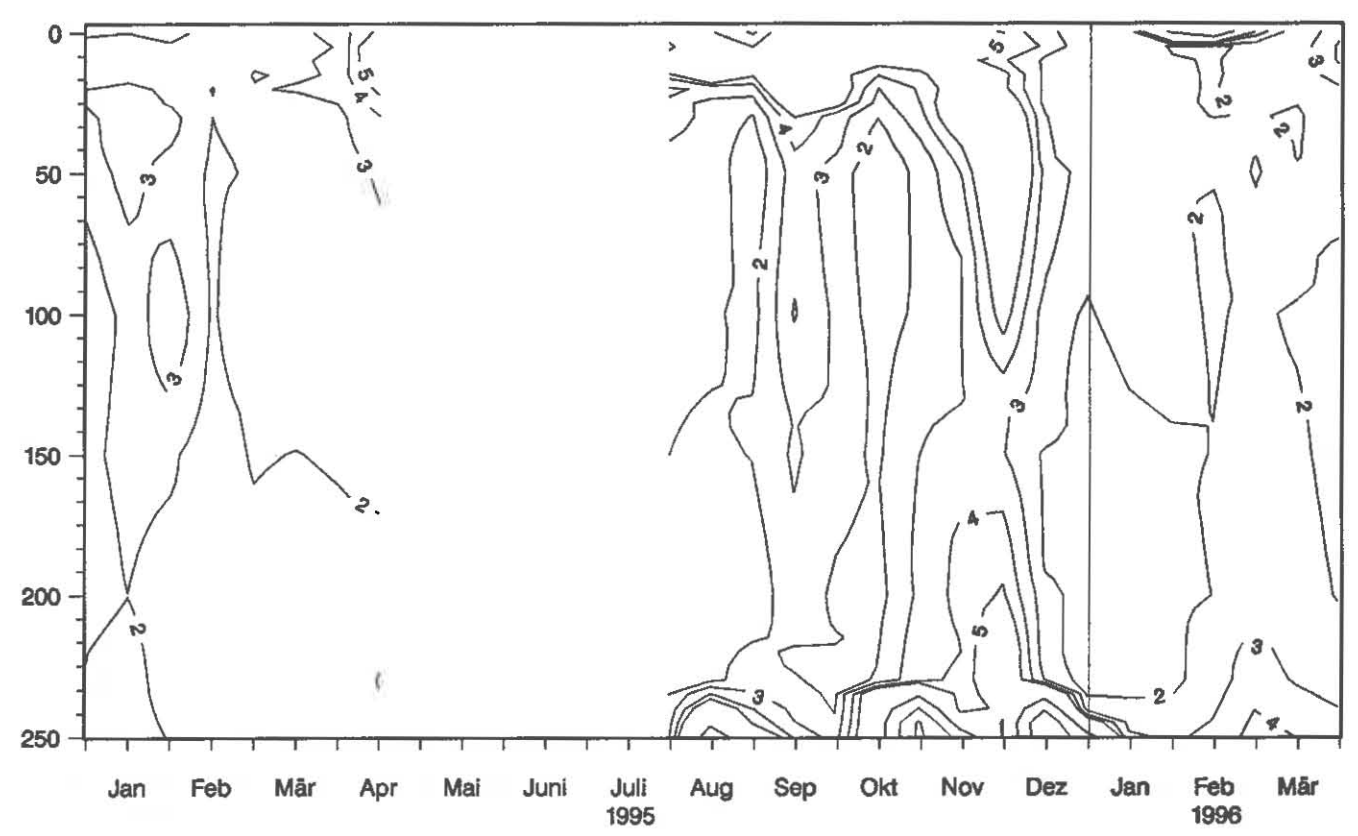


Abb. 14: Bodensee – Obersee, Fischbach – Uttwil: partikulärer Phosphor (mg/m³) *

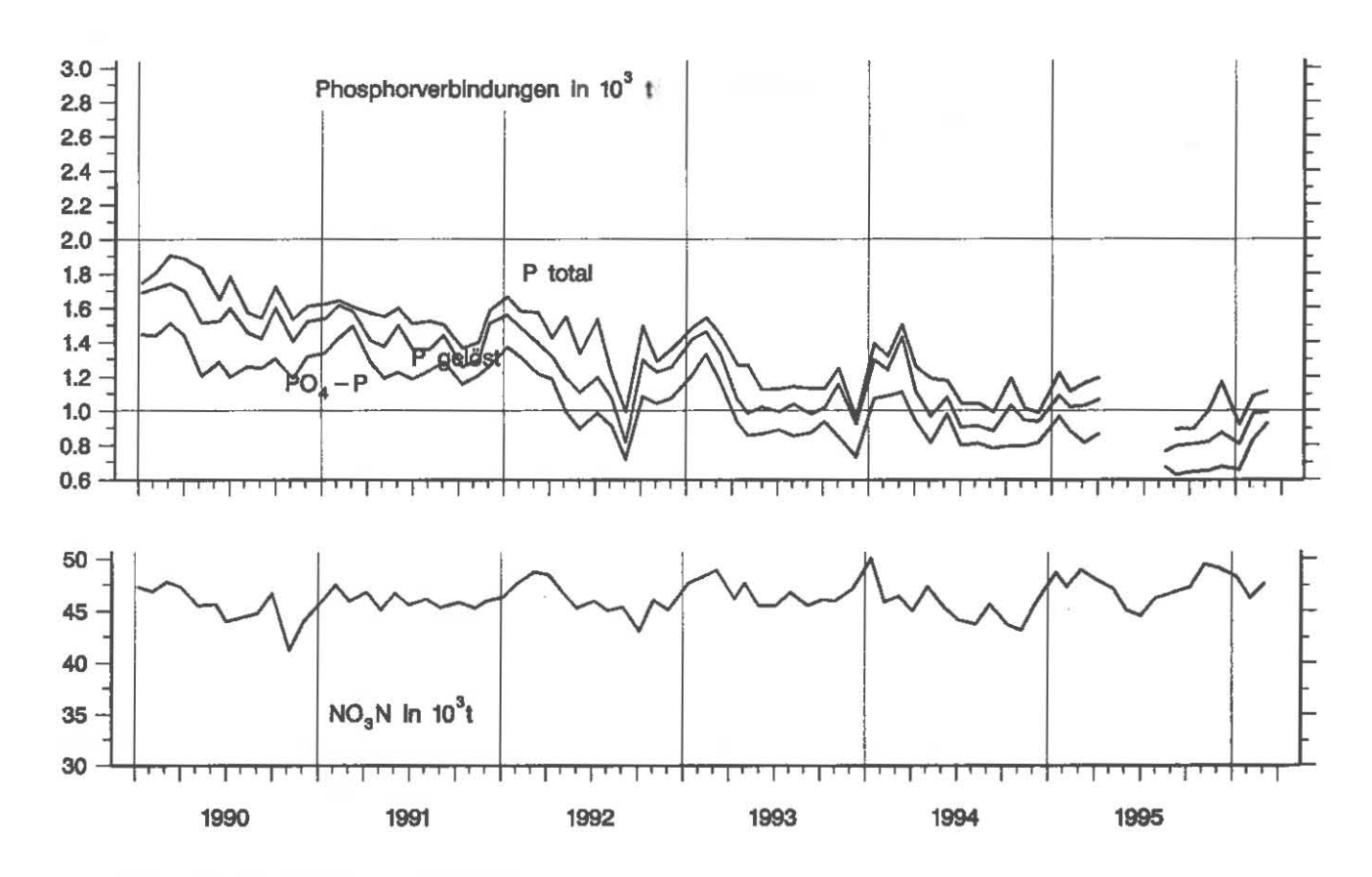


Abb. 15: Bodensee – Obersee:

Nährstoffinhalt (P, NO₃ – N) 0 – 250 m Tiefe *

* wegen analytischer Probleme teilweise keine Meßdaten vorhanden

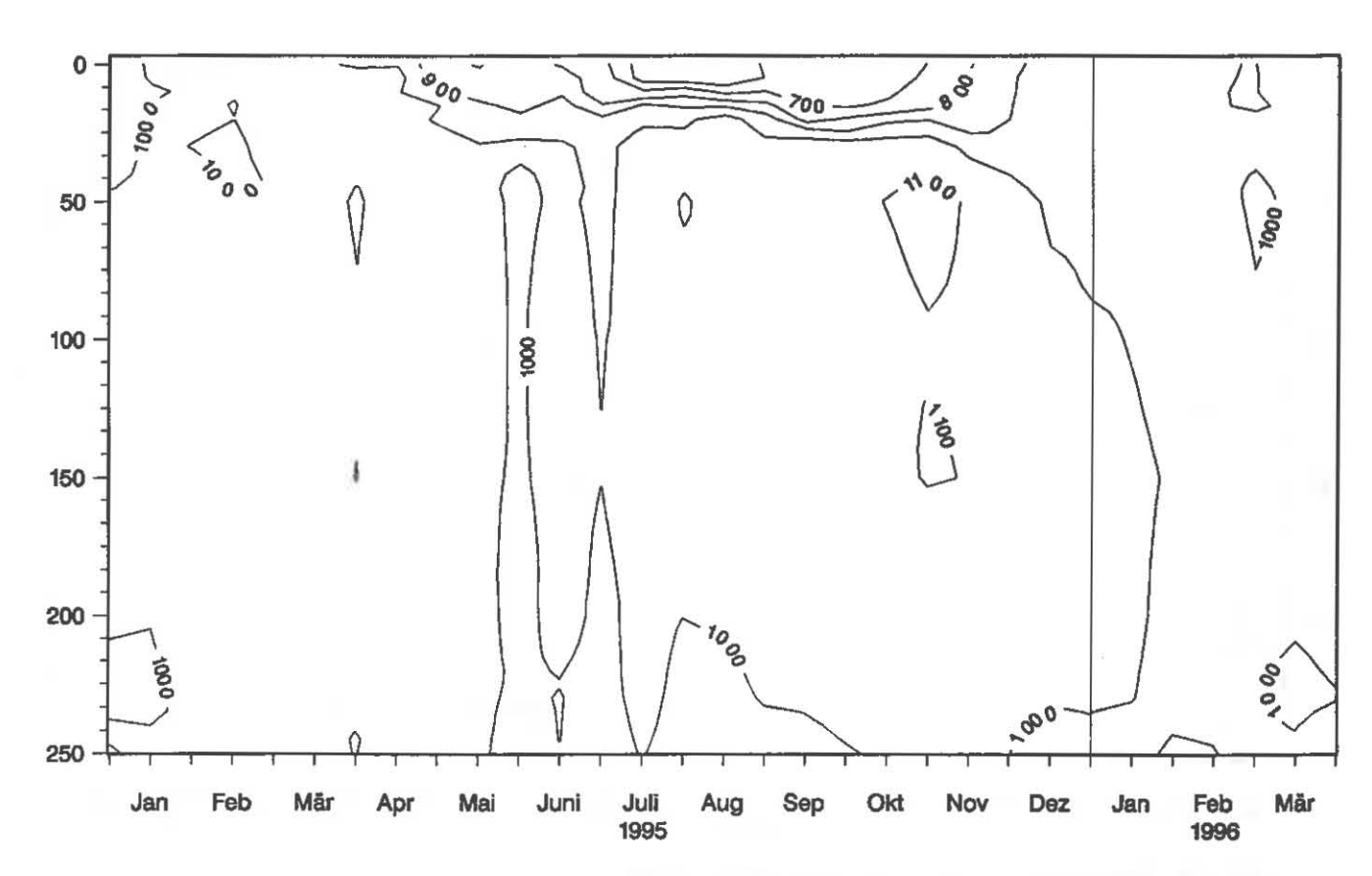


Abb. 16: Bodensee - Obersee, Fischbach-Uttwil: Nitrat - Stickstoff (mg/m³)

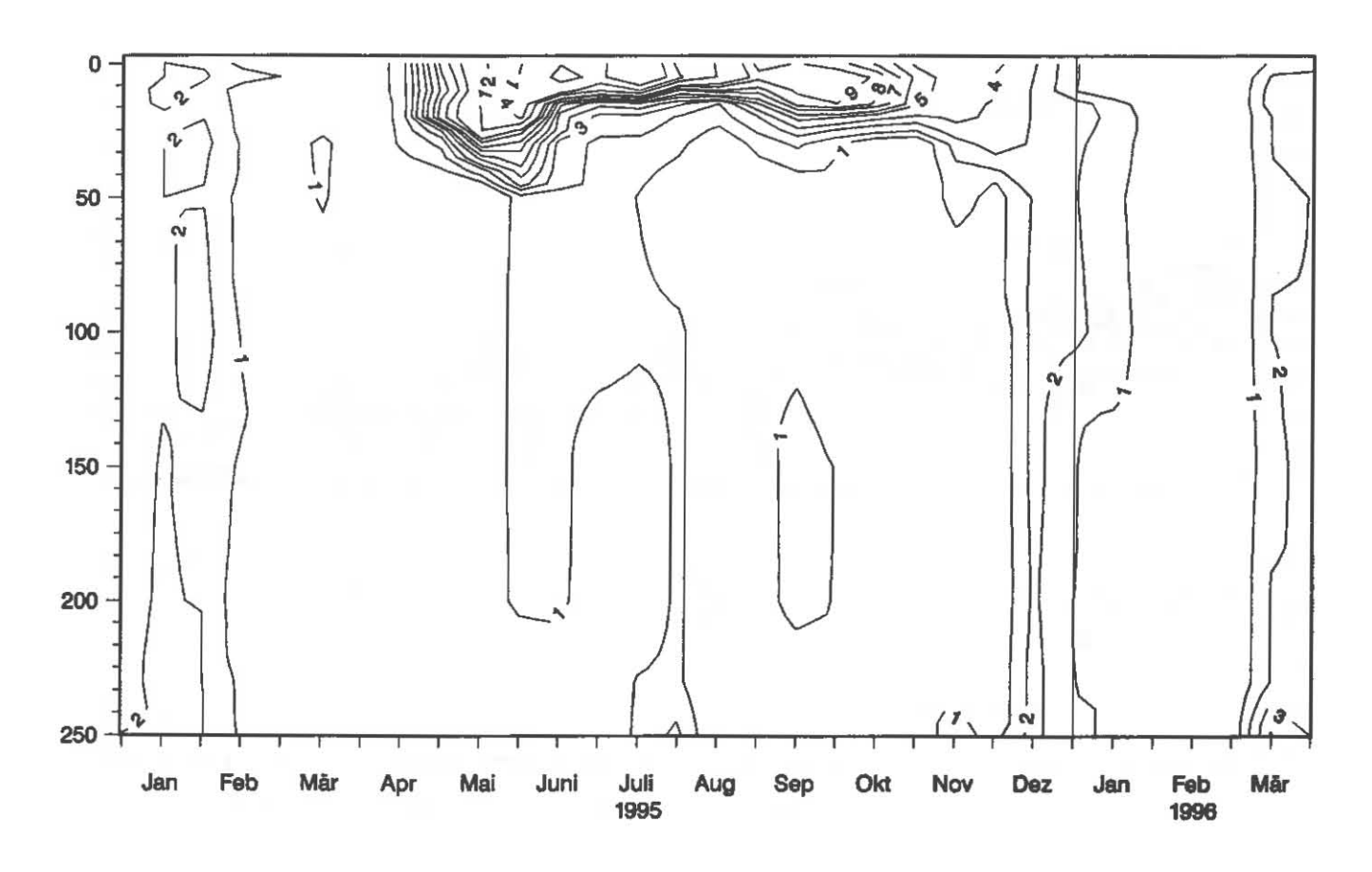


Abb. 17: Bodensee - Obersee, Fischbach-Uttwil: Nitrit - Stickstoff (mg/m³)

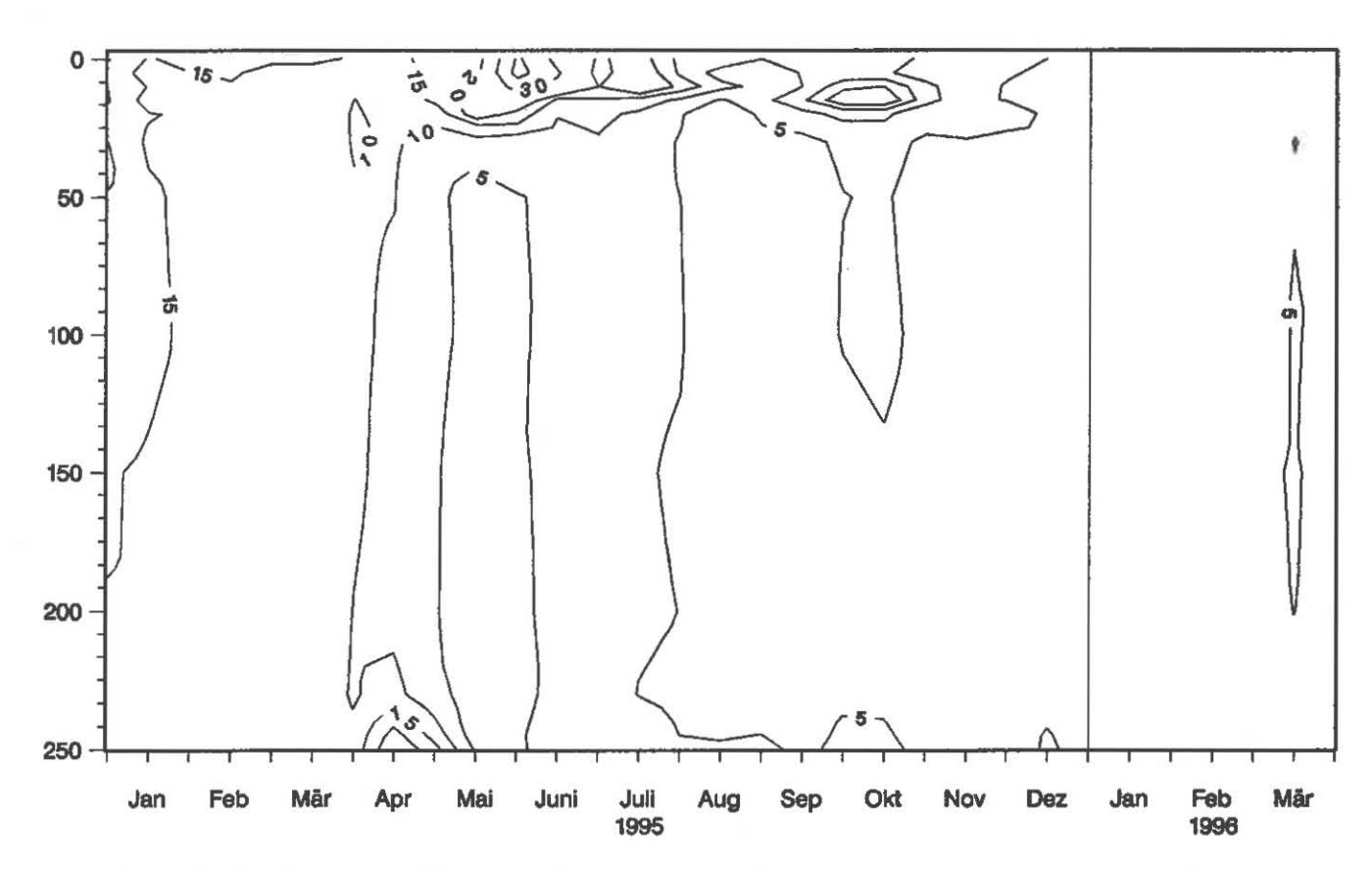


Abb. 18: Bodensee - Obersee, Fischbach-Uttwil: Ammonium - Stickstoff (mg/m³)

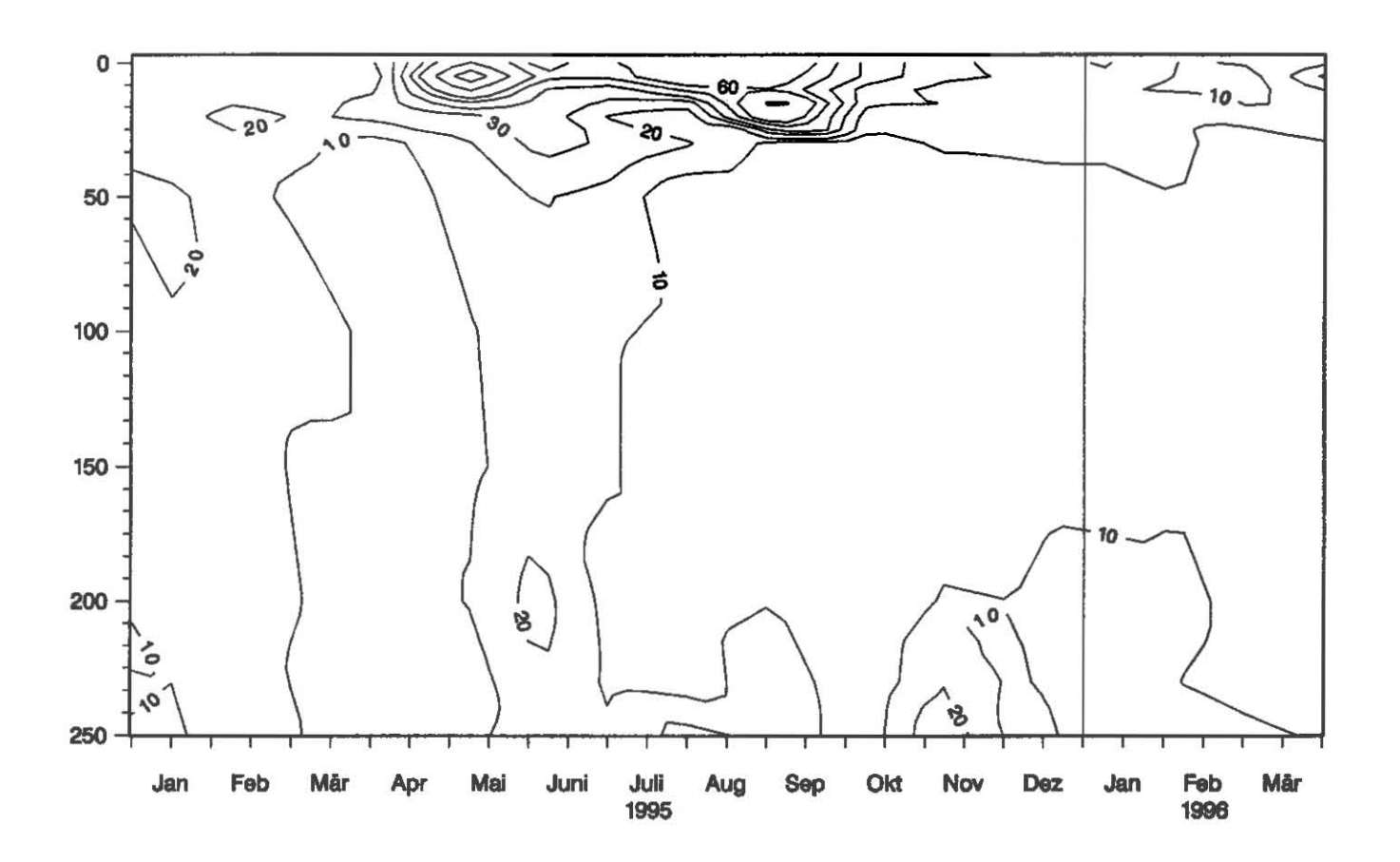


Abb. 19: Bodensee – Obersee, Fischbach – Uttwil: Partikulärer Stickstoff (mg/m³)

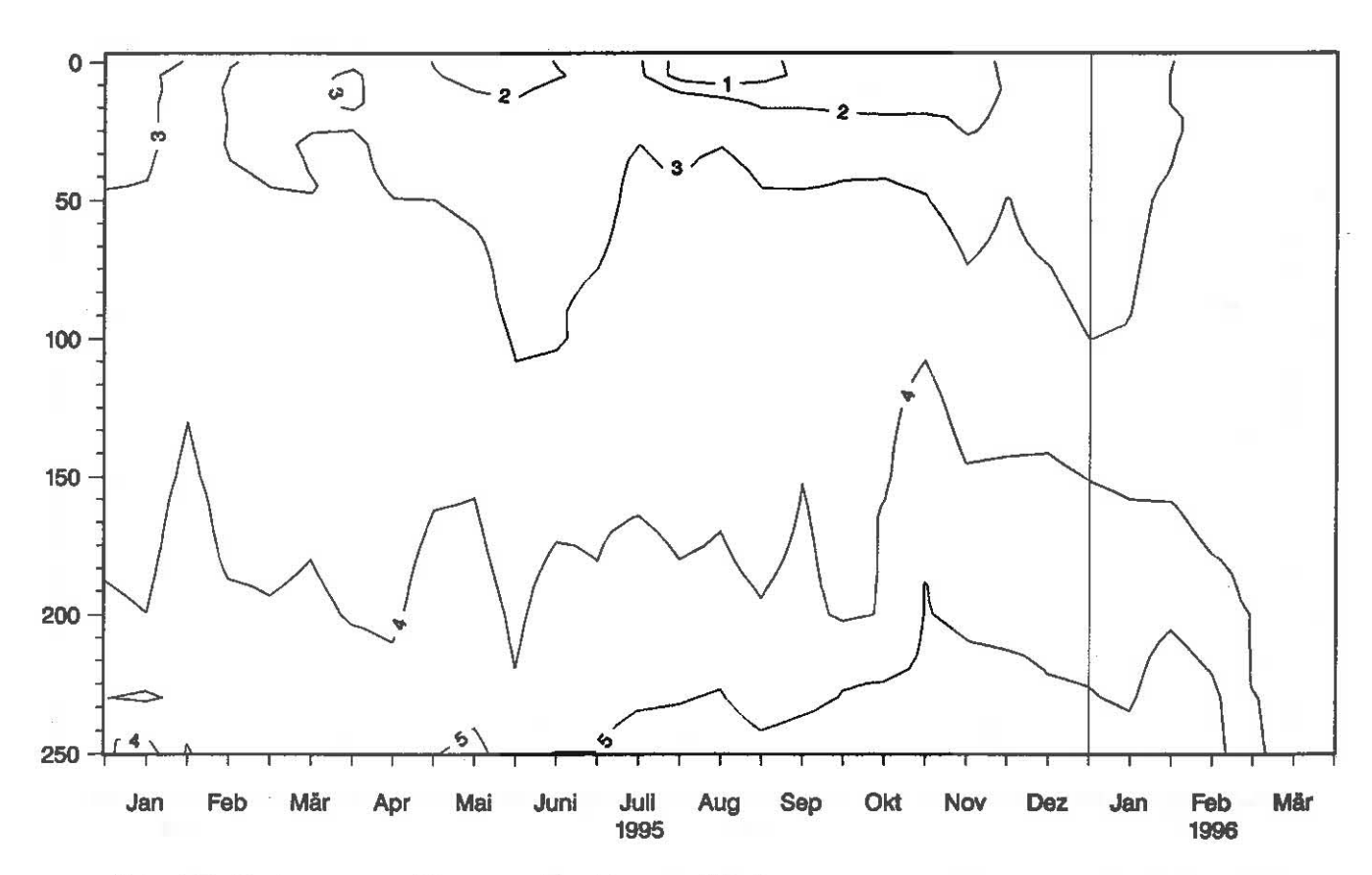


Abb. 20: Bodensee - Obersee, Fischbach - Uttwil: Silikat (mg/l)

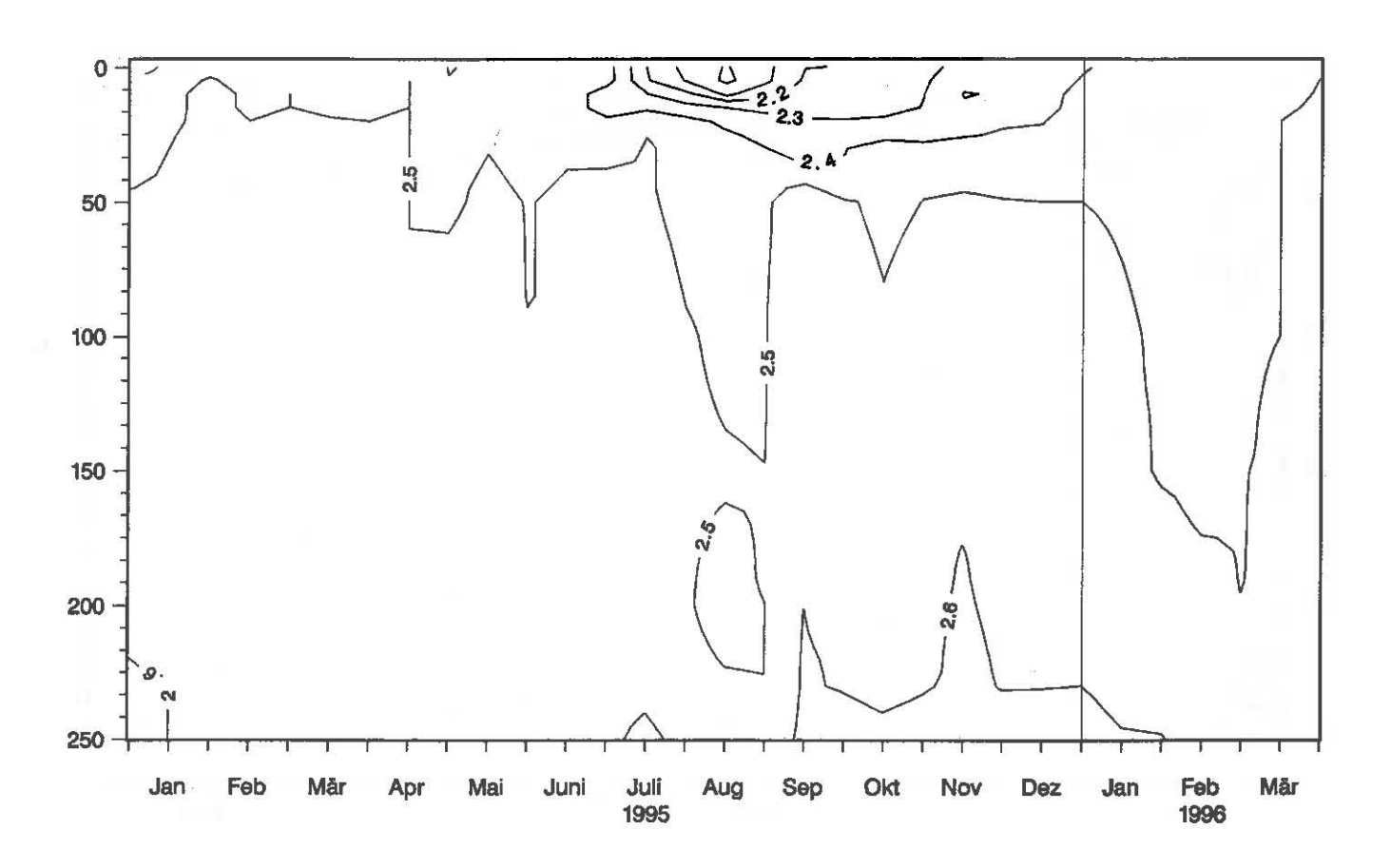


Abb. 21: Bodensee - Obersee, Fischbach-Uttwil: Anorganischer Kohlenstoff (mmol/l)

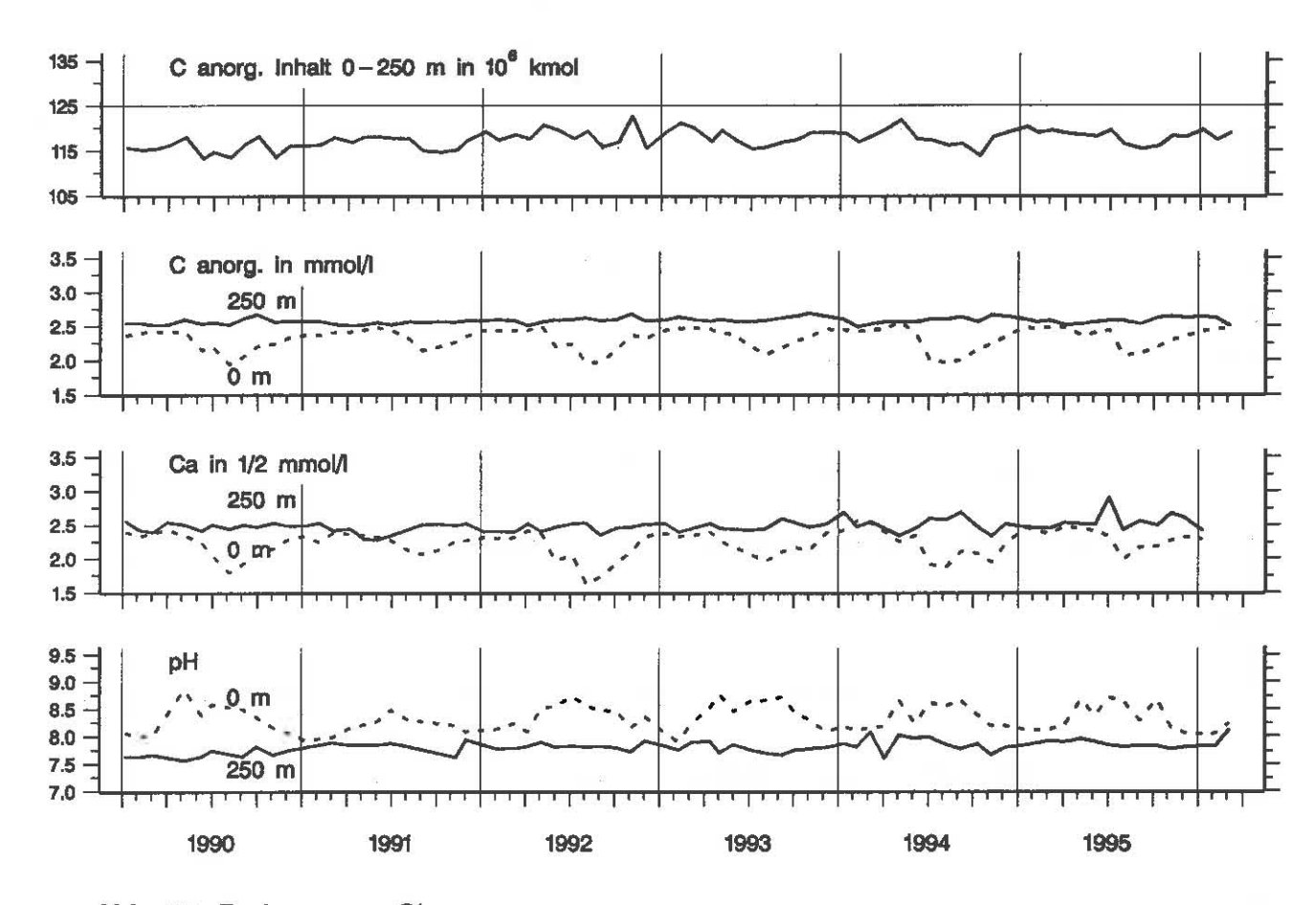


Abb. 22: Bodensee - Obersee:

Anorganischer Kohlenstoff, Inhalt 0-252 m Tiefe
Konzentration von anorg. Kohlenstoff, Calcium; pH-Wert

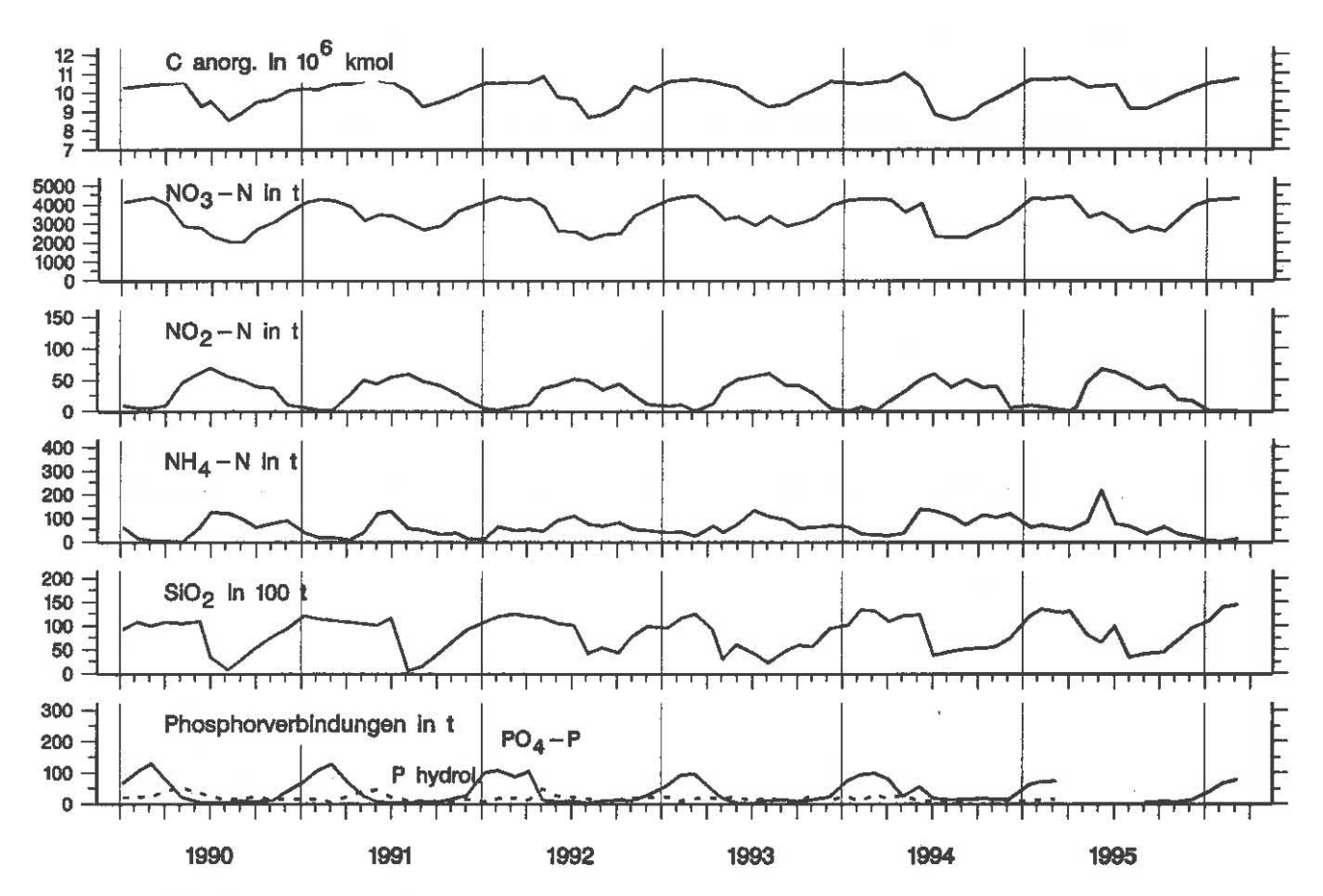


Abb. 23: Bodensee – Obersee:
Nährstoffinhalt (Phosphor, Stickstoff, Silikat,
anorg. Kohlenstoff) im Epilimnion 0-10 m Tiefe

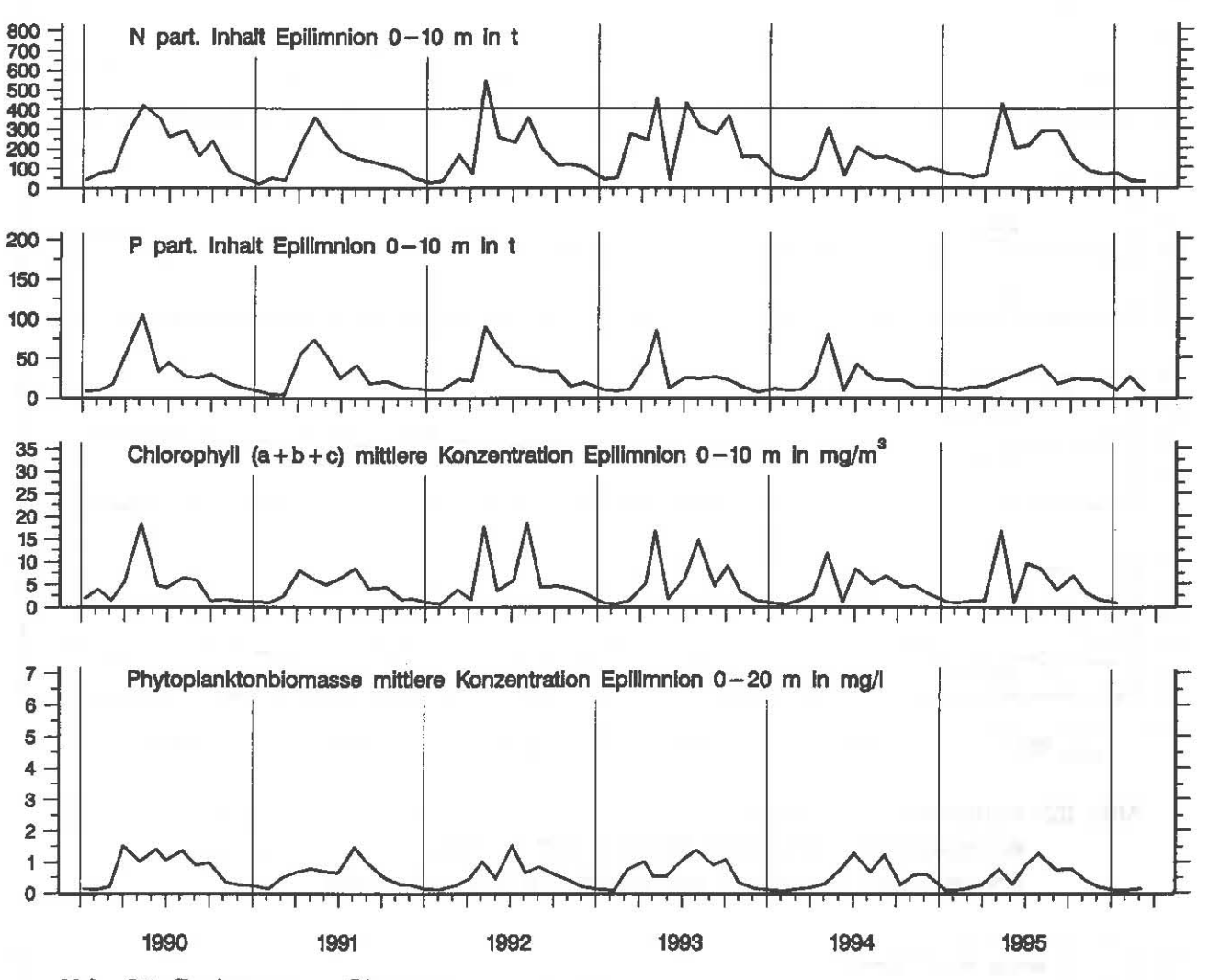


Abb. 24: Bodensee - Obersee: Chemische Biomasseindikatoren und Phytoplanktonbiomasse

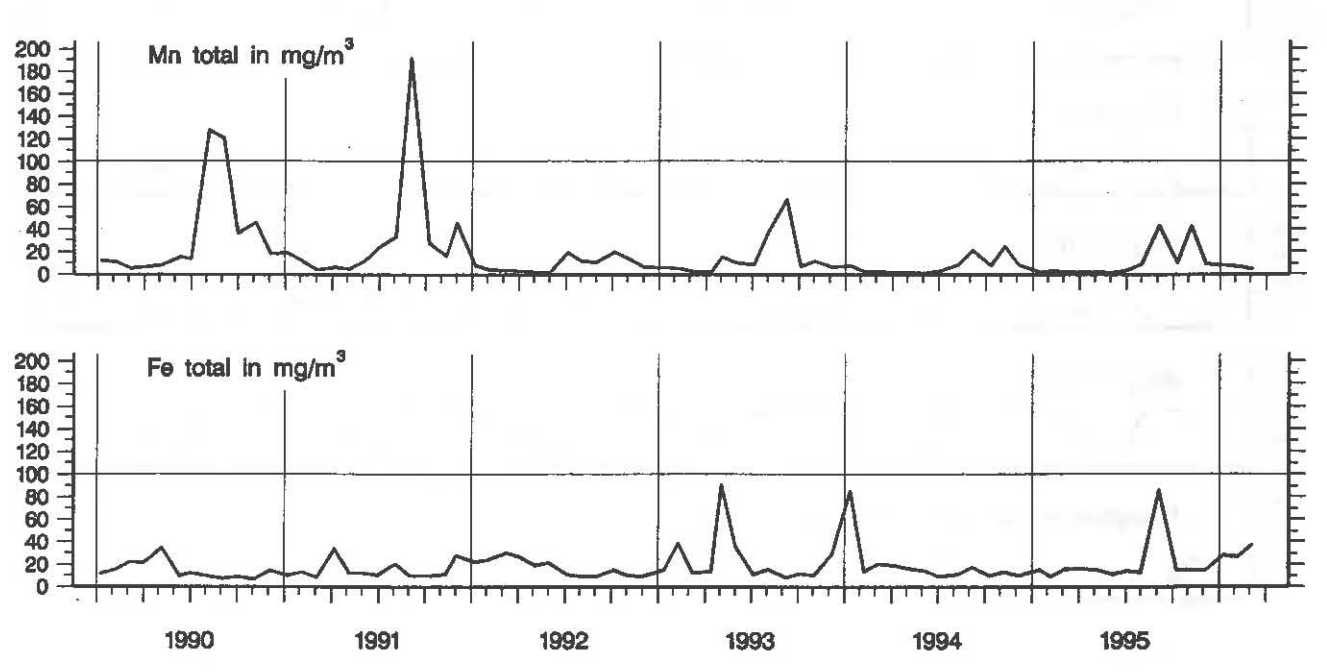


Abb. 25: Bodensee - Obersee, Fischbach-Uttwil:
Konzentration von Eisen total und Mangan total in 250 m Tiefe

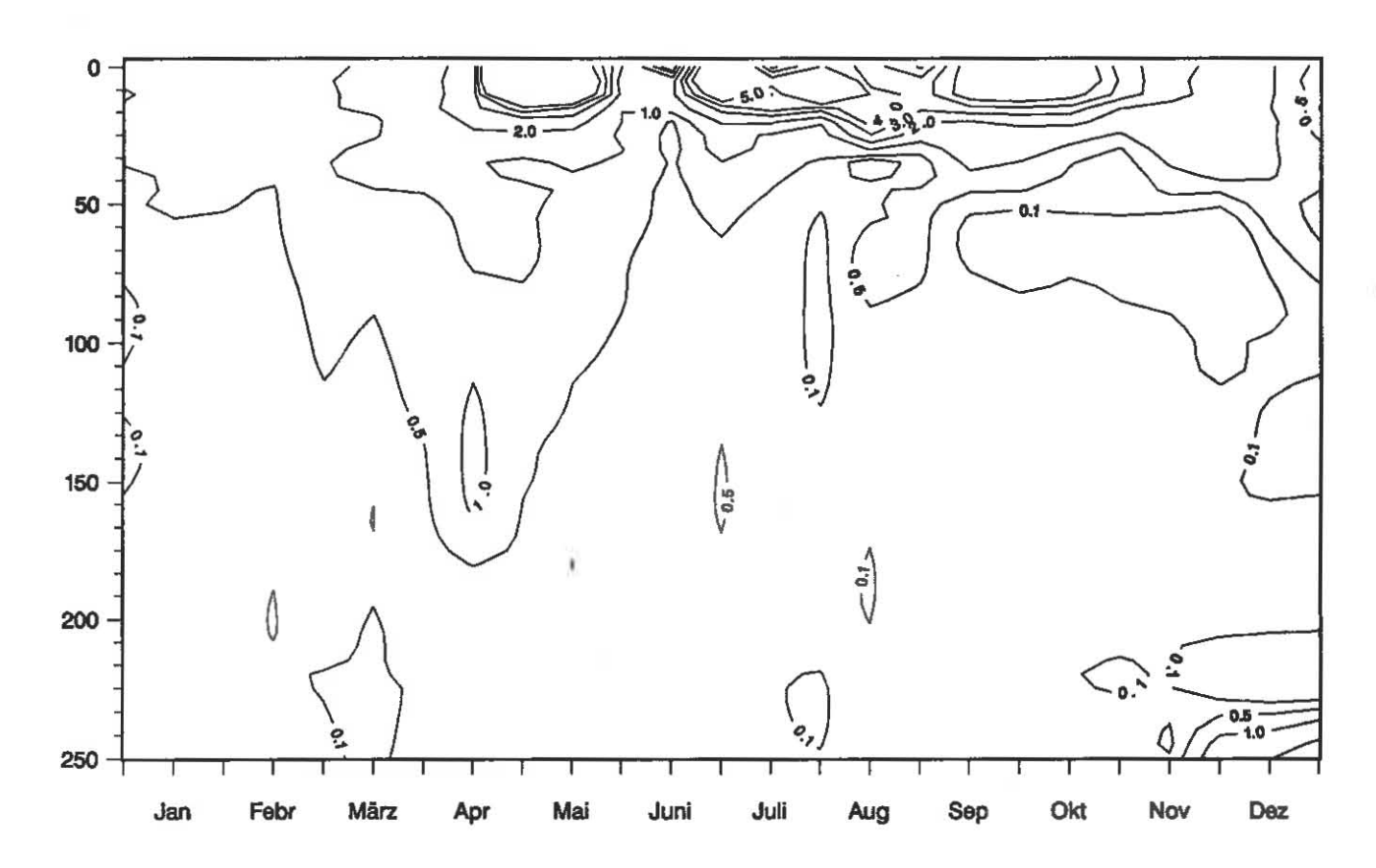


Abb. 26: Bodensee - Obersee, Fischbach-Uttwil: Chlorophyll a (mg/m³)

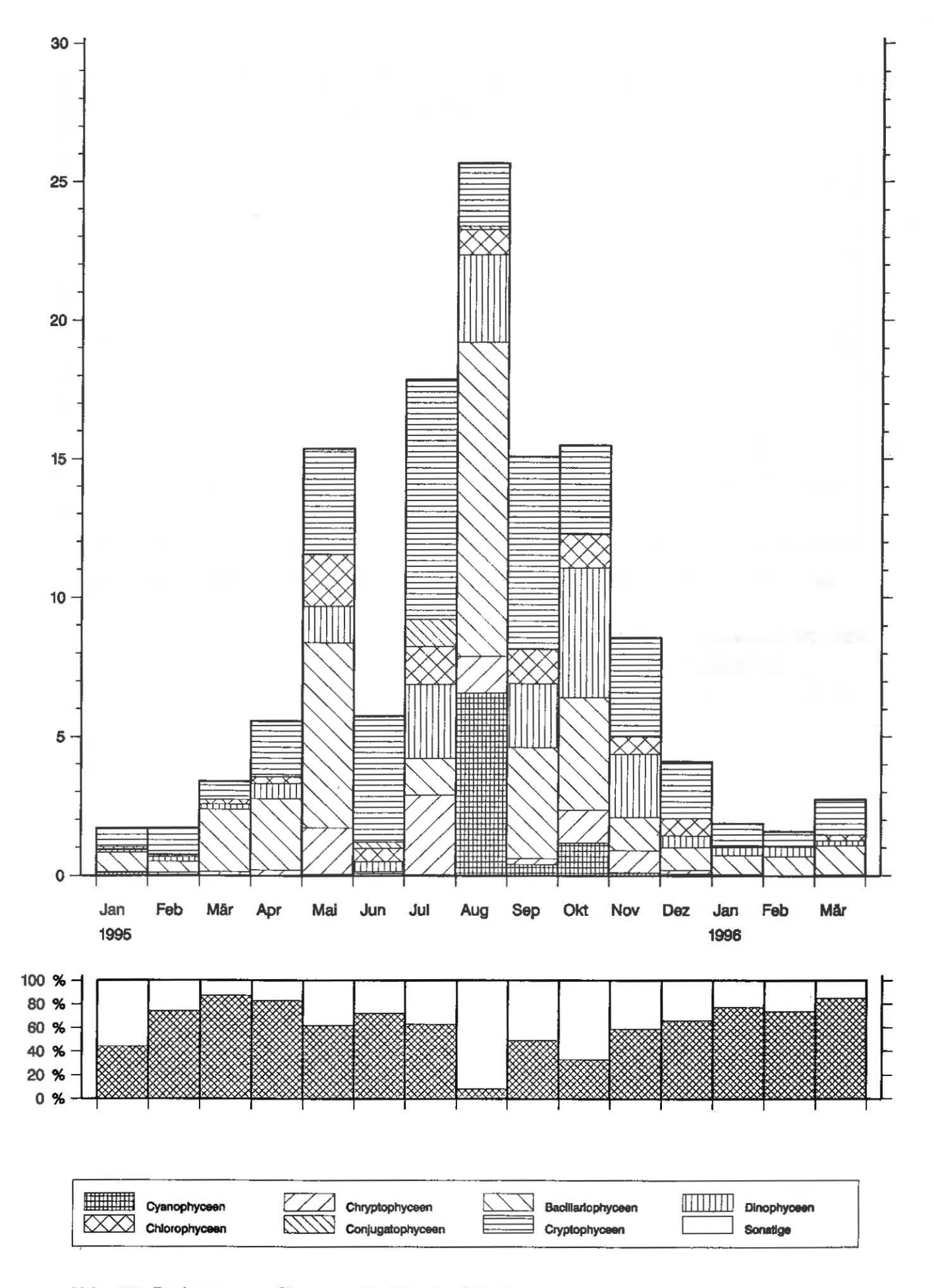


Abb. 27: Bodensee – Obersee, Fischbach – Uttwil: Entwicklung des Phytoplanktons Biomasse in g/m² (0 – 20m Tiefe), Monatsmittel 1995/96

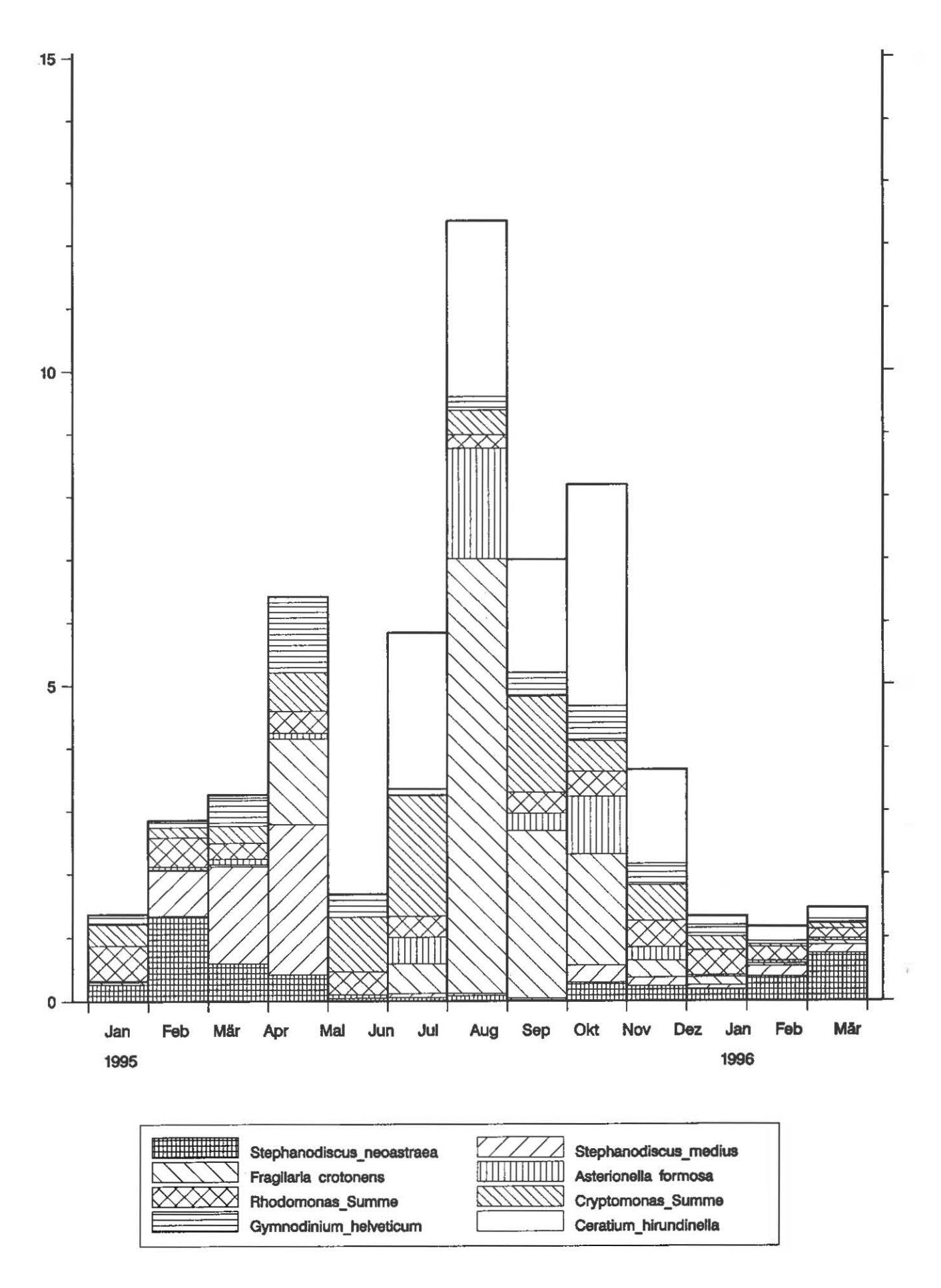


Abb. 28: Bodensee - Obersee, Fischbach-Uttwil:

Entwicklung des Phytoplanktons

Biomasse der Hauptarten in g/m² (0-20m Tiefe), Monatsmittel 1995/96

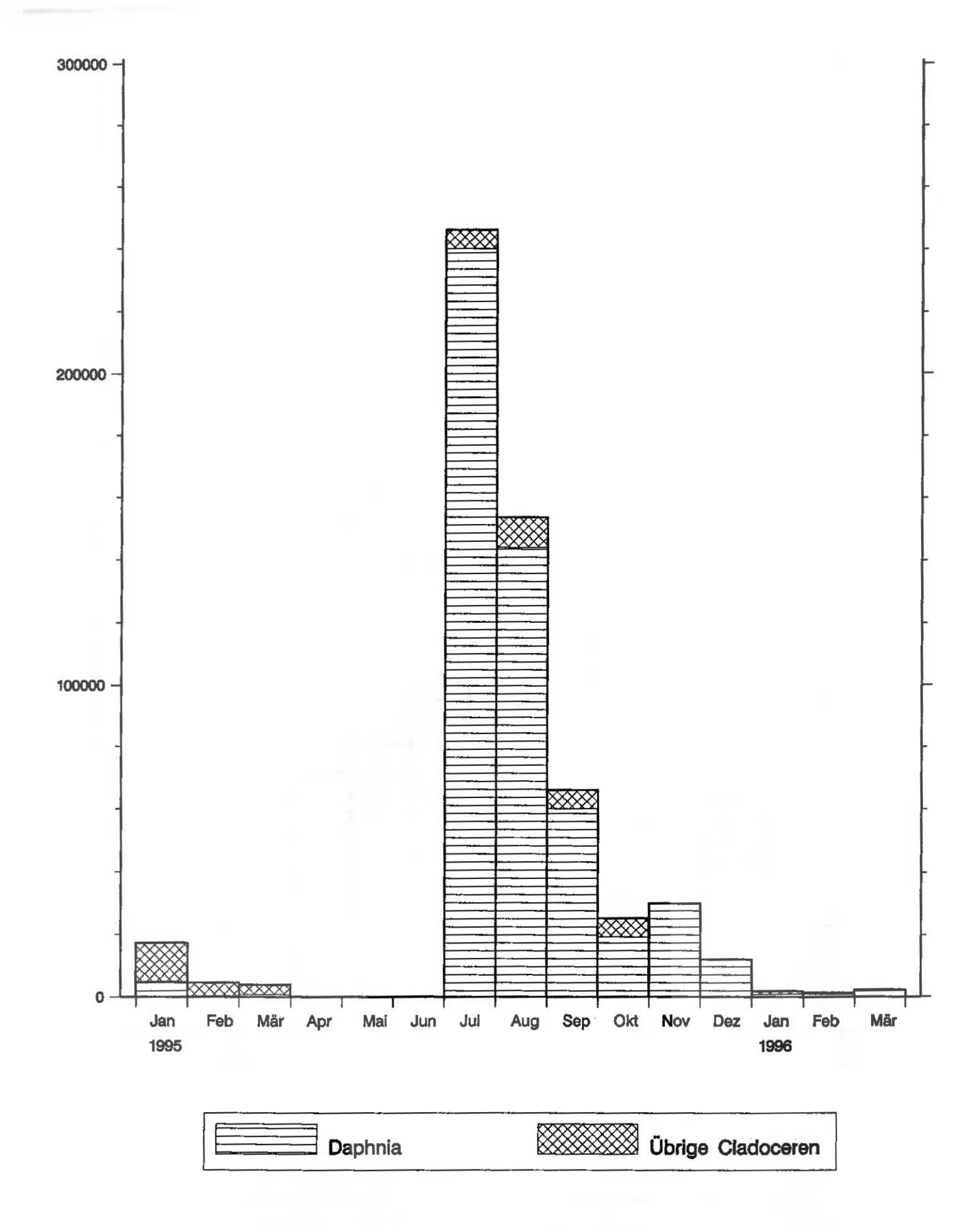


Abb. 29: Bodensee – Obersee, Fischbach – Uttwil: Entwicklung der Cladoceren Tiere/m², Monatsmittel 1995/96 * * Werte für April – Juni fehlen

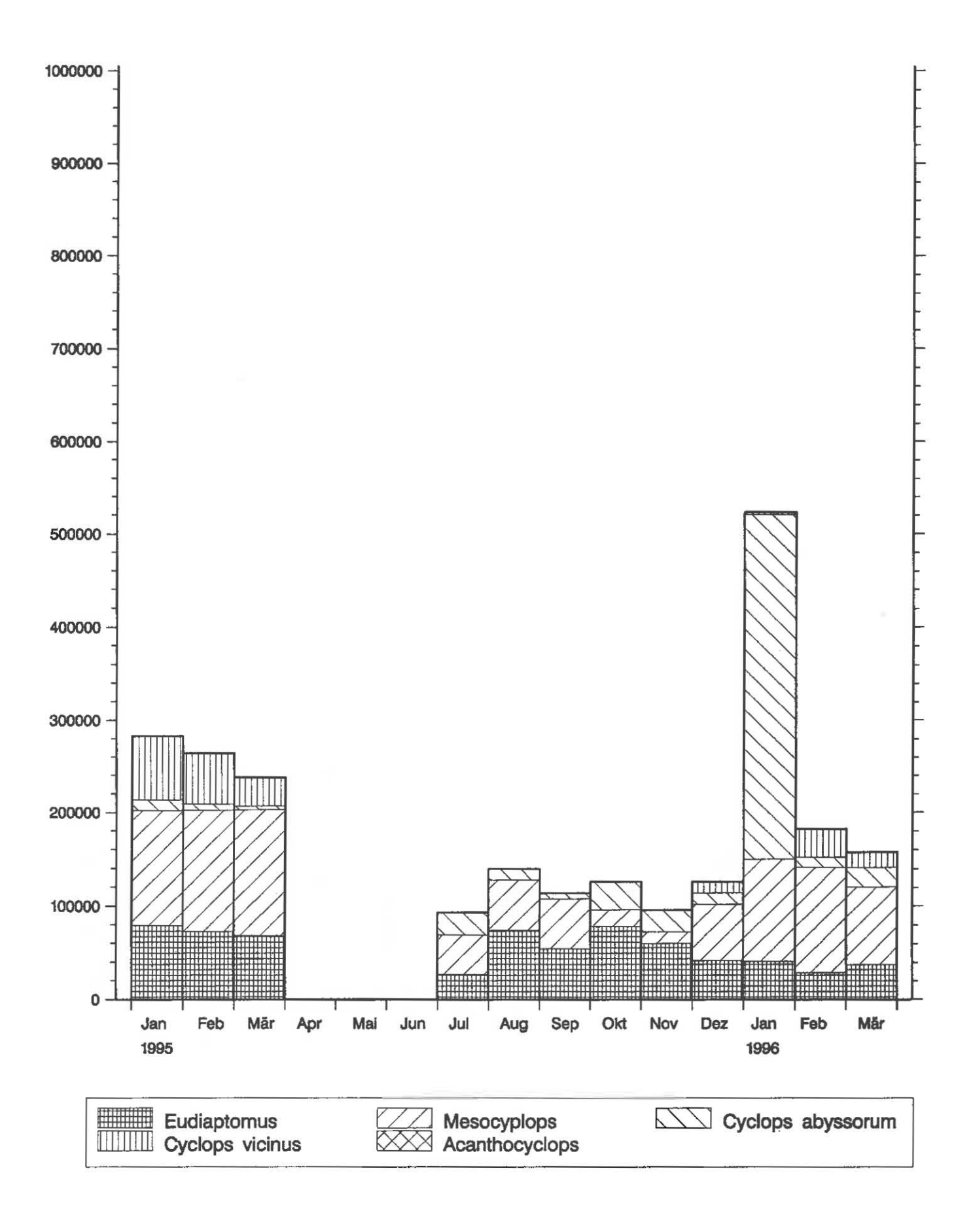


Abb. 30: Bodensee – Obersee, Fischbach – Uttwil: Entwicklung der Copepoden, adulte Tiere und Copepodite, Tiere/m², Monatsmittel 1995/96 *

^{*} Werte für April - Juni fehlen

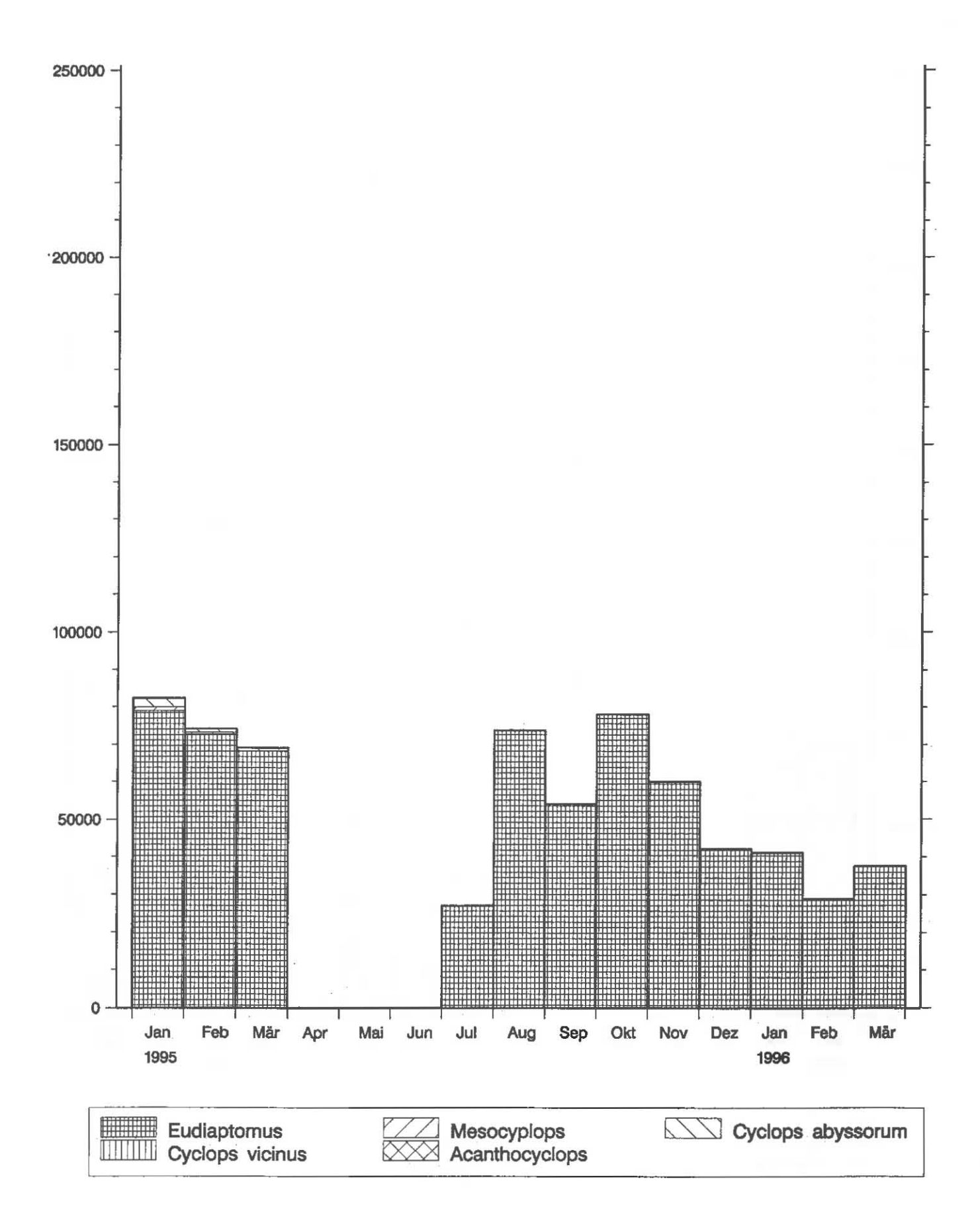


Abb. 31: Bodensee – Obersee, Fischbach – Uttwil:
 Entwicklung der herbivor lebenden Crustaceen,
 Tiere/m², Monatsmittel 1995/96 *

 * Werte für April – Juni fehlen

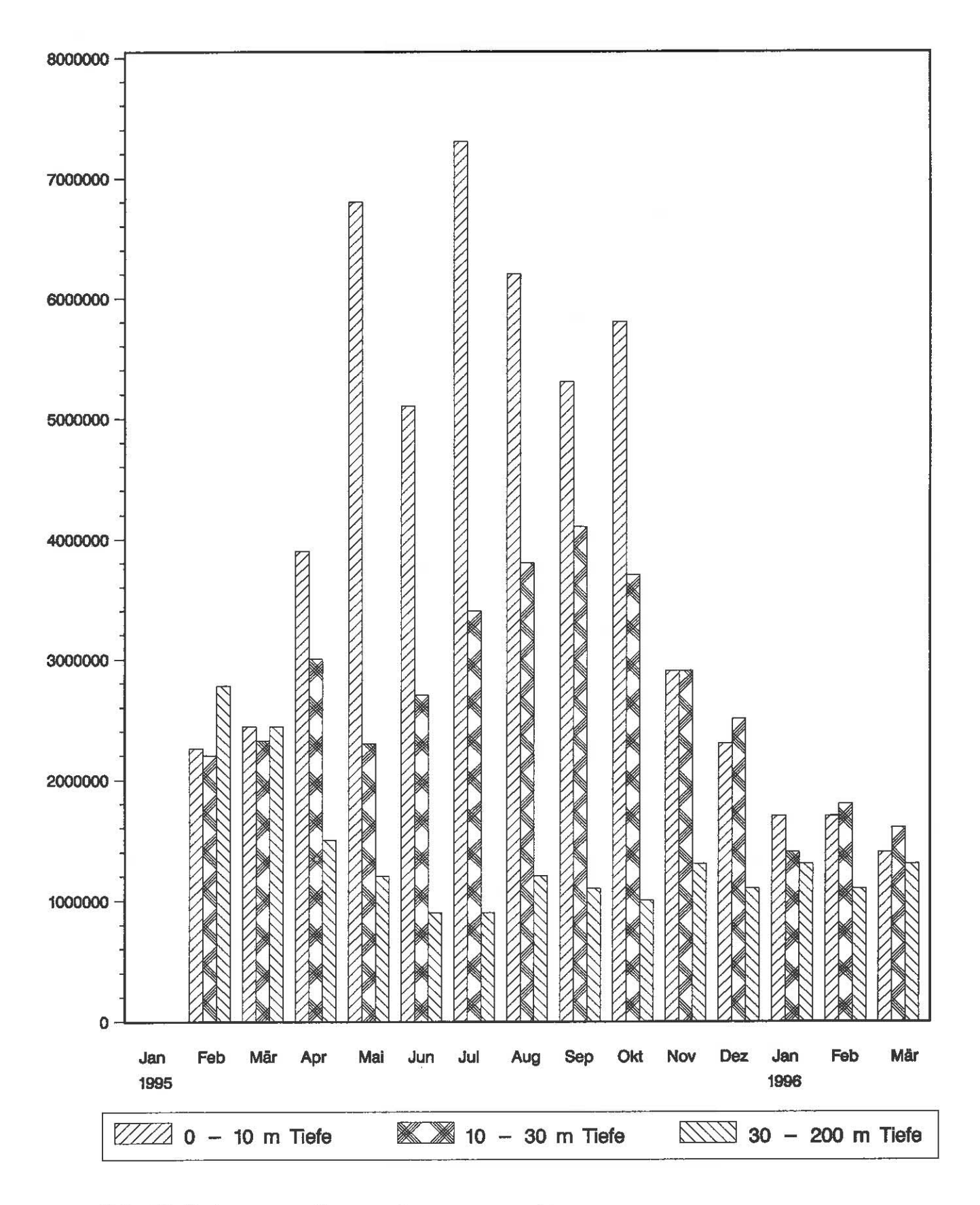


Abb. 32: Bodensee – Obersee, Langenargen – Arbon:
Entwicklung des Bakterienplanktons,
Gesamtkeimzahlen (Millionen Zellen/ml), Monatsmittel 1995/96

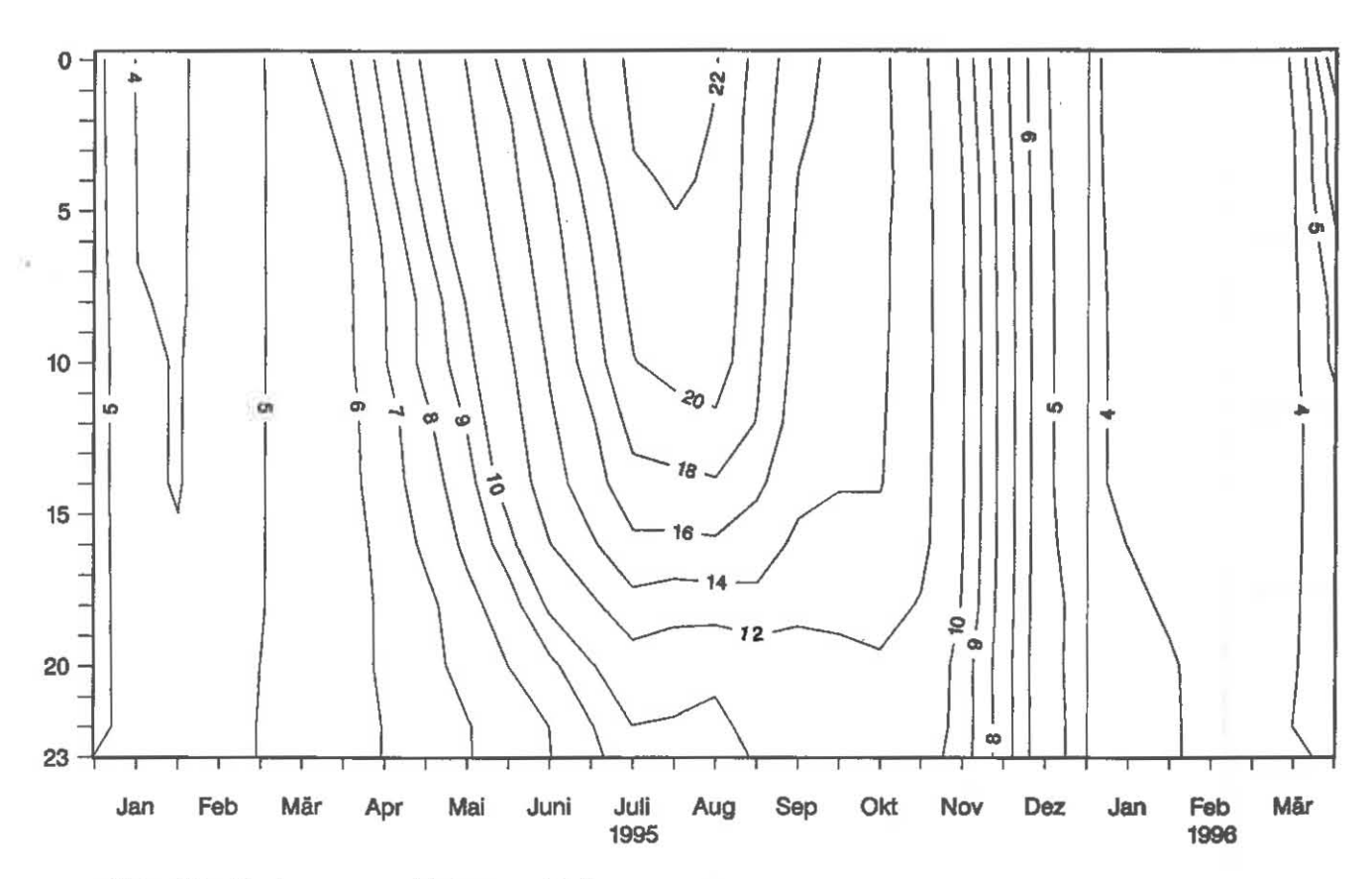


Abb. 33: Bodensee - Untersee, Zellersee: Temperatur °C

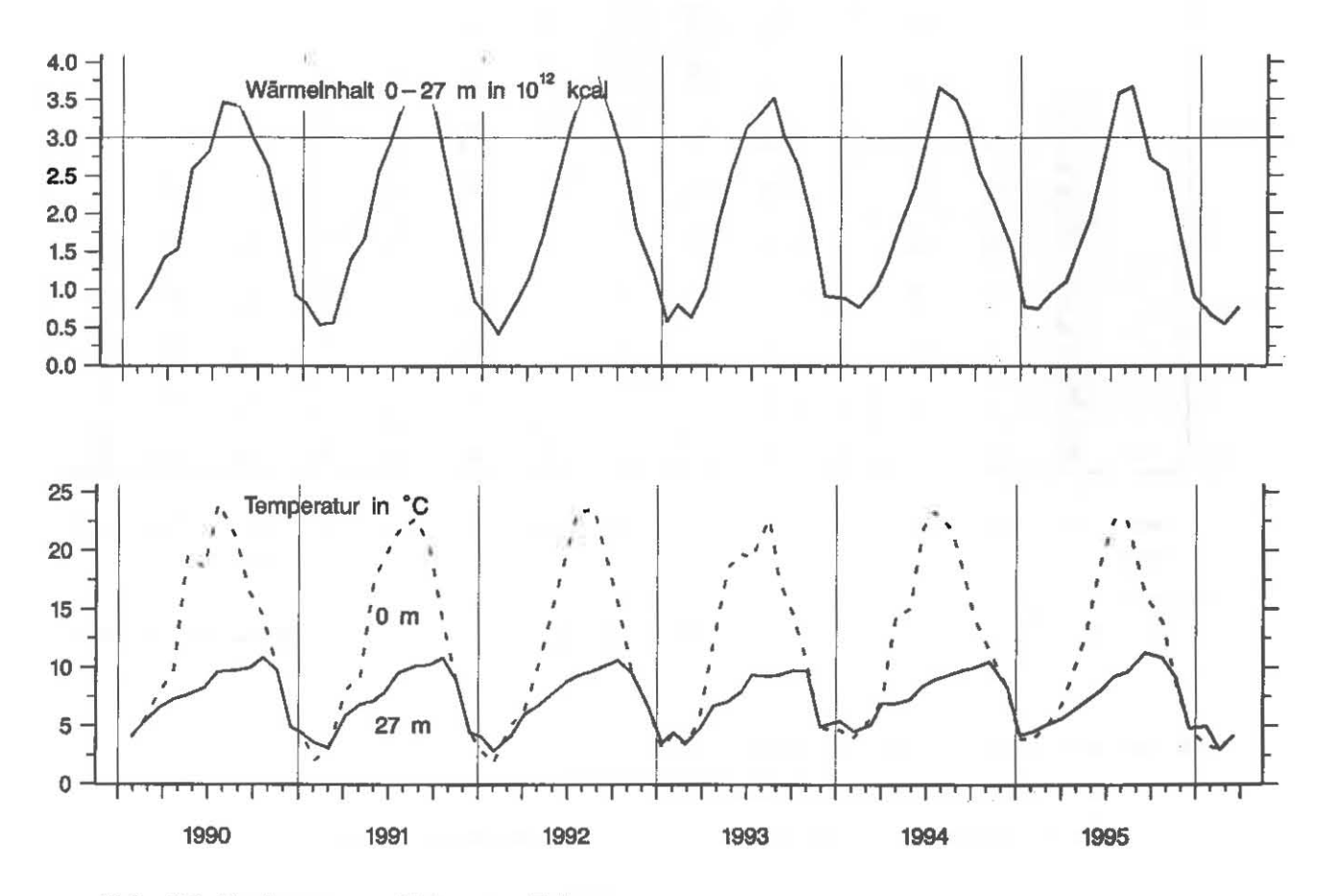


Abb. 34: Bodensee - Untersee, Zellersee: Thermik

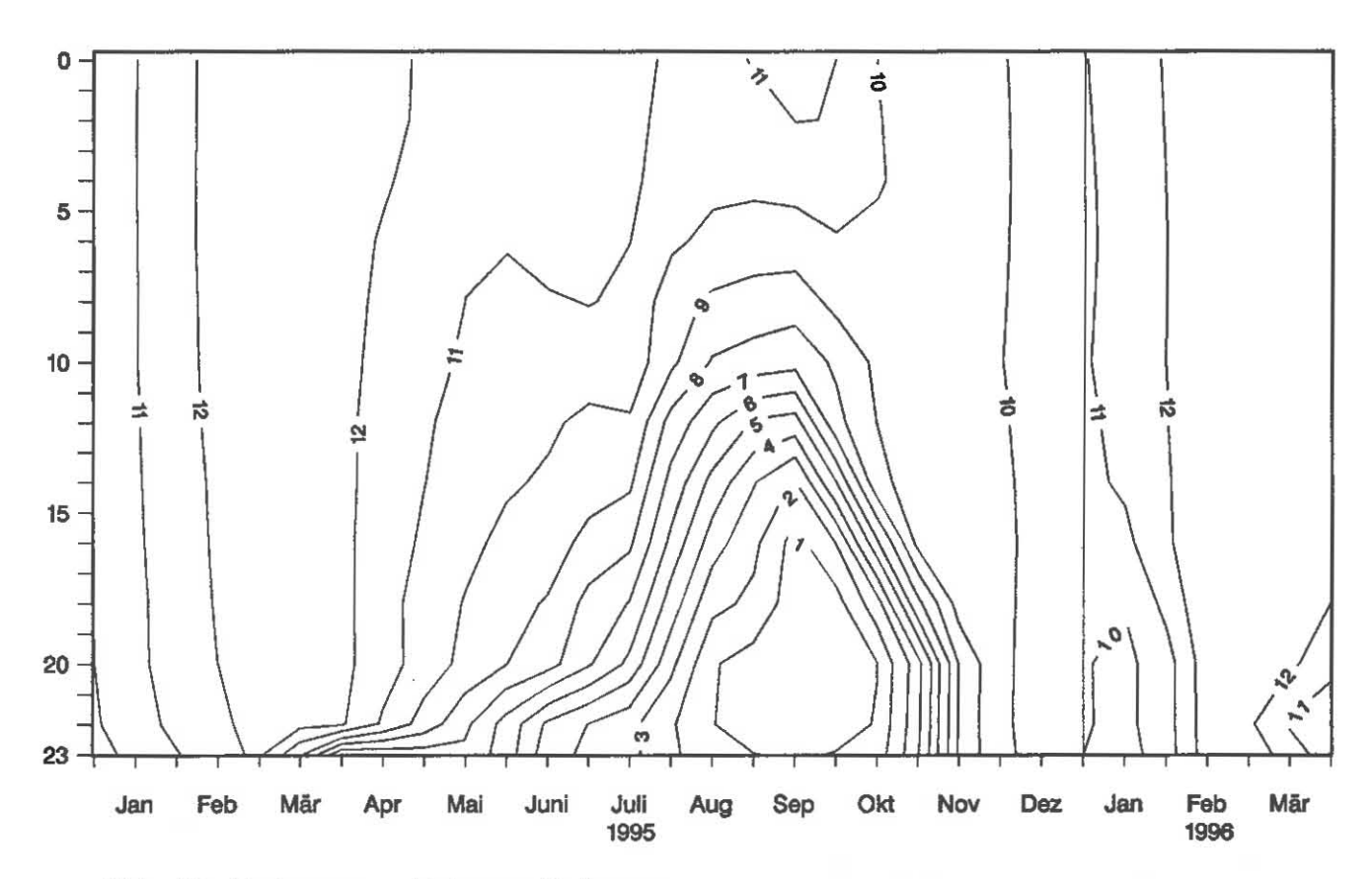


Abb. 35: Bodensee - Untersee, Zellersee: Sauerstoff (mg/l)

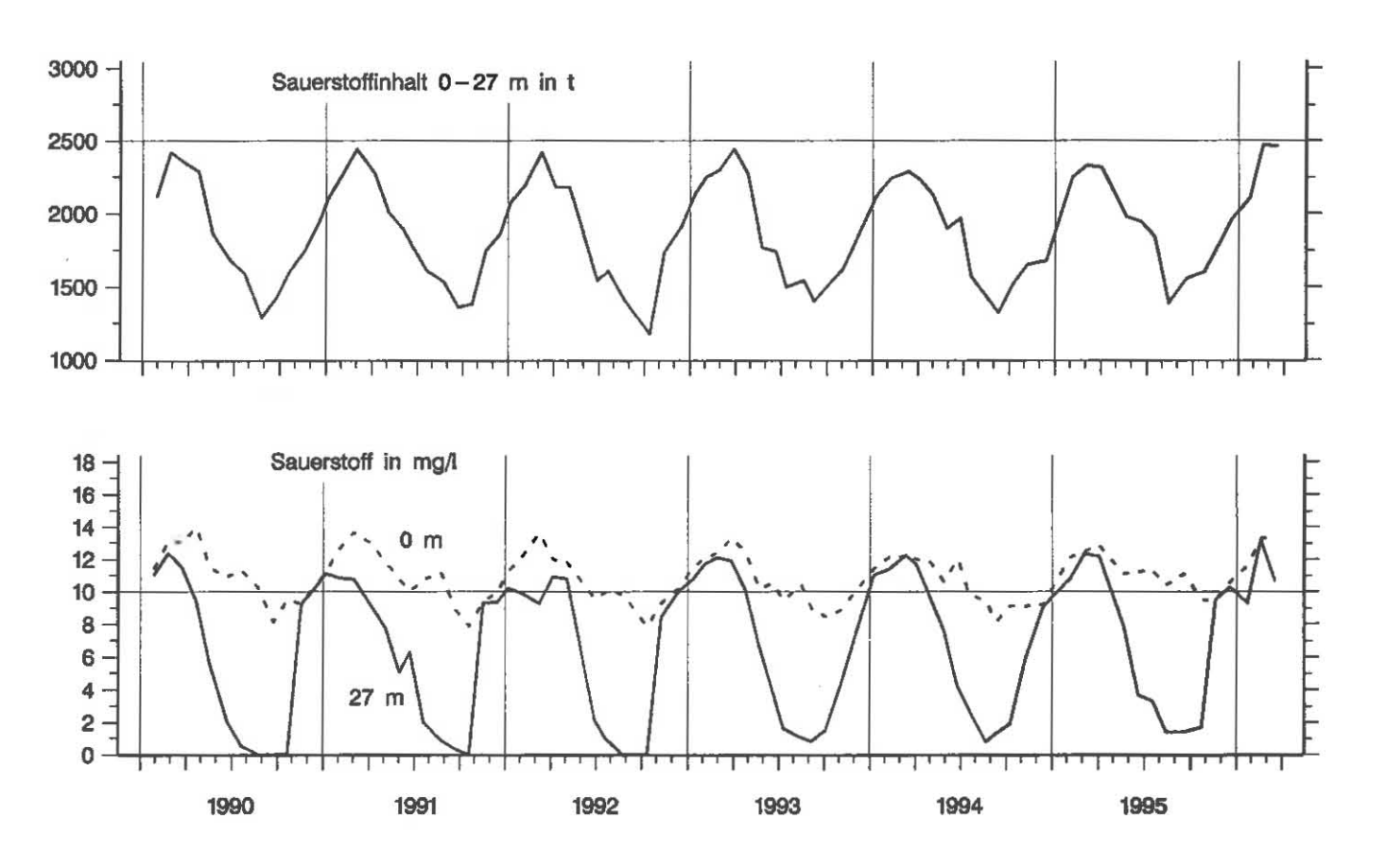


Abb. 36: Bodensee - Untersee, Zellersee:
Sauerstoffinhalt 0-27 m und Sauerstoffkonzentration in 0 und 27 m Tiefe

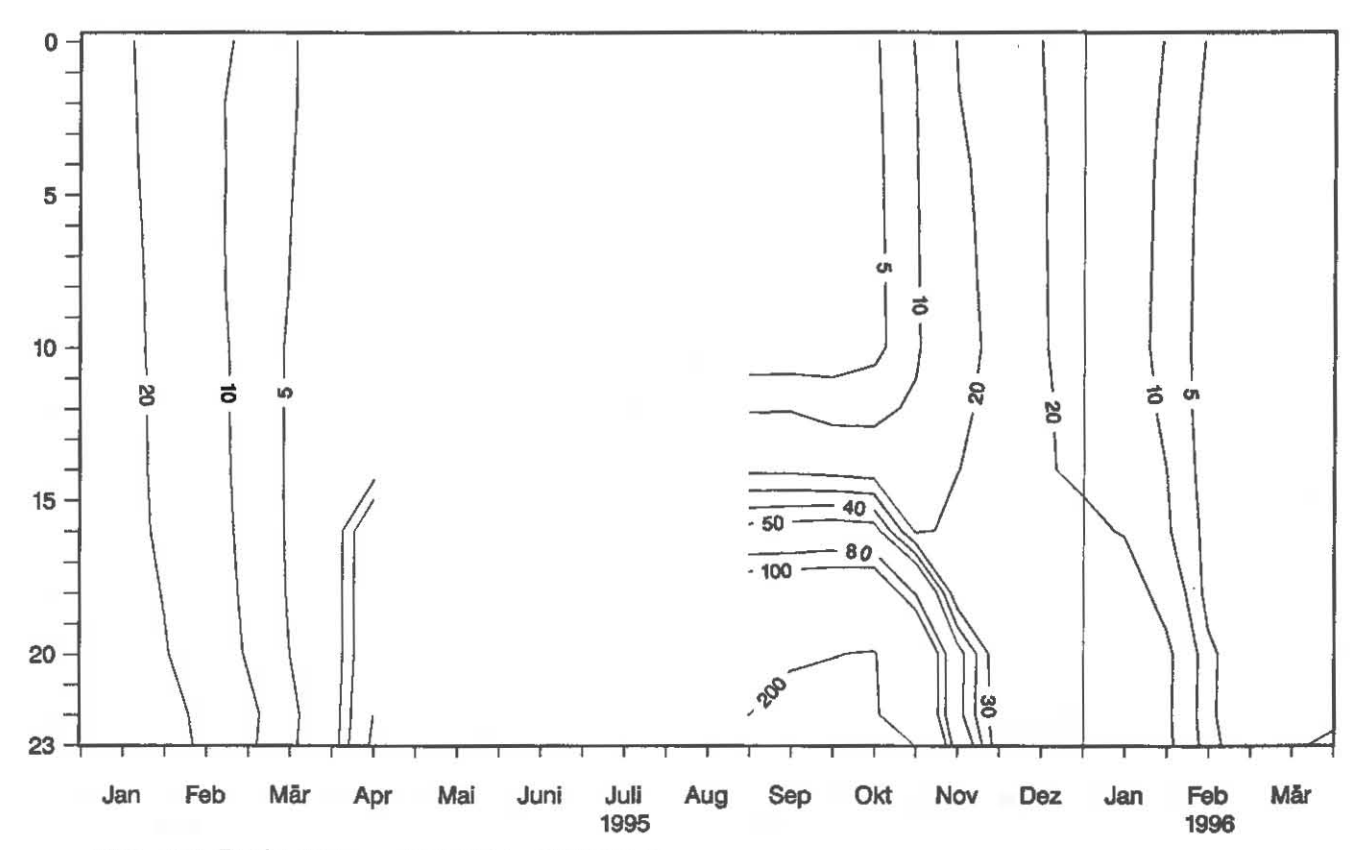


Abb. 37: Bodensee - Untersee, Zellersee:
Orthophosphat - Phosphor (mg/m³) *

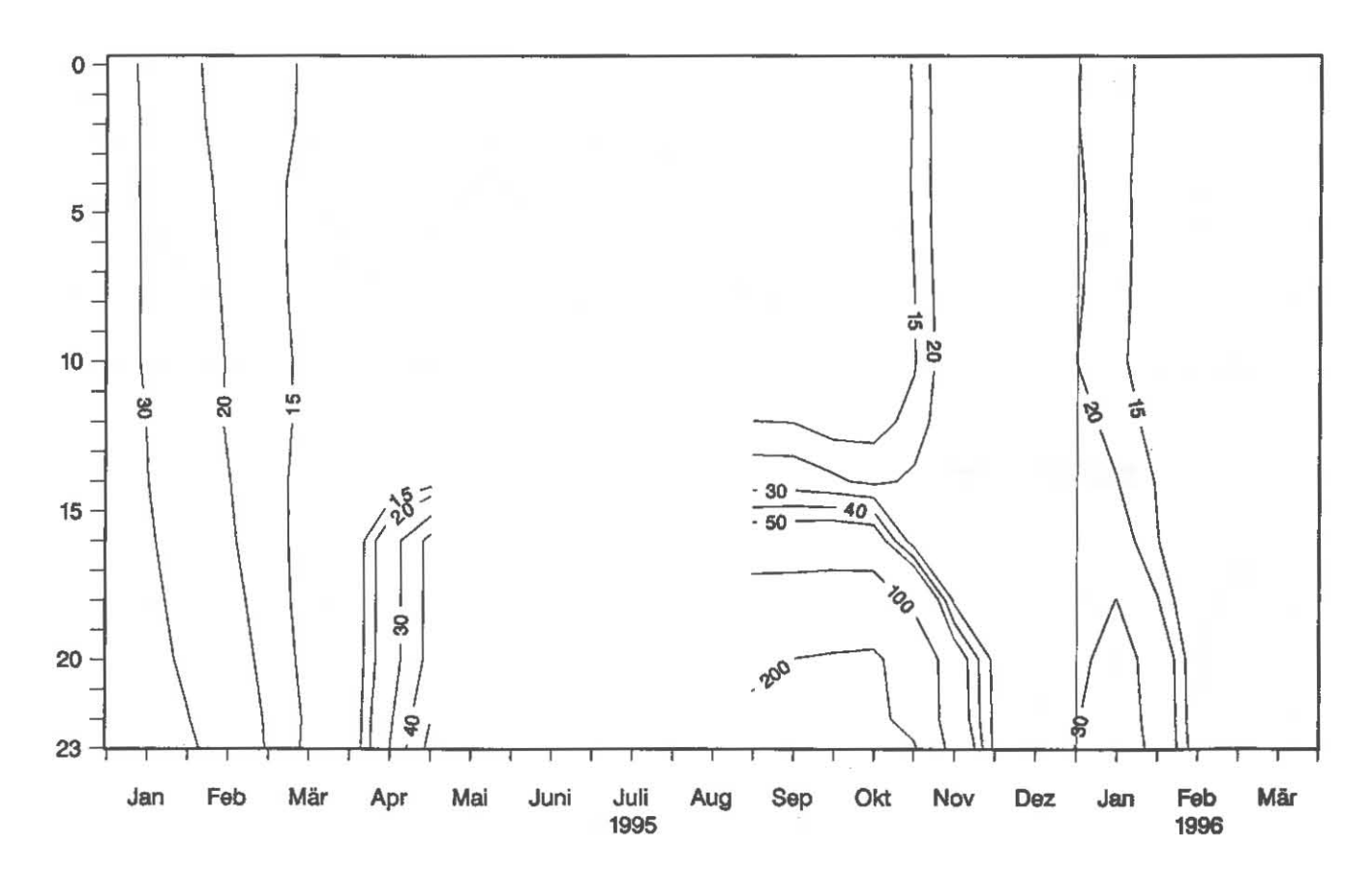


Abb. 38: Bodensee – Untersee, Zellersee:

Gesamt gelöster Phosphor (mg/m³) *

* wegen analytischer Probleme teilweise keine Meßdaten vorhanden

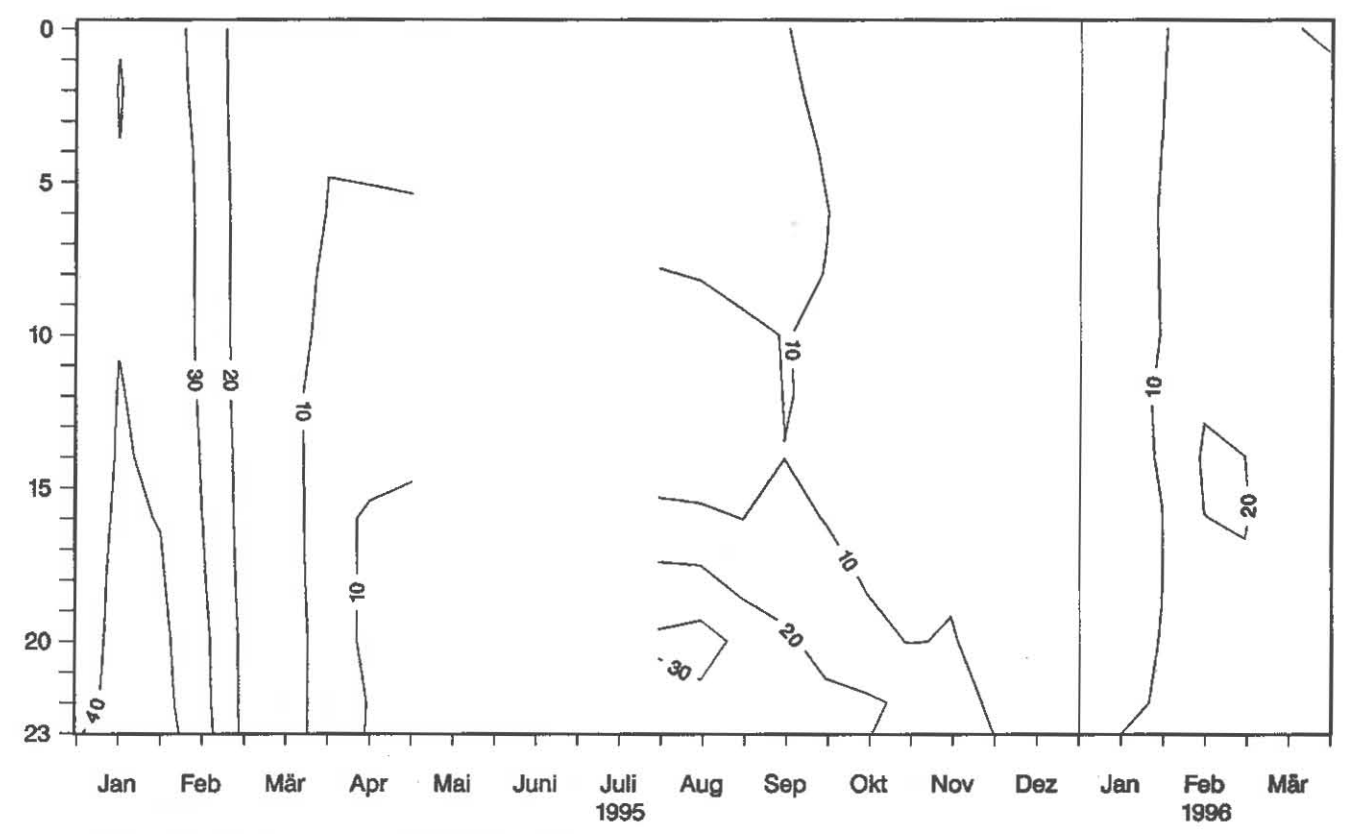


Abb. 39: Bodensee – Untersee, Zellersee: partikulärer Phosphor (mg/m³) *

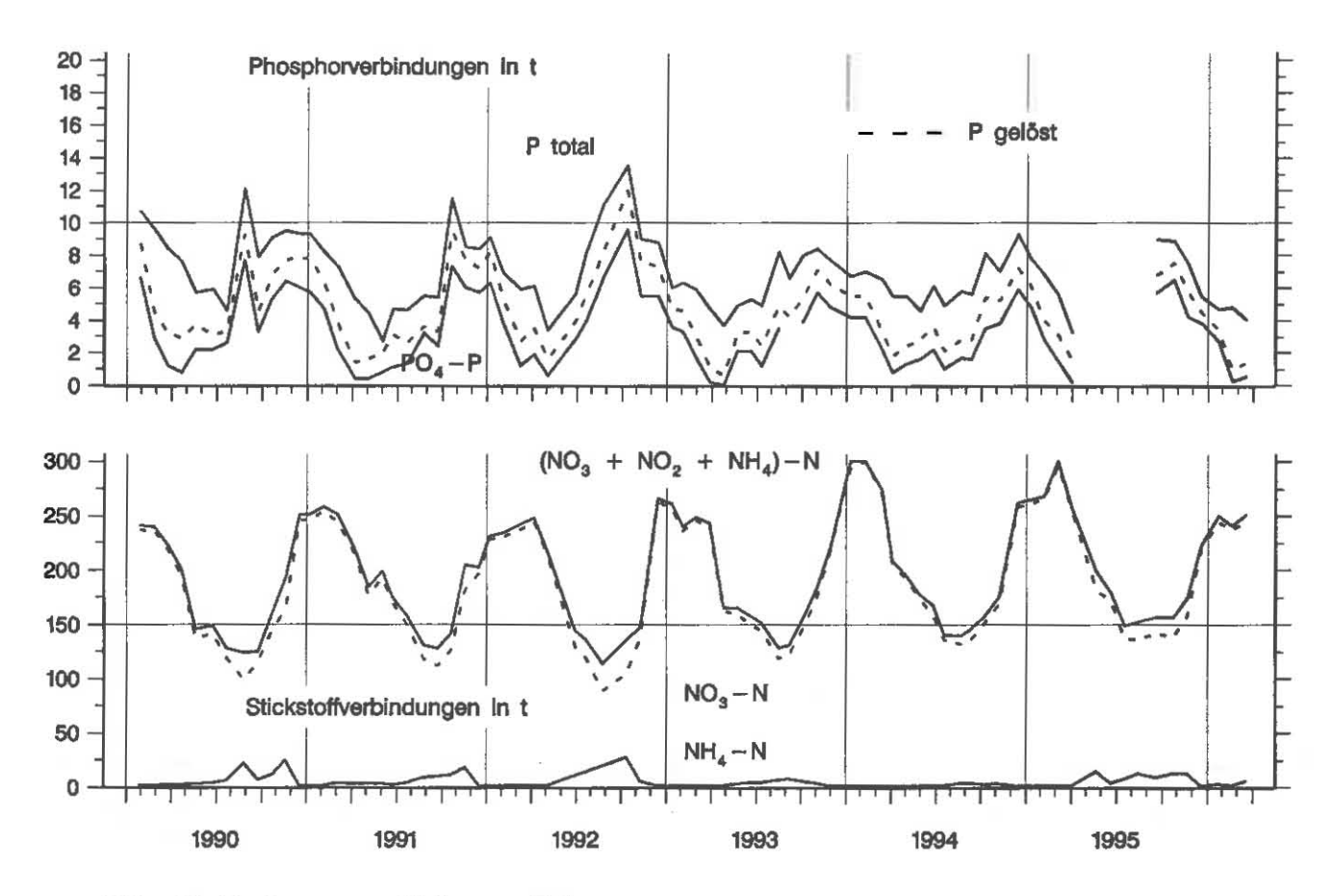


Abb. 40: Bodensee – Untersee, Zellersee: Nährstoffinhalt 0-27 m Tiefe *

^{*} wegen analytischer Probleme teilweise keine Meßdaten vorhanden

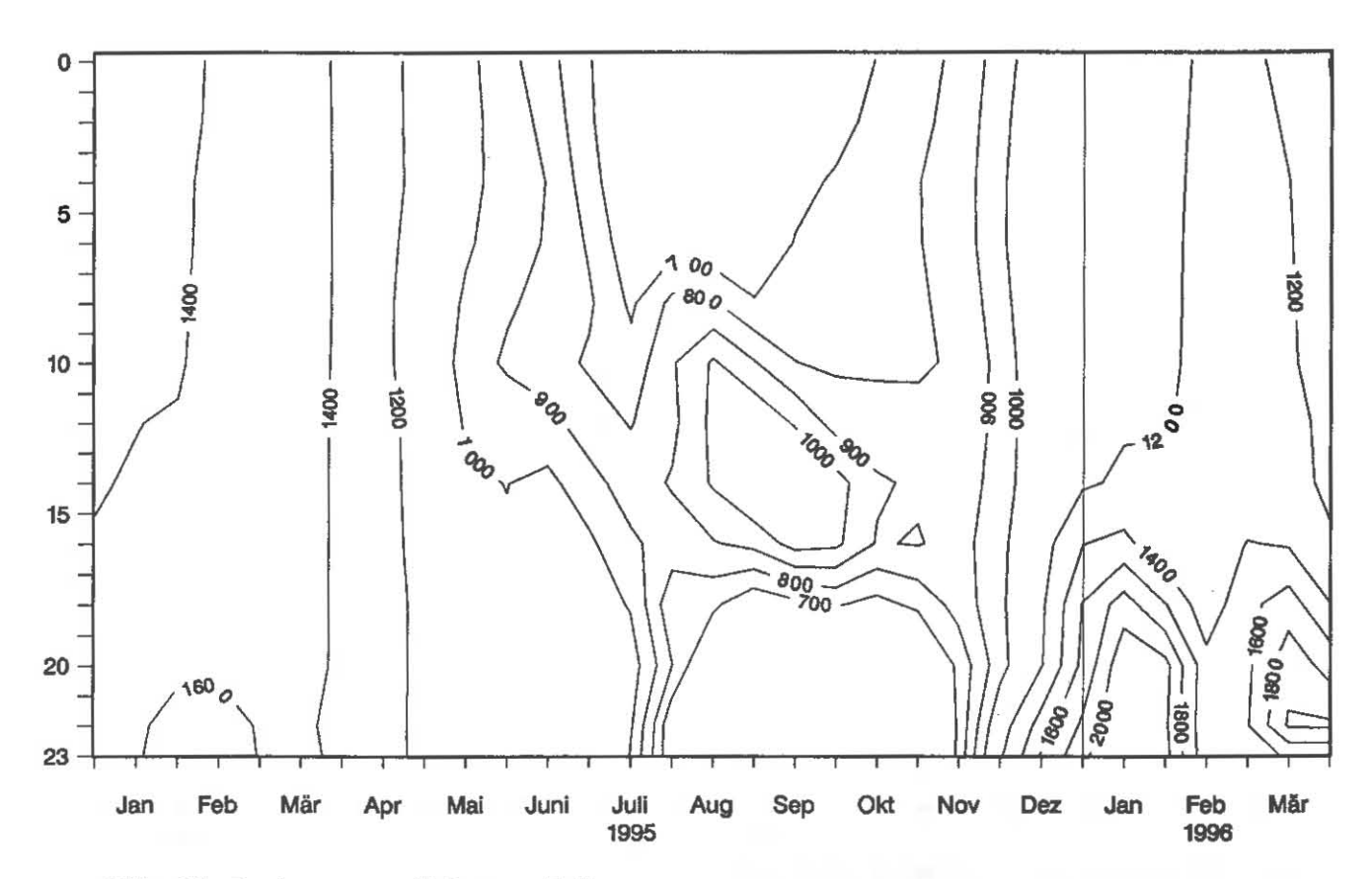


Abb. 41: Bodensee – Untersee, Zellersee: Nitrat – Stickstoff (mg/m³)

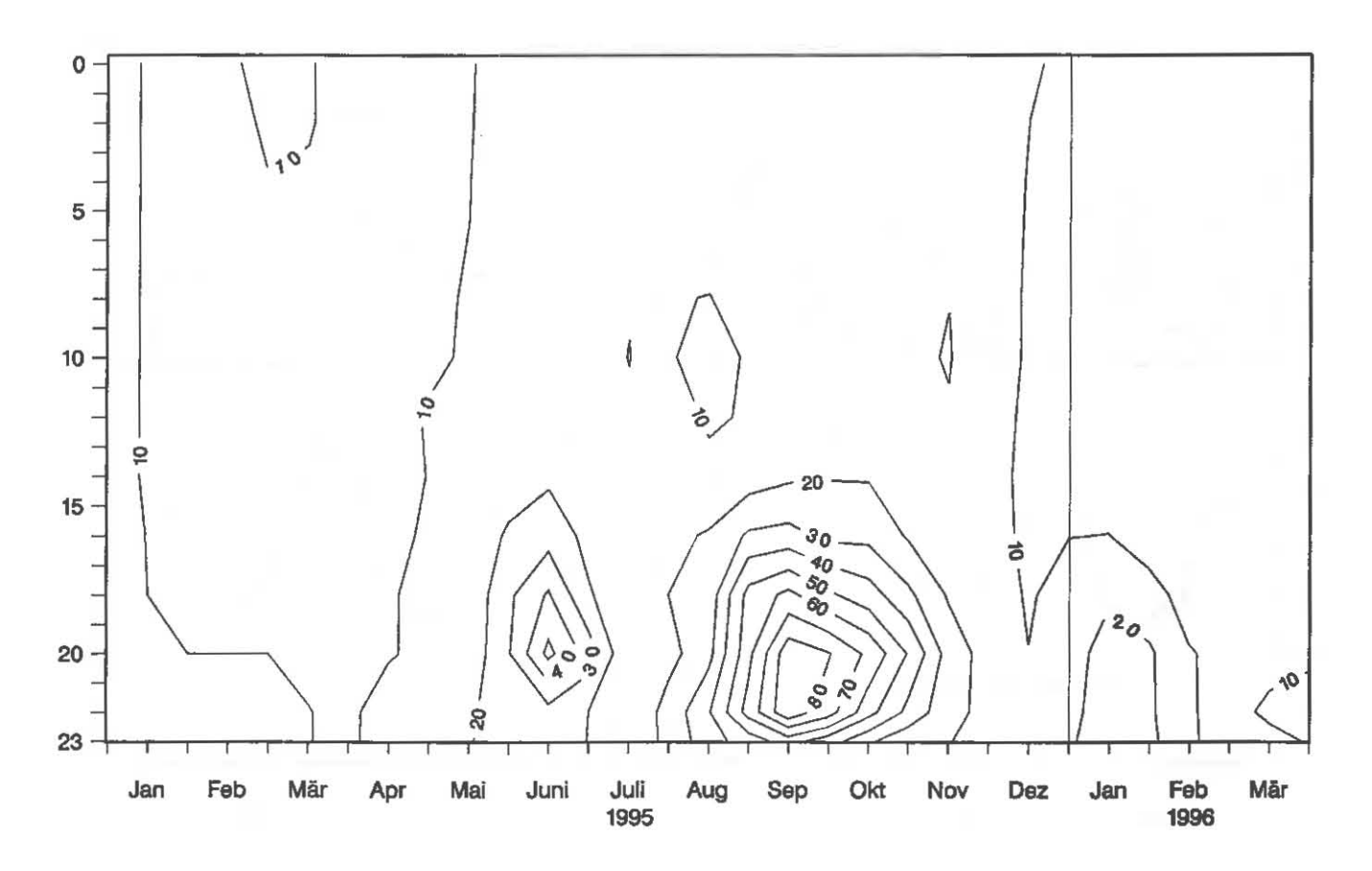


Abb. 42: Bodensee - Untersee, Zellersee: Nitrit - Stickstoff (mg/m³)

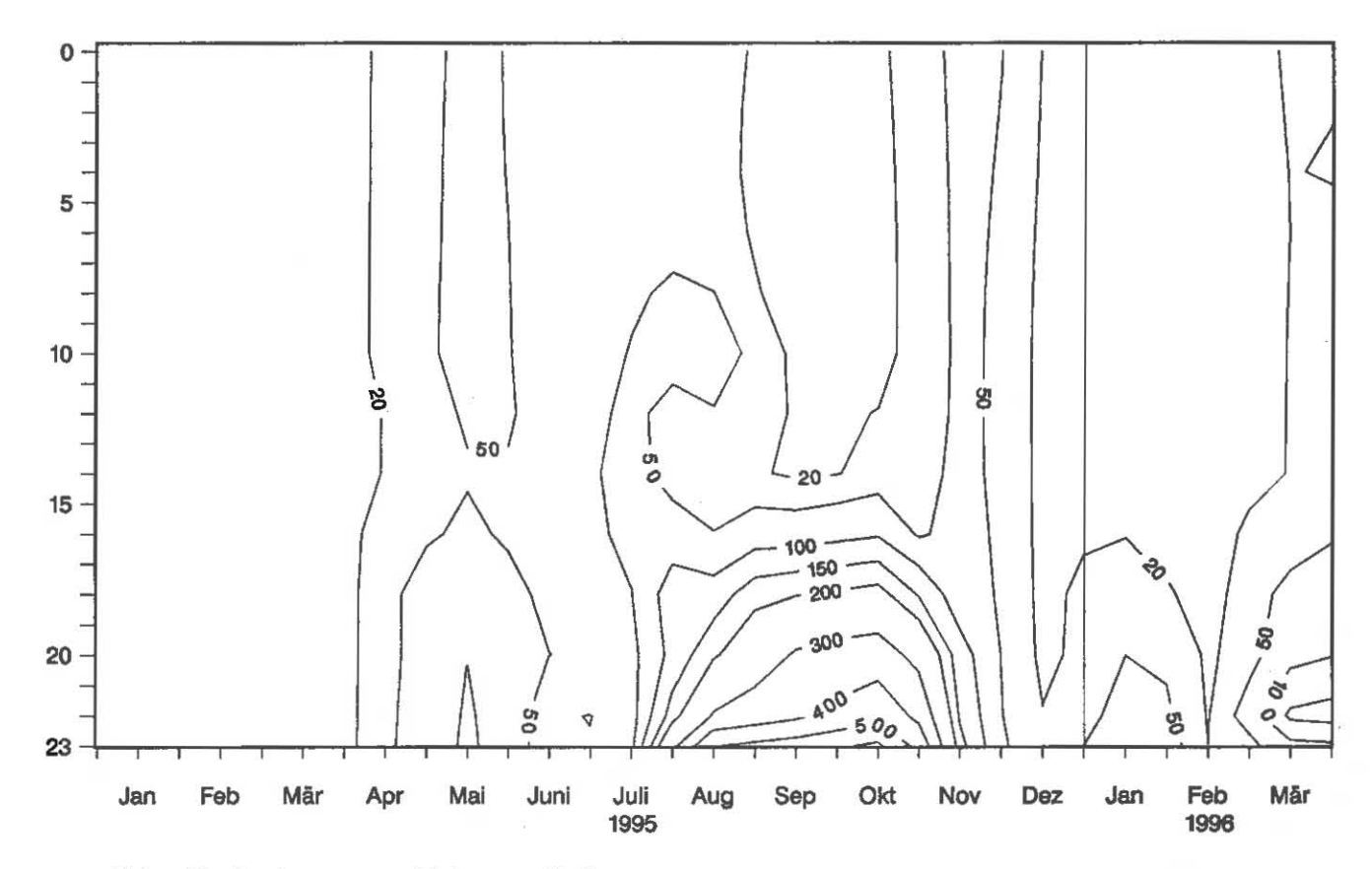


Abb. 43: Bodensee – Untersee, Zellersee: Ammonium – Stickstoff (mg/m³)

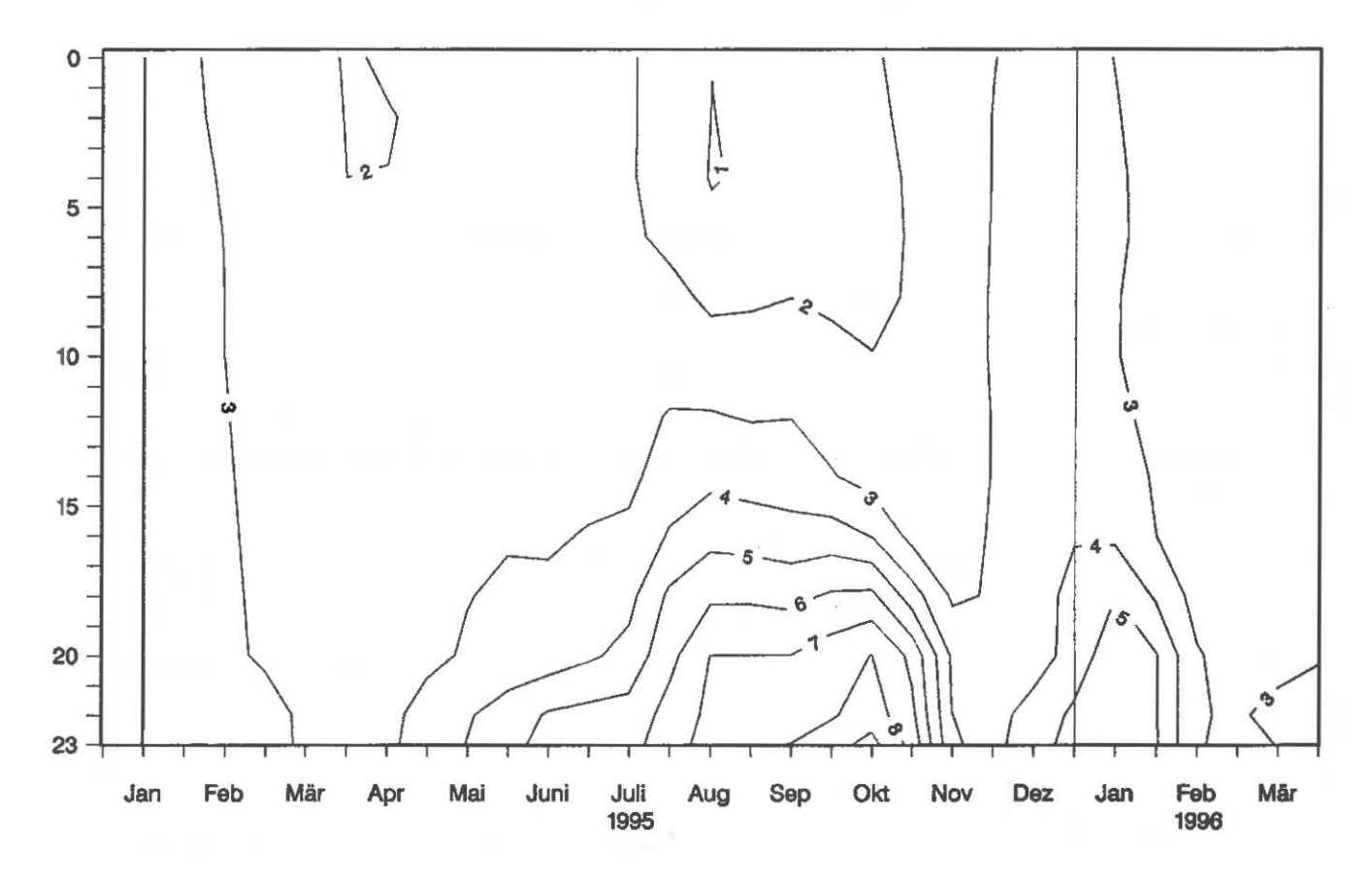


Abb. 44: Bodensee - Untersee, Zellersee: Silikat (mg/l)

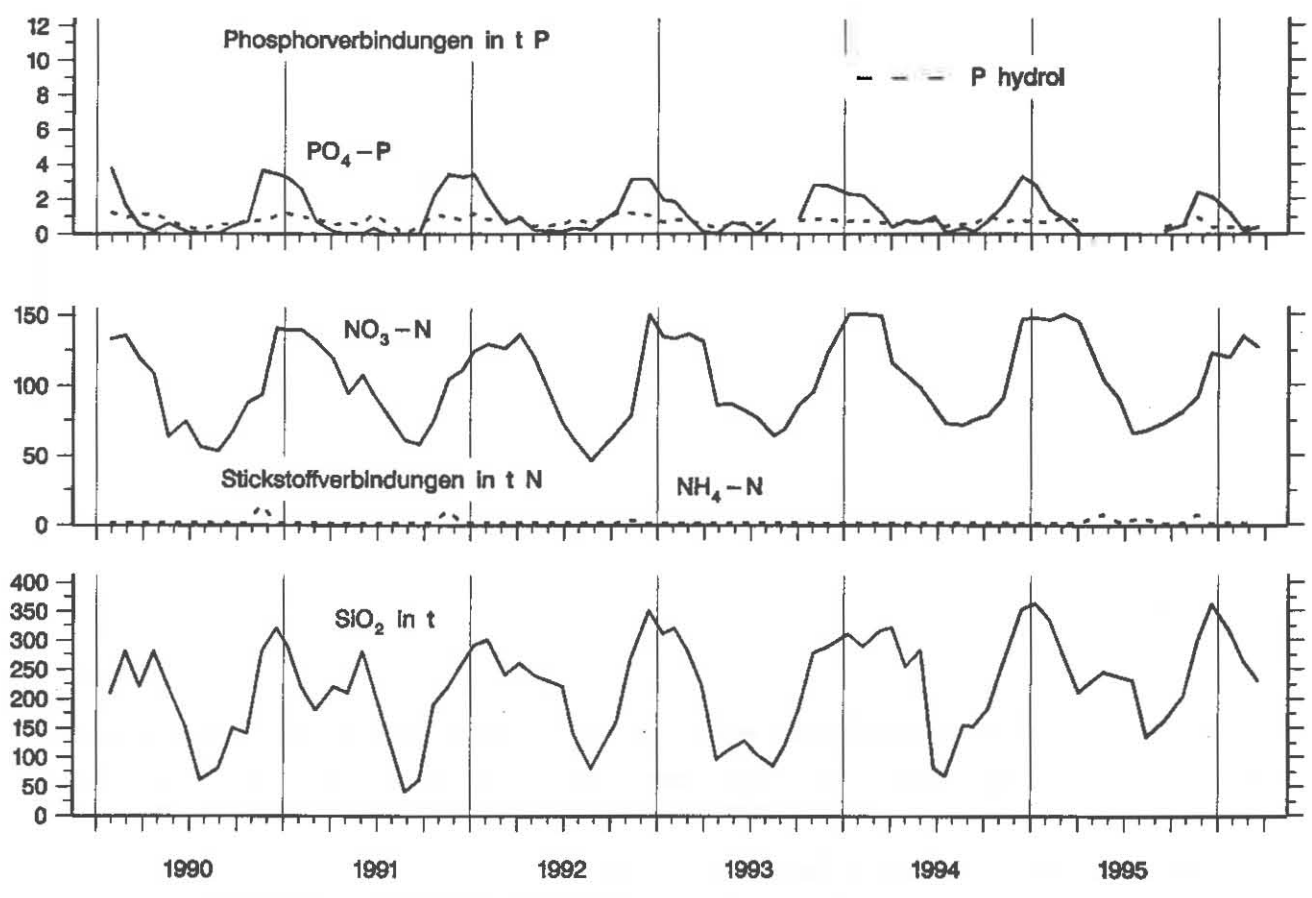


Abb. 45: Bodensee – Untersee, Zellersee: N\u00e4hrstoffinhalt im Epilimnion 0-10 m Tiefe

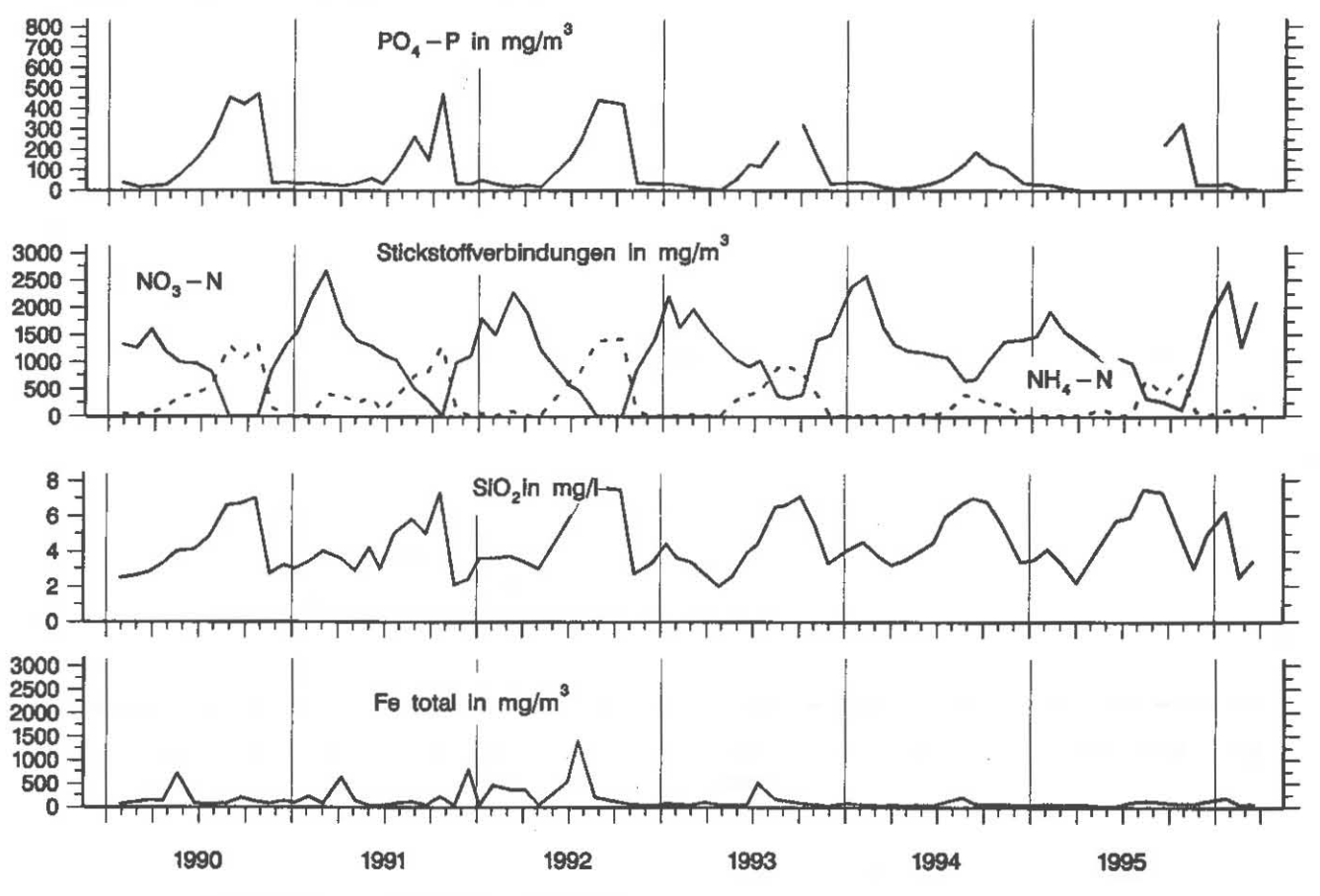


Abb. 46: Bodensee – Untersee, Zellersee: N\u00e4hrstoffkonzentration in 24 m Tiefe

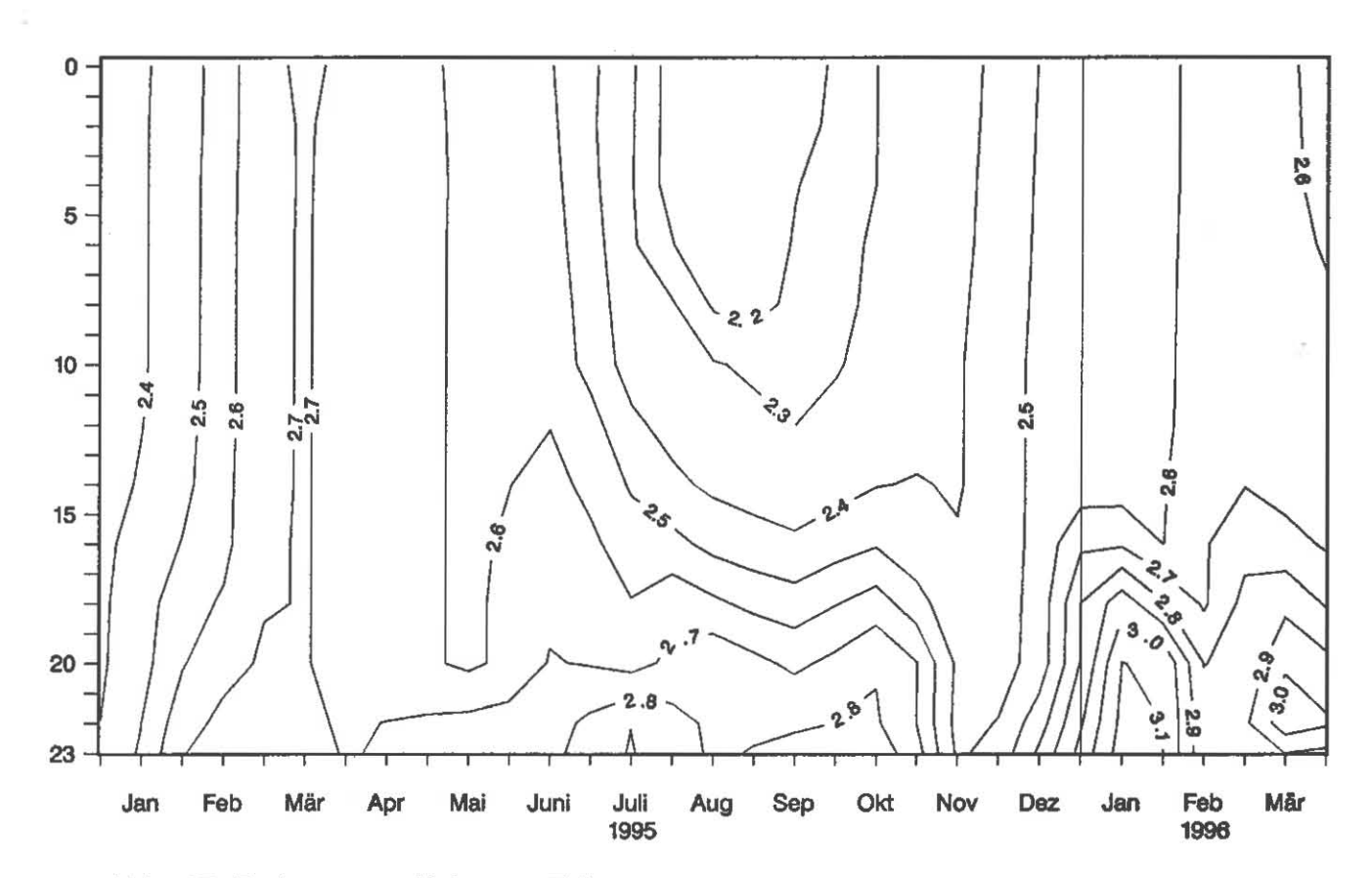


Abb. 47: Bodensee - Untersee, Zellersee: Anorganischer Kohlenstoff (mmol/l)

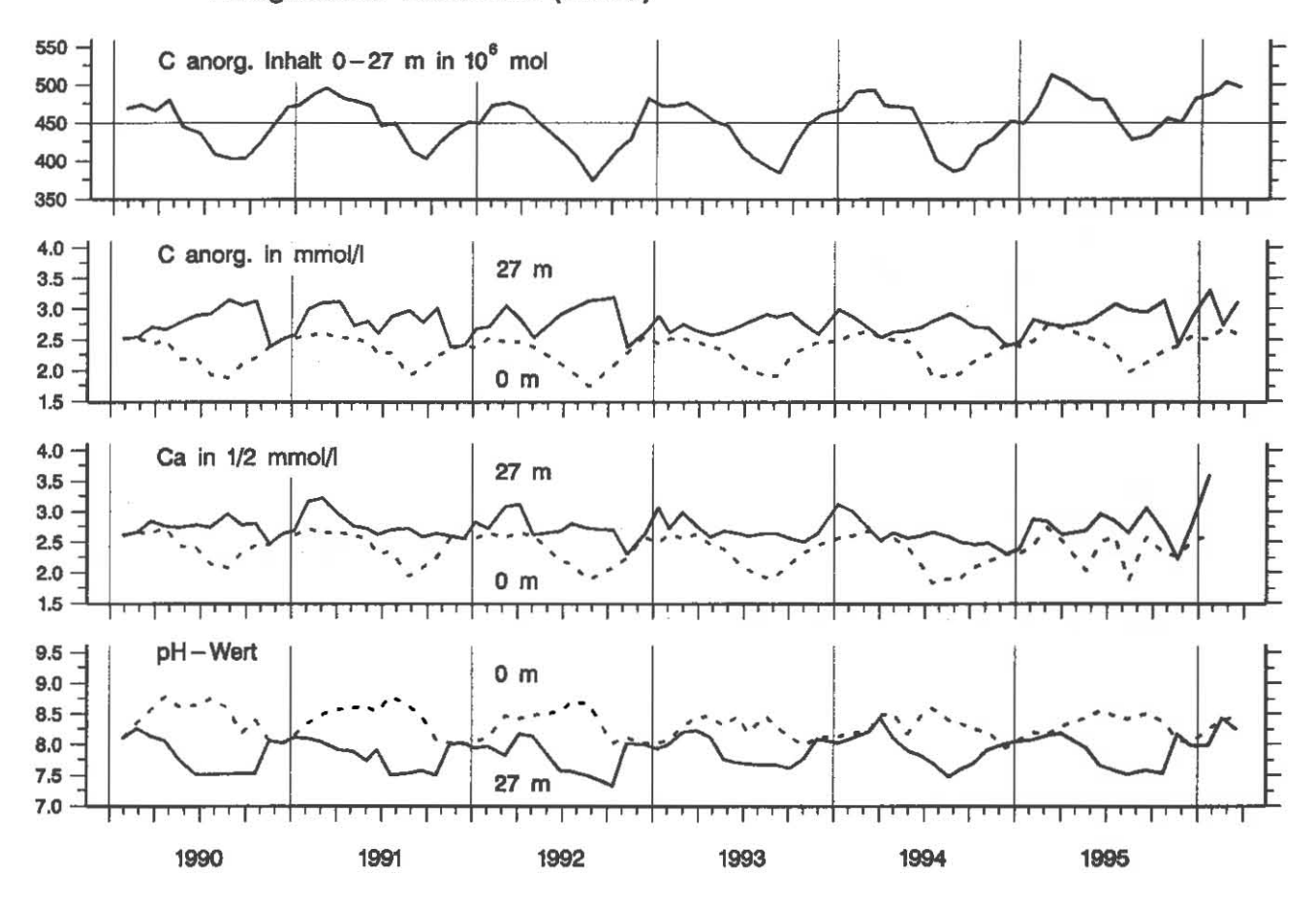


Abb. 48: Bodensee - Untersee, Zellersee:

Anorganischer Kohlenstoff, Inhalt 0-27 m Tiefe

Konzentration von anorg. Kohlenstoff, Calcium; pH-Wert

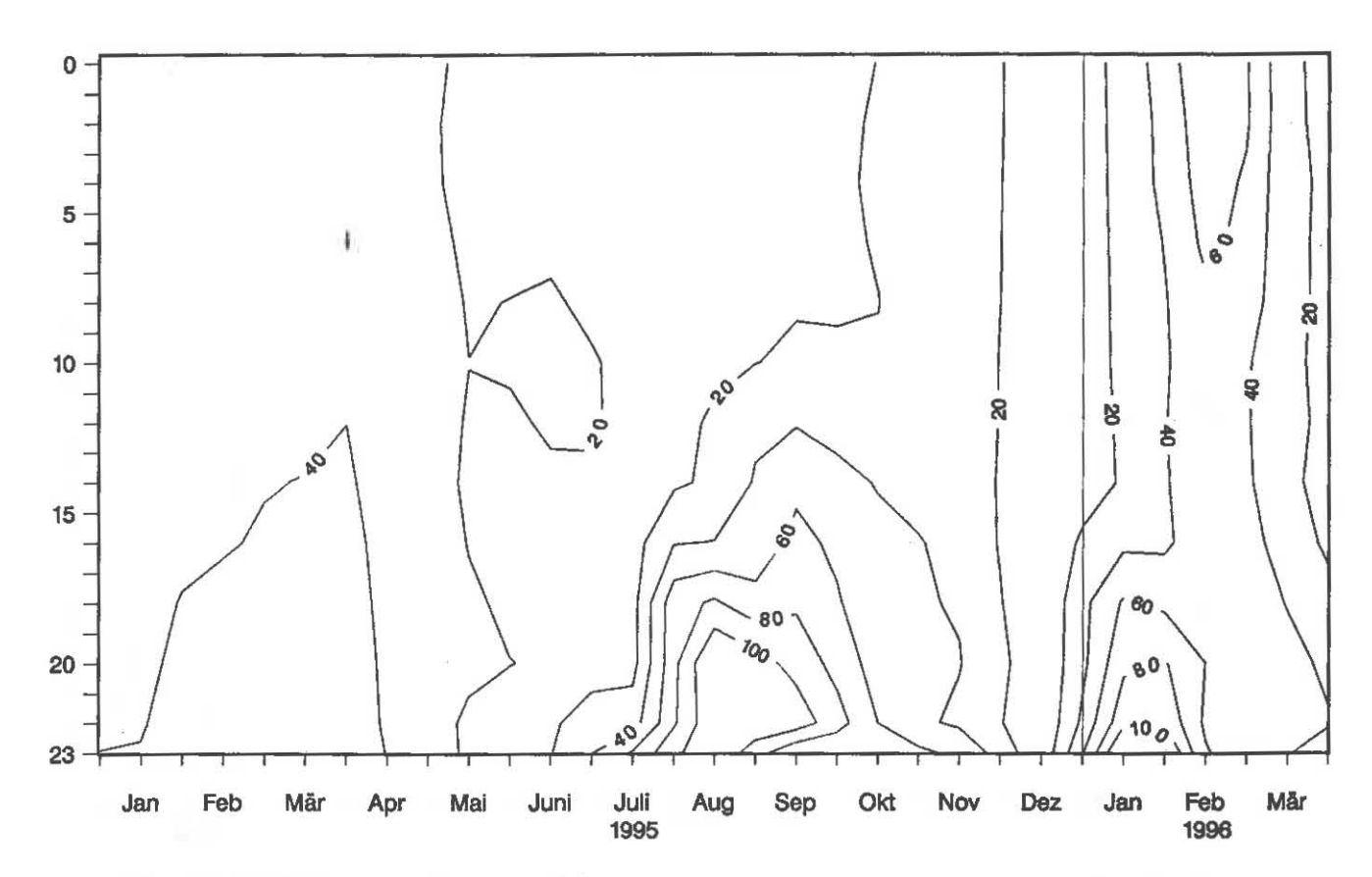


Abb. 49: Bodensee - Untersee, Zellersee: Konzentration von Eisen total (mg/m³)

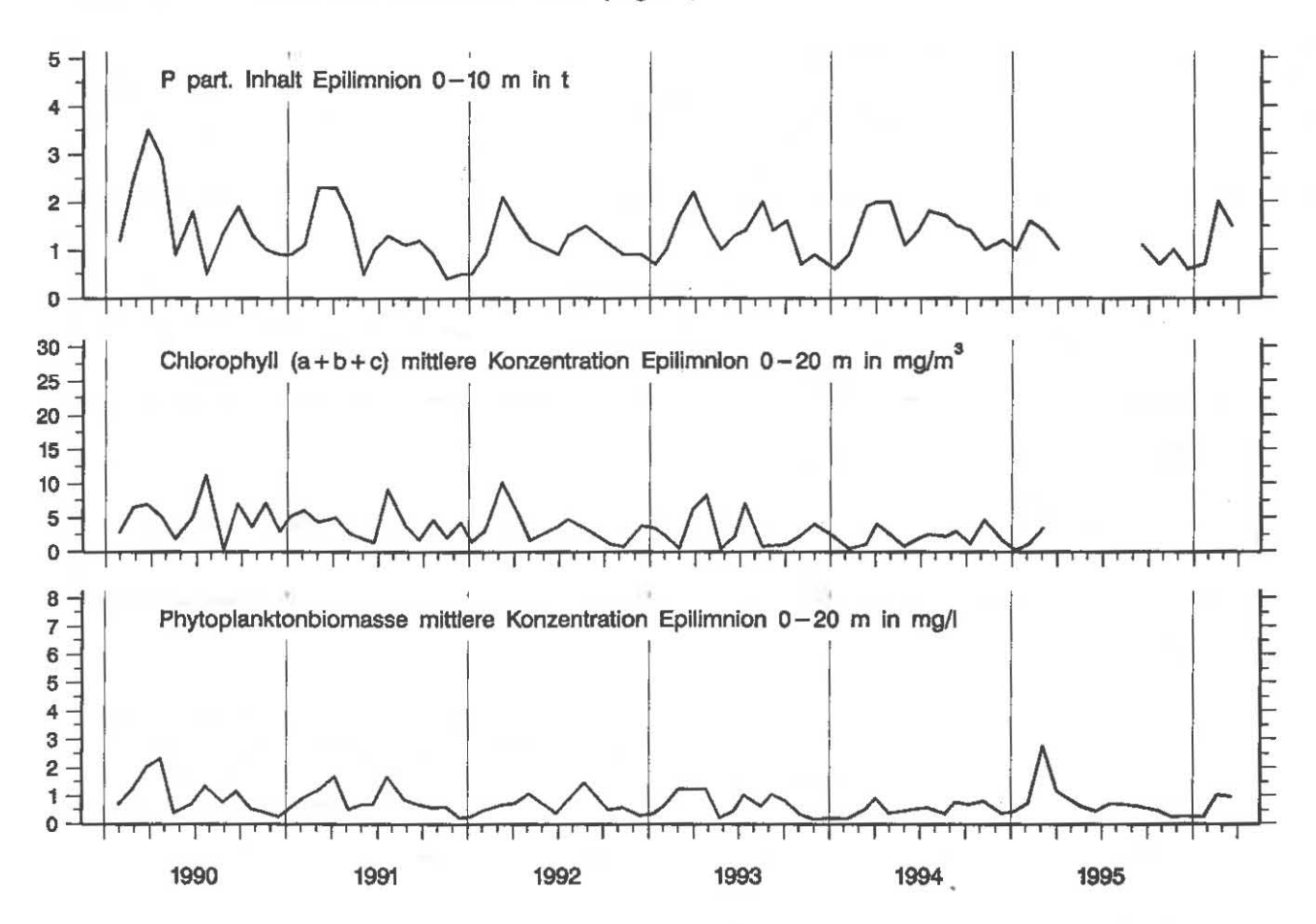


Abb. 50: Bodensee – Untersee, Zellersee:

Chemische Biomasseindikatoren und Phytoplanktonbiomasse

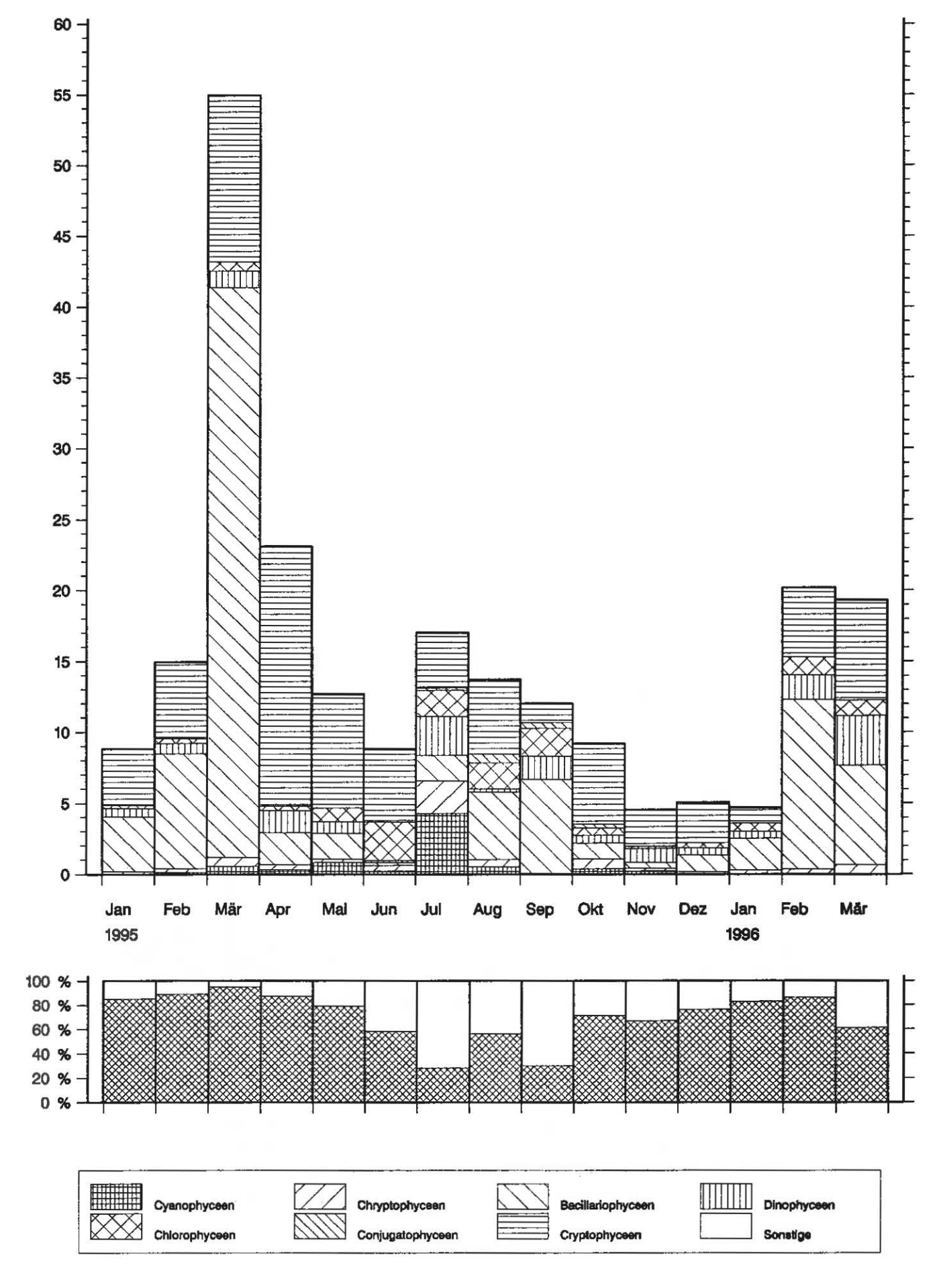


Abb. 51: Bodensee – Untersee, Zellersee:
Entwicklung des Phytoplanktons
Biomasse in g/m² (0-20m Tiefe), Monatsmittel 1995/96

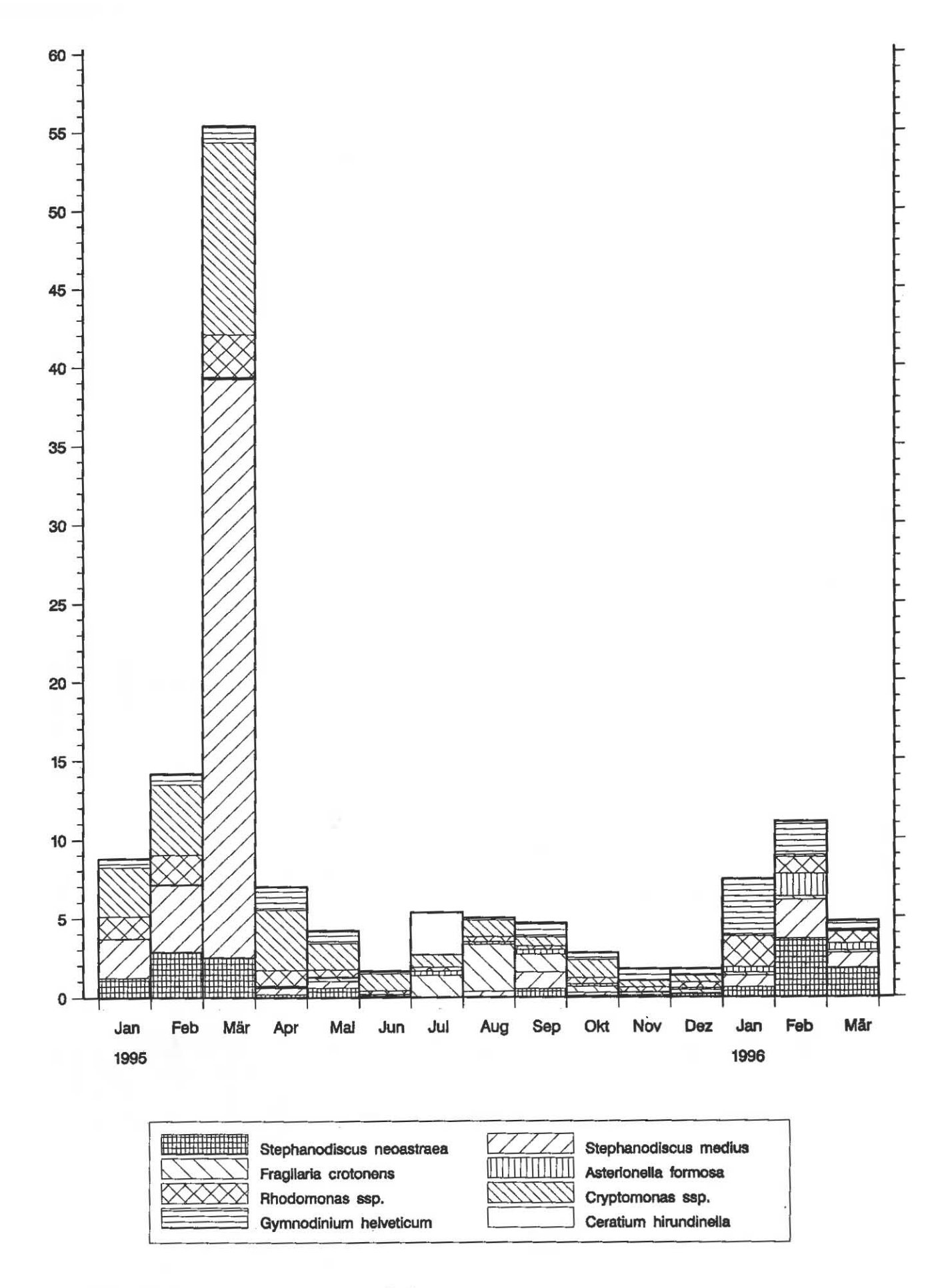


Abb. 52: Bodensee – Untersee, Zellersee:
Entwicklung des Phytoplanktons
Biomasse der Hauptarten in g/m² (0-20m Tiefe), Monatsmittel 1995/96

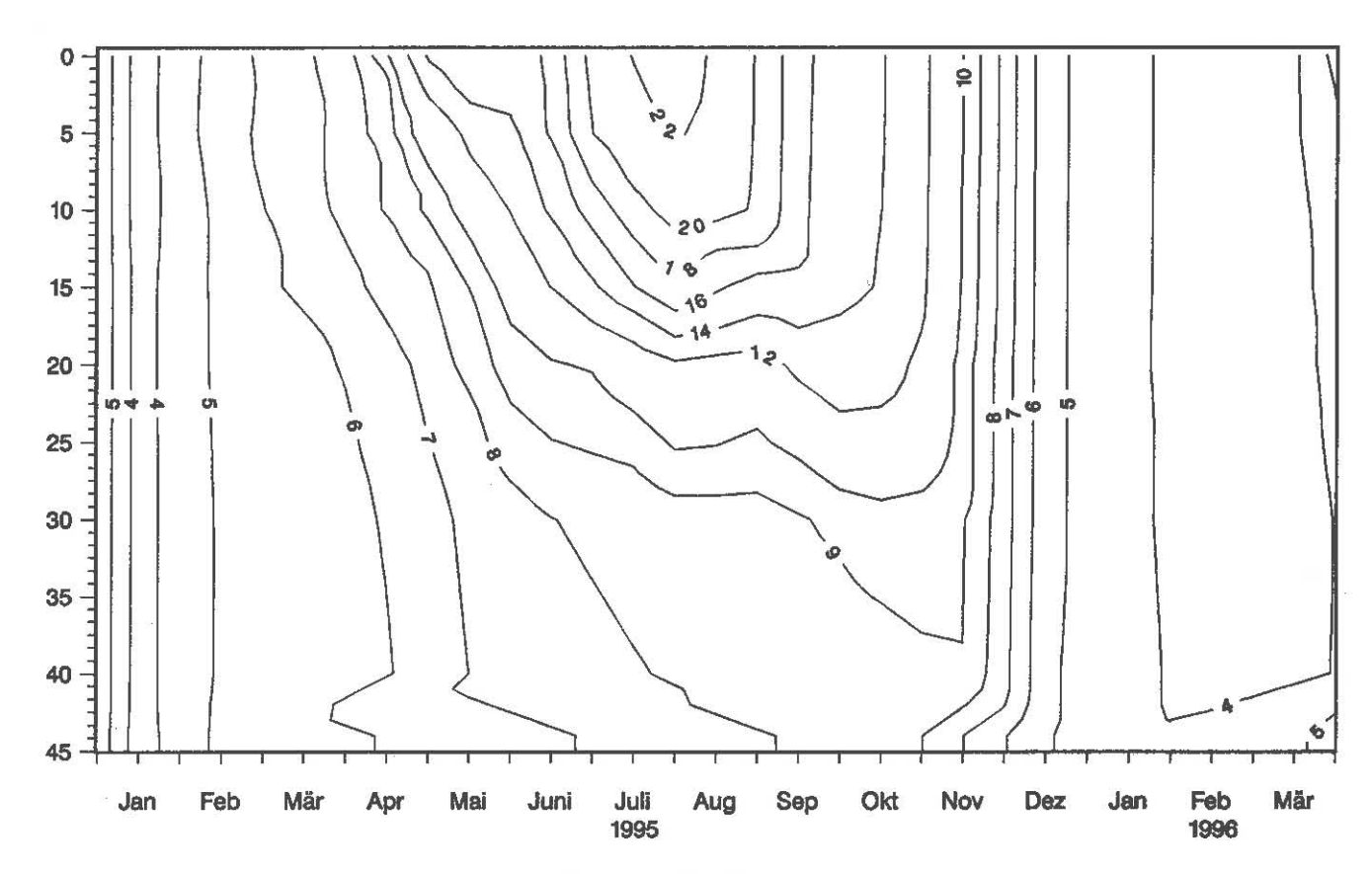


Abb. 53: Bodensee – Untersee, Rheinsee (Berlingen): Temperatur °C

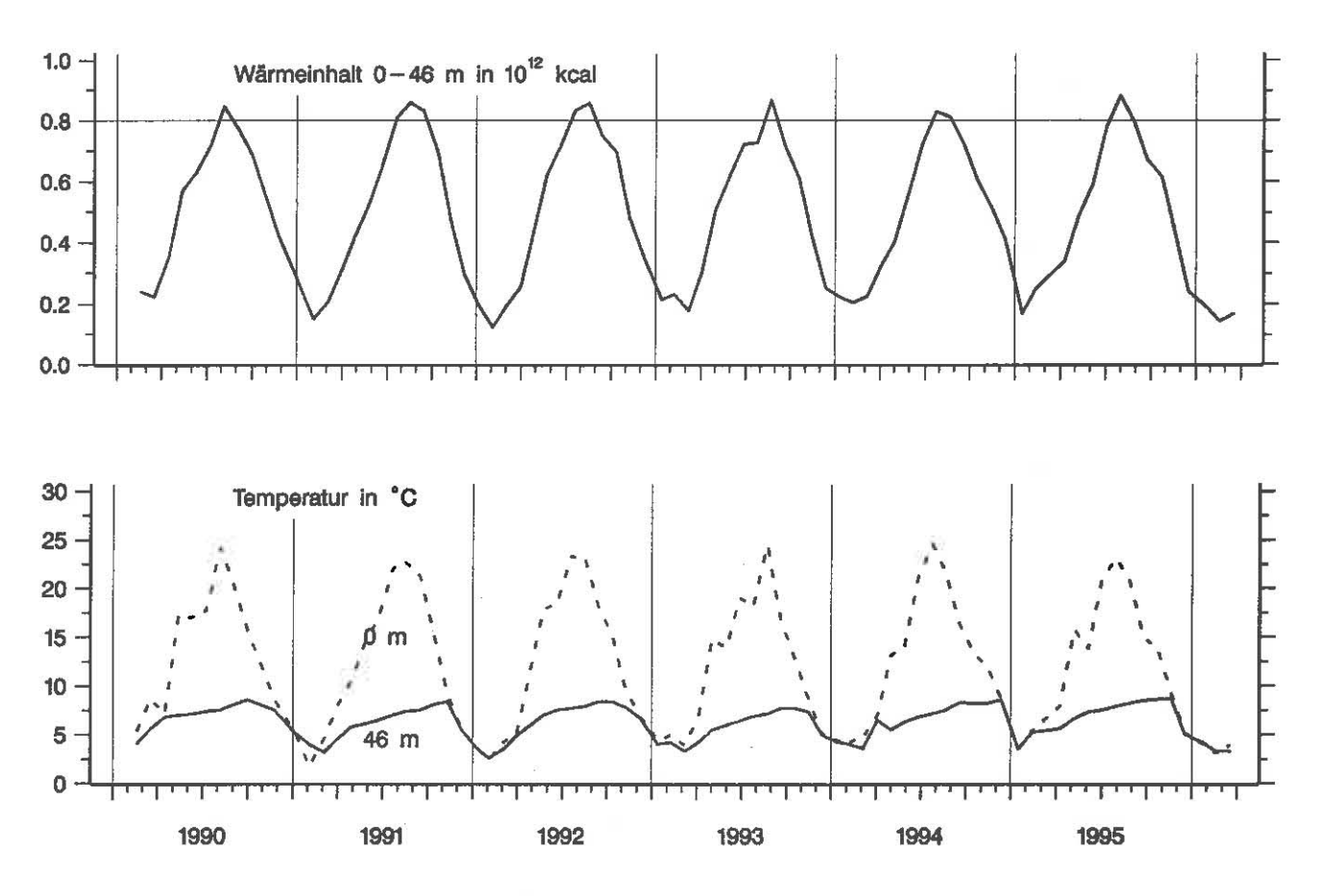


Abb. 54: Bodensee - Untersee, Rheinsee (Berlingen): Thermik

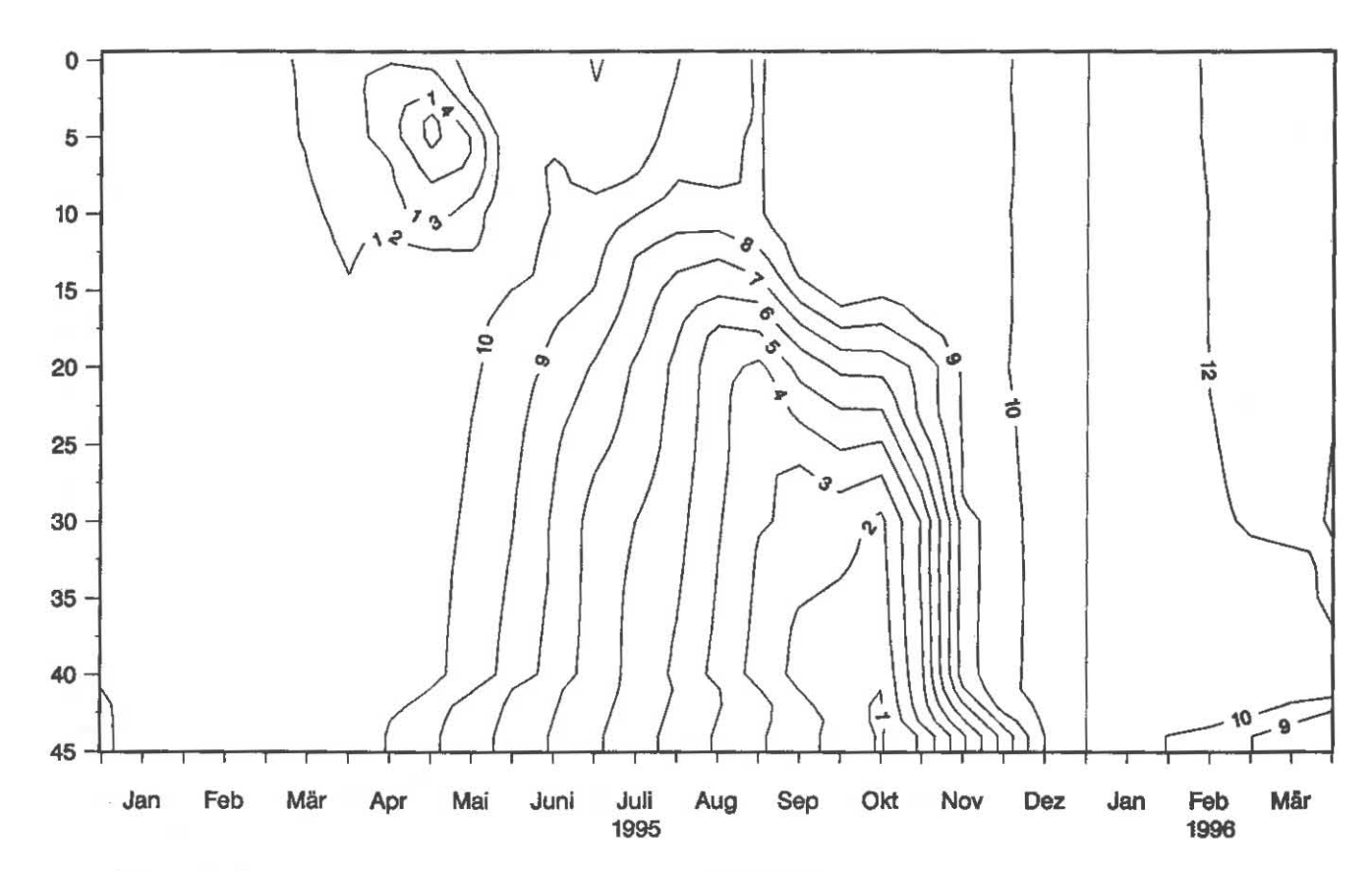


Abb. 55: Bodensee - Untersee, Rheinsee (Berlingen): Sauerstoff (mg/l)

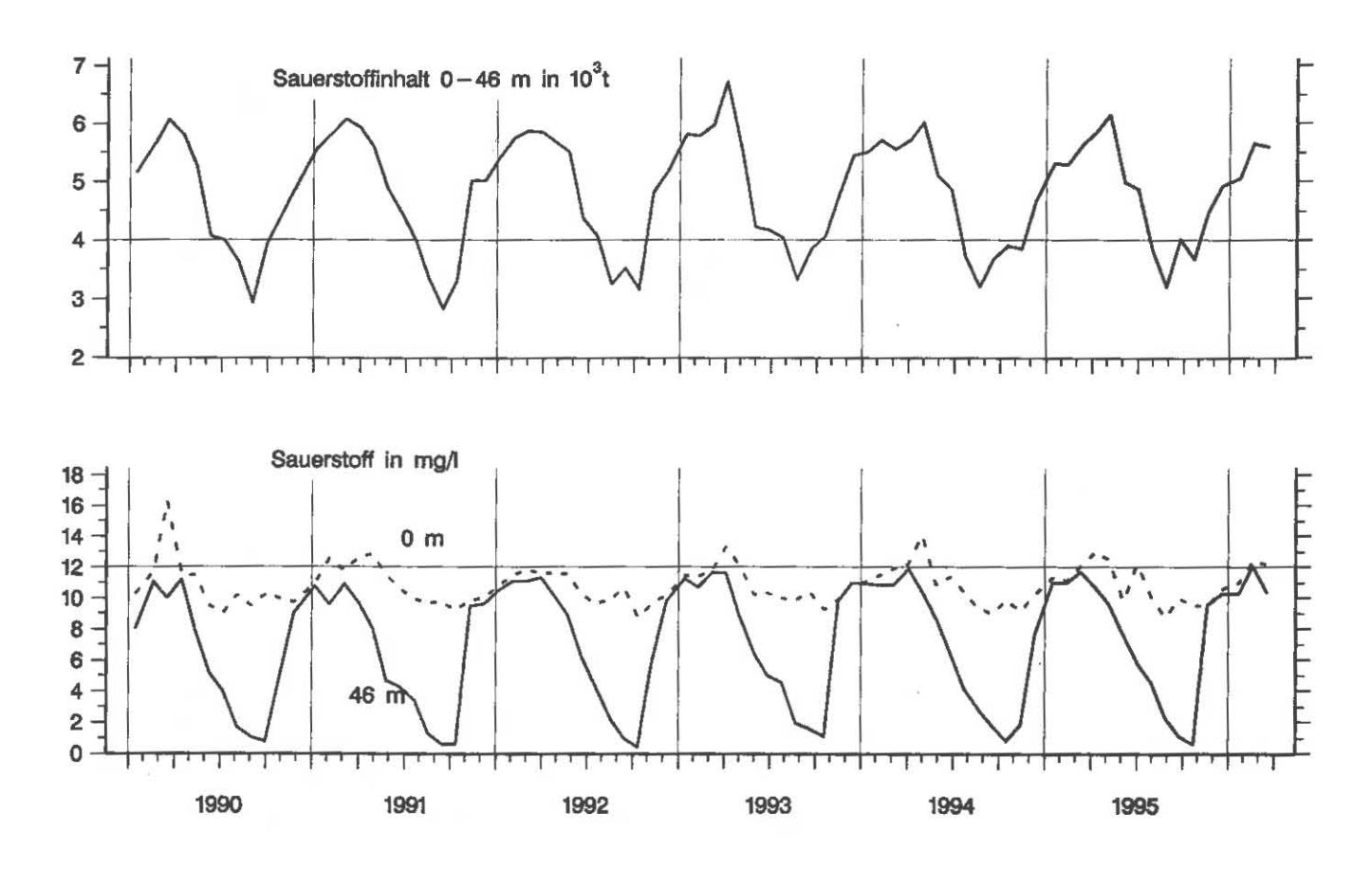


Abb. 56: Bodensee - Untersee, Rheinsee (Berlingen):

Sauerstoffinhalt 0-46 m und Sauerstoffkonzentration in 0 und 46 m Tiefe

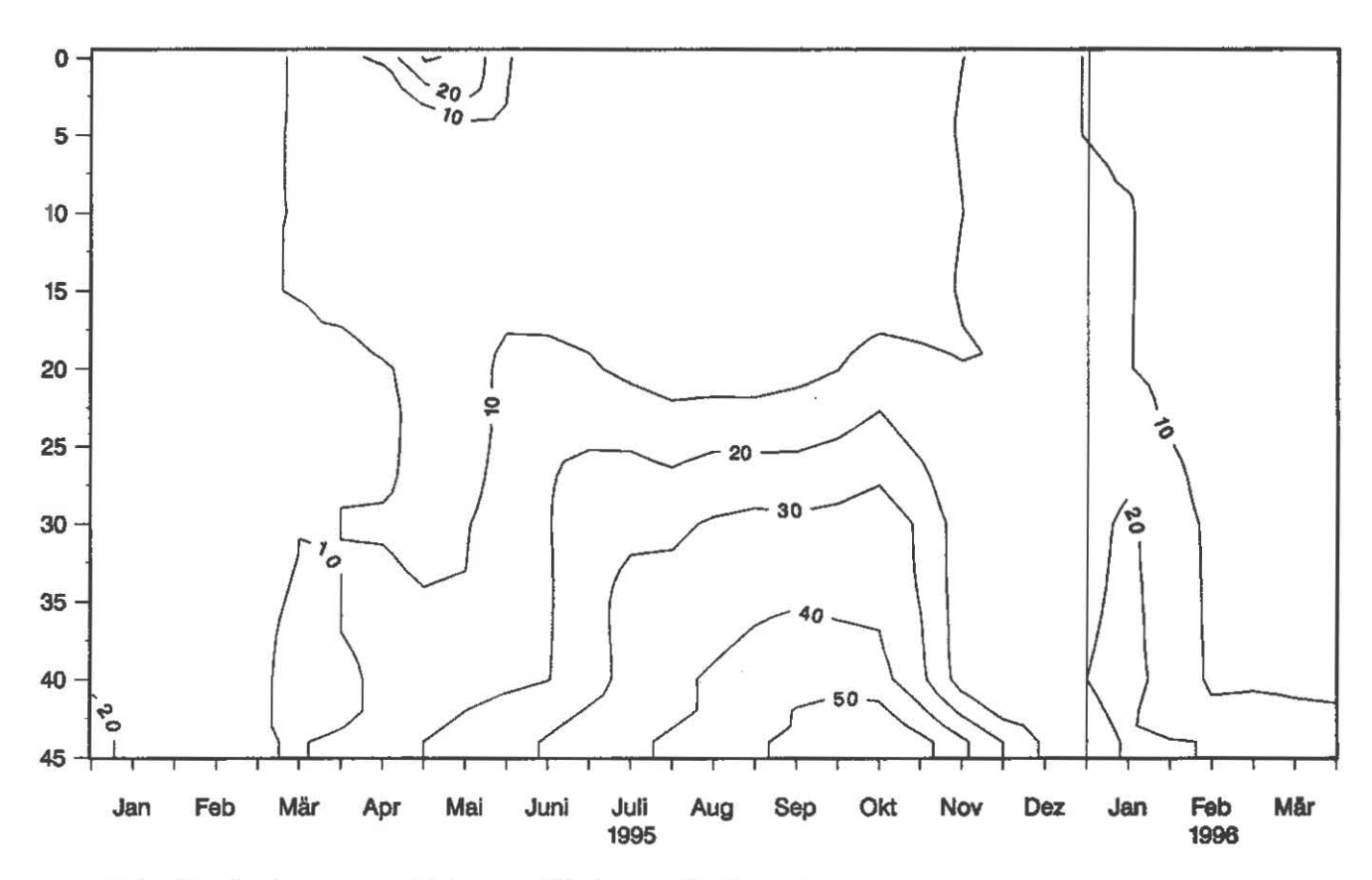


Abb. 57: Bodensee - Untersee, Rheinsee (Berlingen): Orthophosphat - Phosphor (mg/m³)

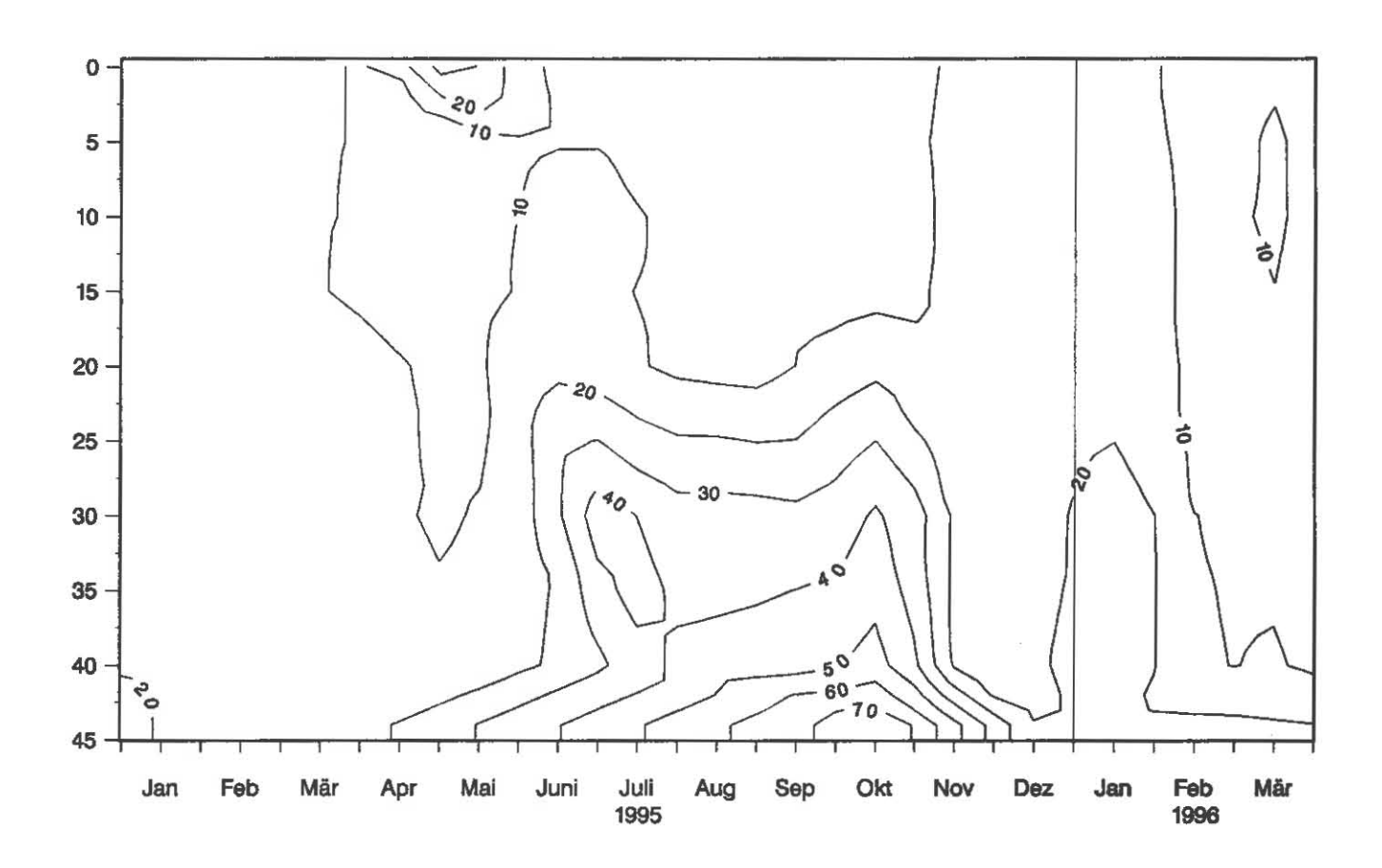


Abb. 58: Bodensee – Untersee, Rheinsee (Berlingen): Gesamt gelöster Phosphor (mg/m³)

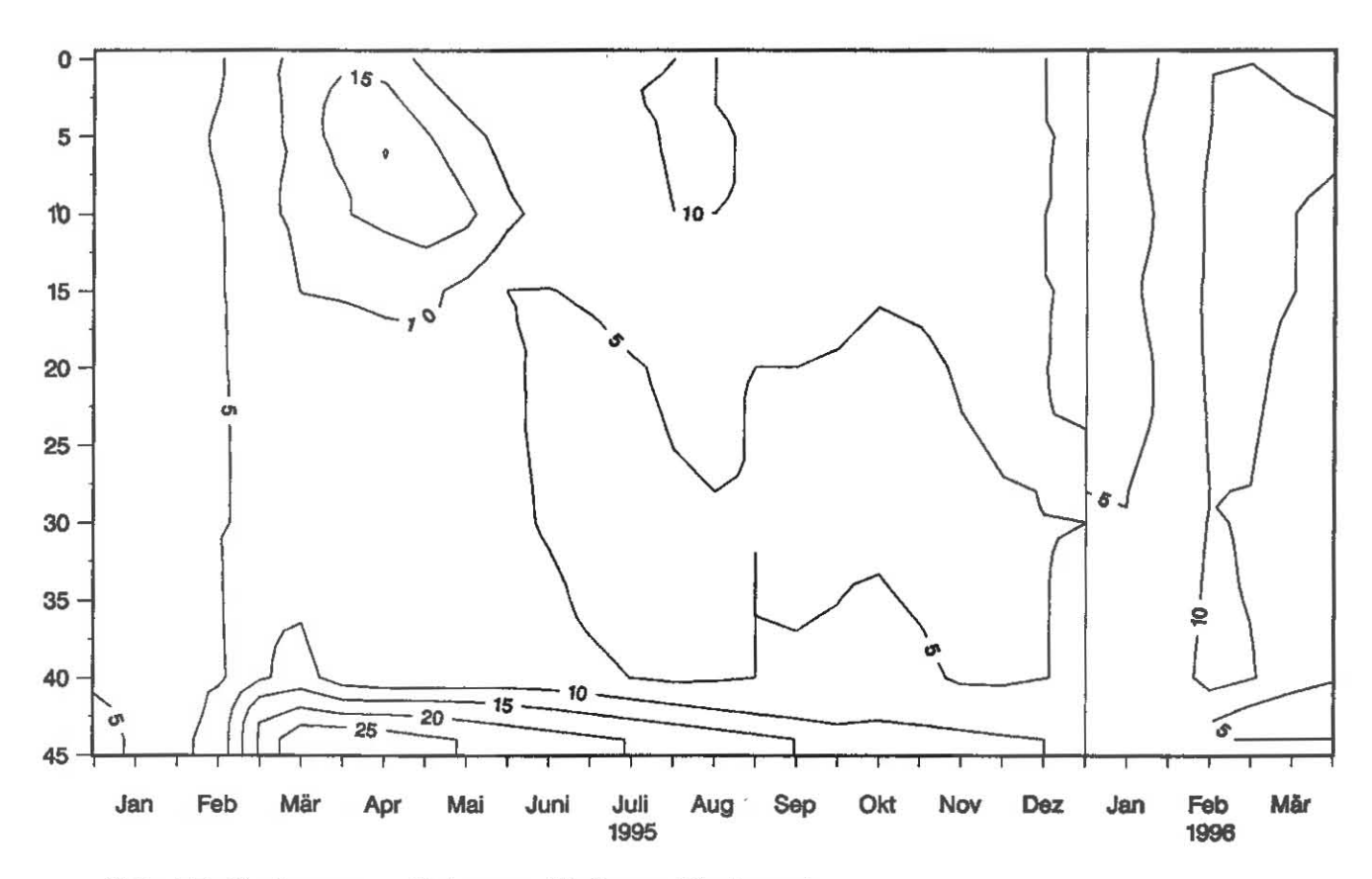


Abb. 59: Bodensee – Untersee, Rheinsee (Berlingen): Partikulärer Phosphor (mg/m³)

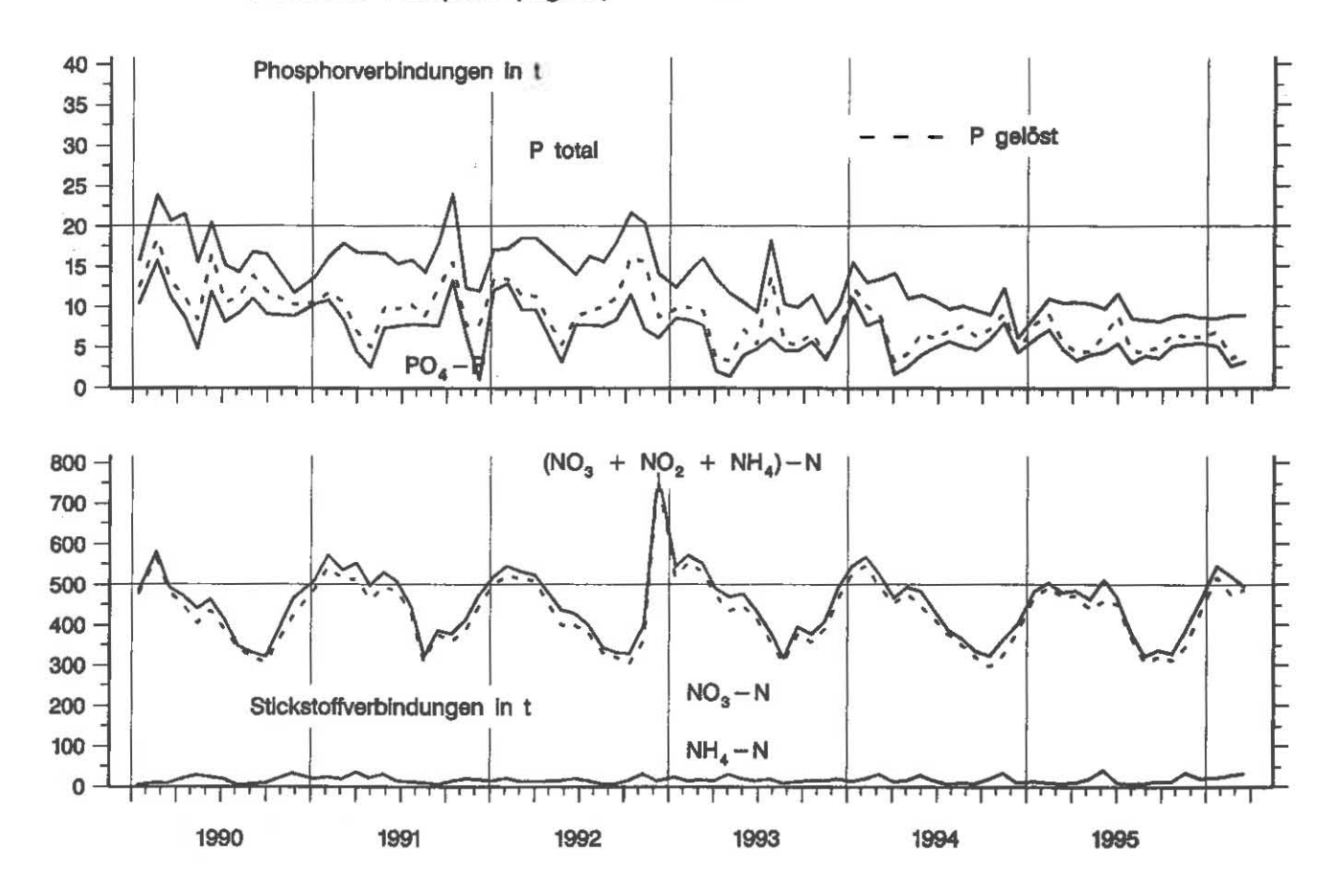


Abb. 60: Bodensee – Untersee, Rheinsee (Berlingen): Nährstoffinhalt 0-46 m Tiefe

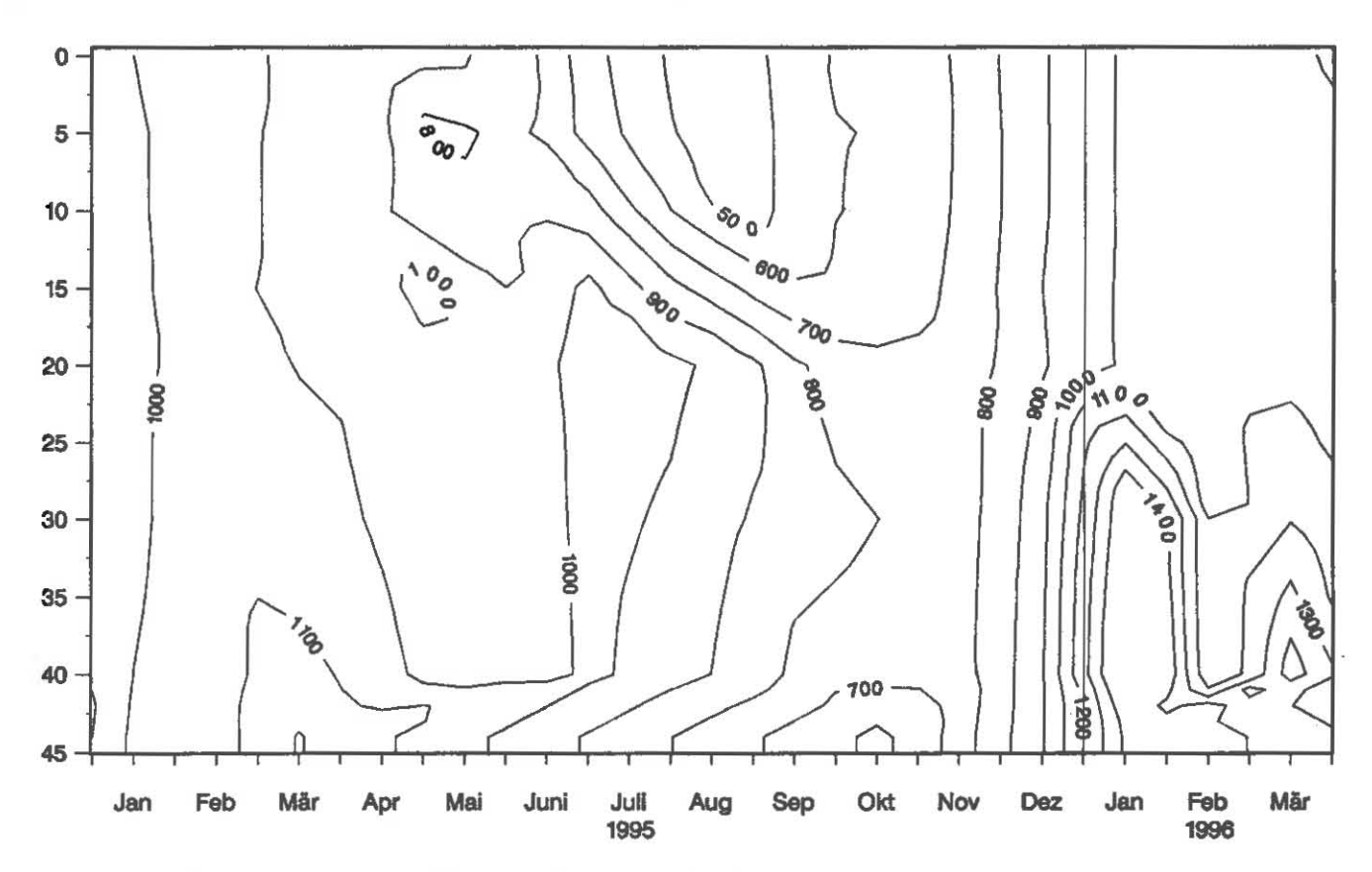


Abb. 61: Bodensee - Untersee, Rheinsee (Berlingen): Nitrat - Stickstoff (mg/m³)

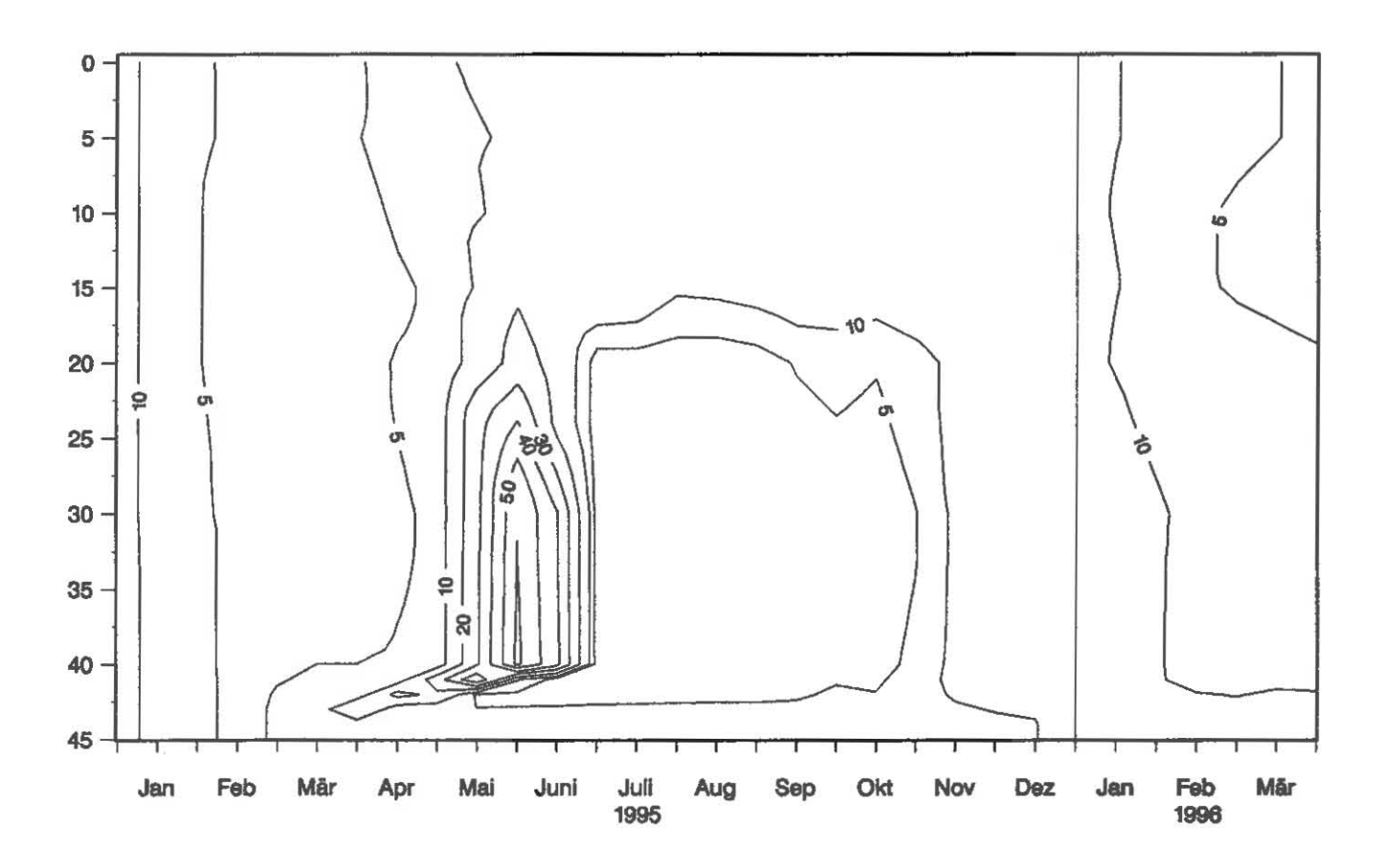


Abb. 62: Bodensee - Untersee, Rheinsee (Berlingen): Nitrit - Stickstoff (mg/m³)

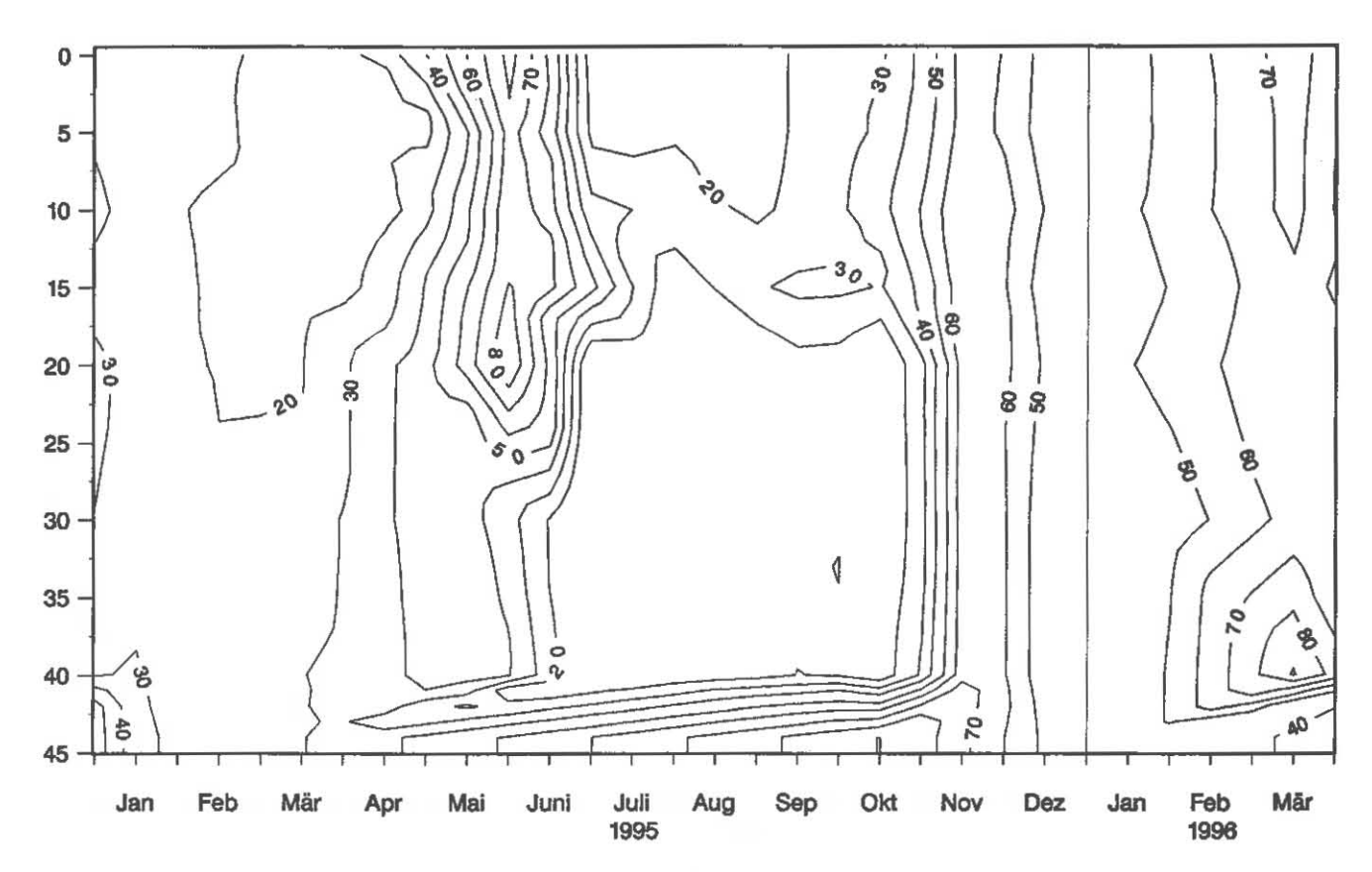


Abb. 63: Bodensee – Untersee, Rheinsee (Berlingen):
 Ammonium – Stickstoff (mg/m³)

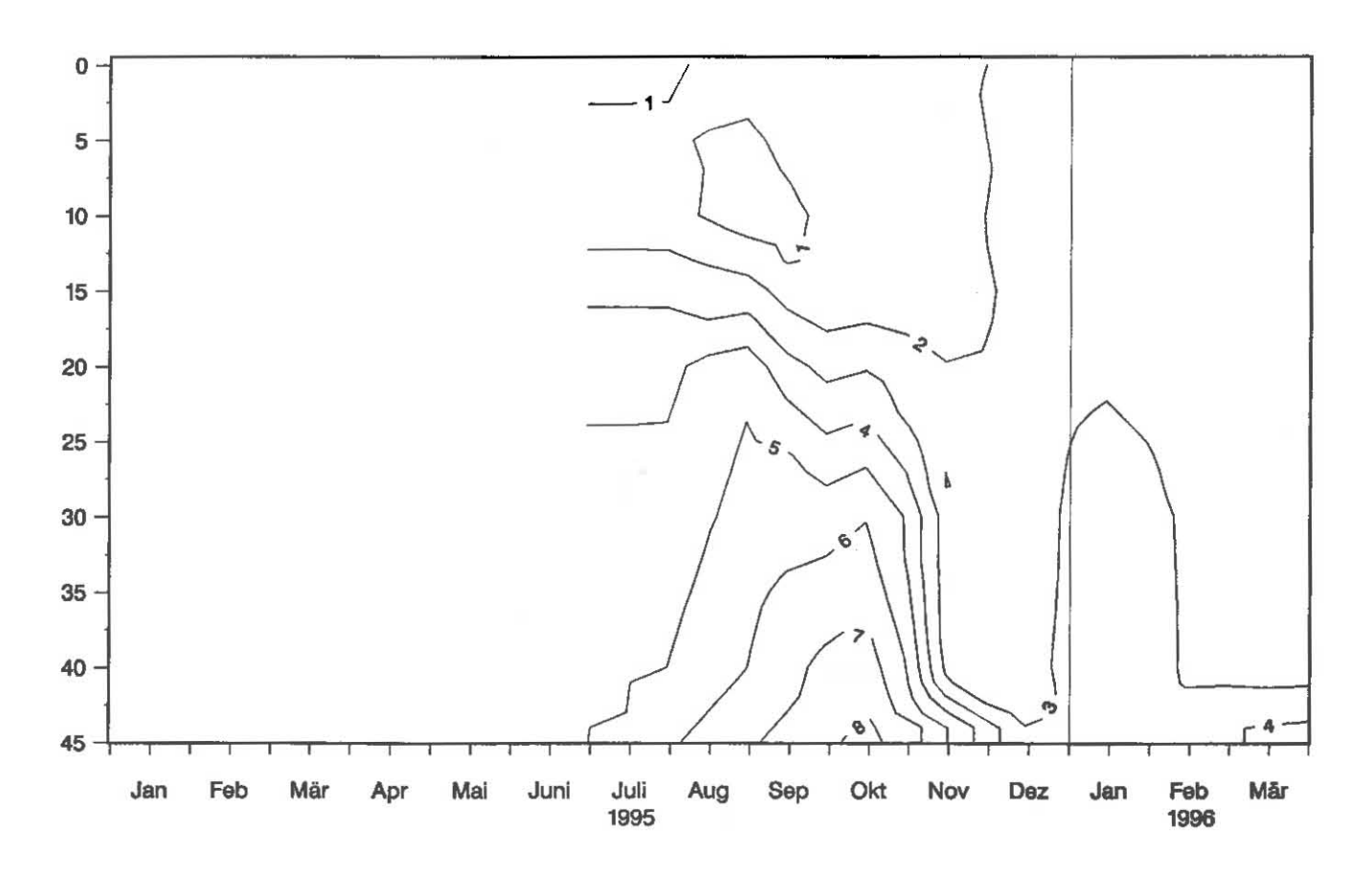


Abb. 64: Bodensee - Untersee, Rheinsee (Berlingen): Silikat (mg/l)

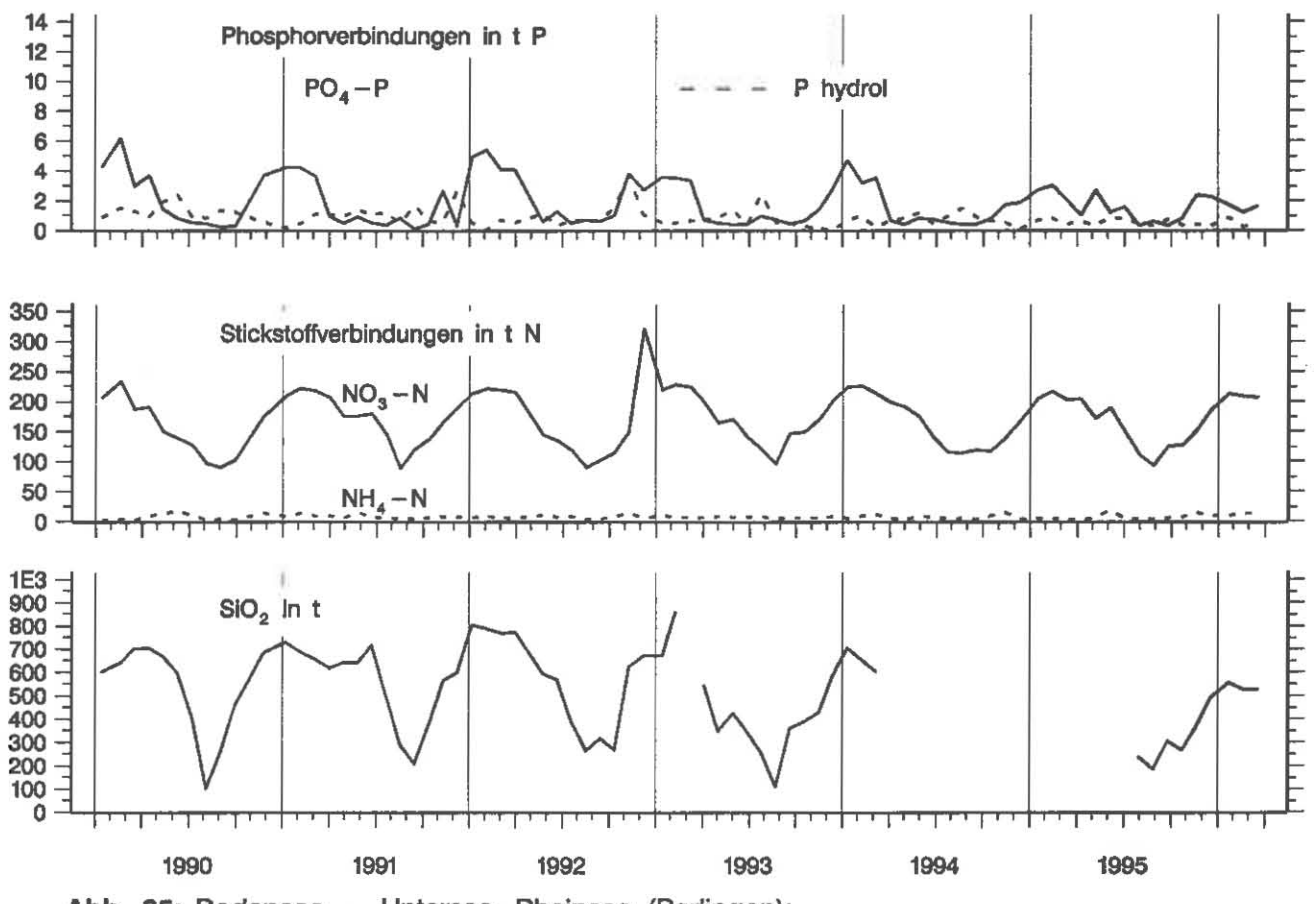


Abb. 65: Bodensee – Untersee, Rheinsee (Berlingen): N\u00e4hrstoffinhalt im Epilimnion 0-10 m Tiefe

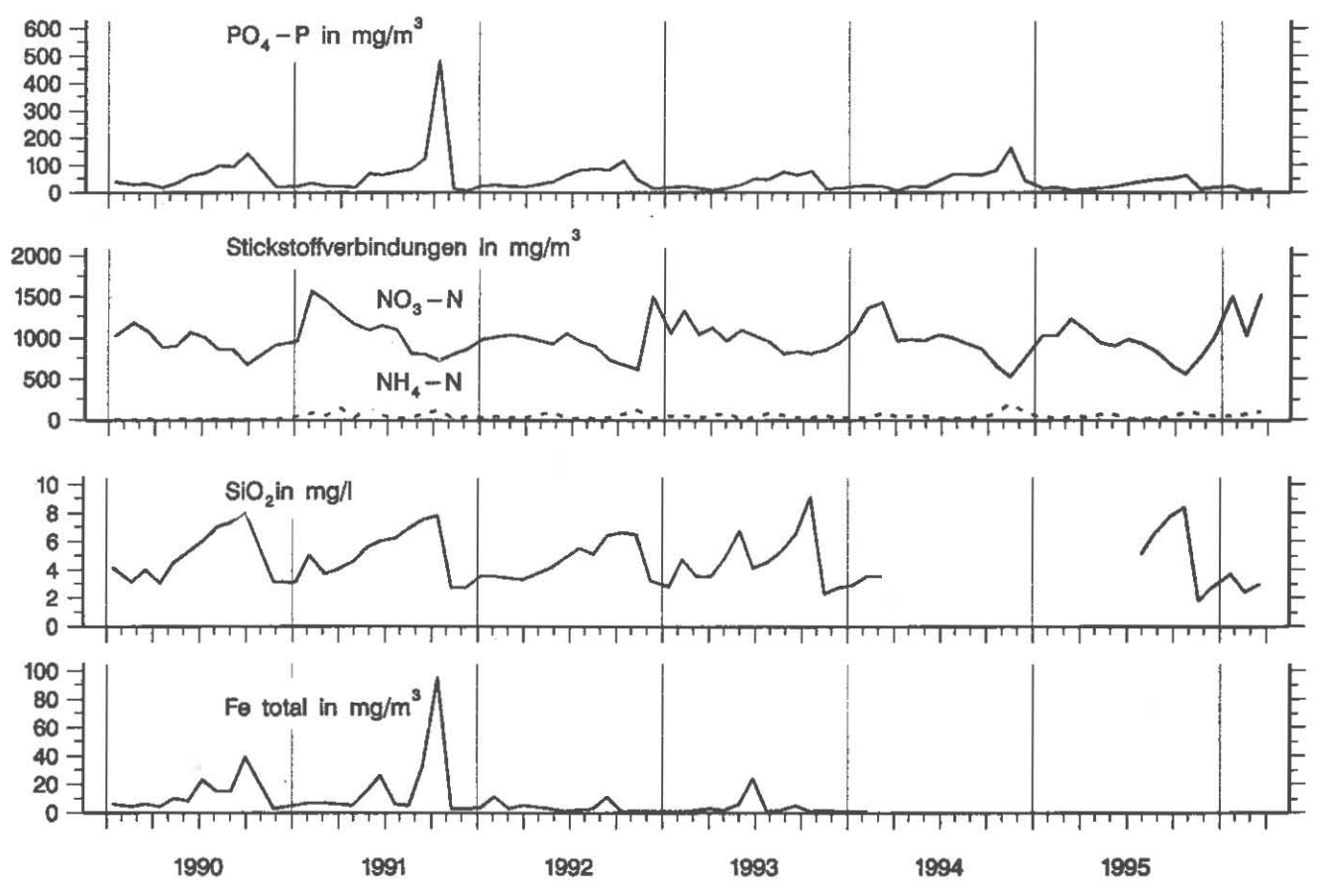


Abb. 66: Bodensee – Untersee, Rheinsee (Berlingen): Nährstoffkonzentration in 46 m Tiefe

Abb. 67: Bodensee - Untersee, Rheinsee (Berlingen):
Anorganischer Kohlenstoff (mmol/l)

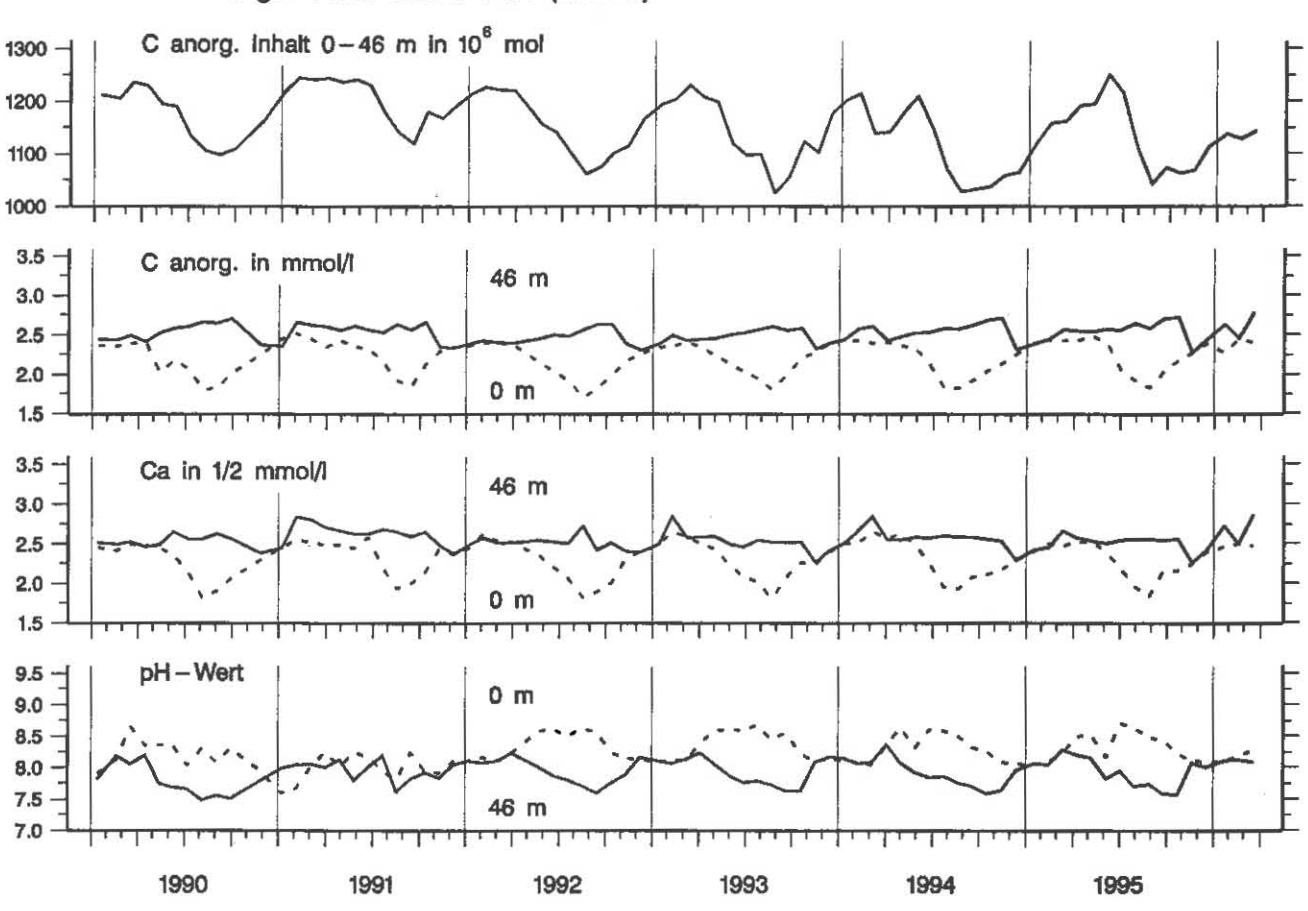


Abb. 68: Bodensee – Untersee, Rheinsee (Berlingen):
Anorganischer Kohlenstoff, Inhalt 0-46 m Tiefe
Konzentration von anorg. Kohlenstoff, Calcium; pH-Wert

Abb. 69: Bodensee – Untersee, Rheinsee (Berlingen): Konzentration von Eisen total (mg/m³)

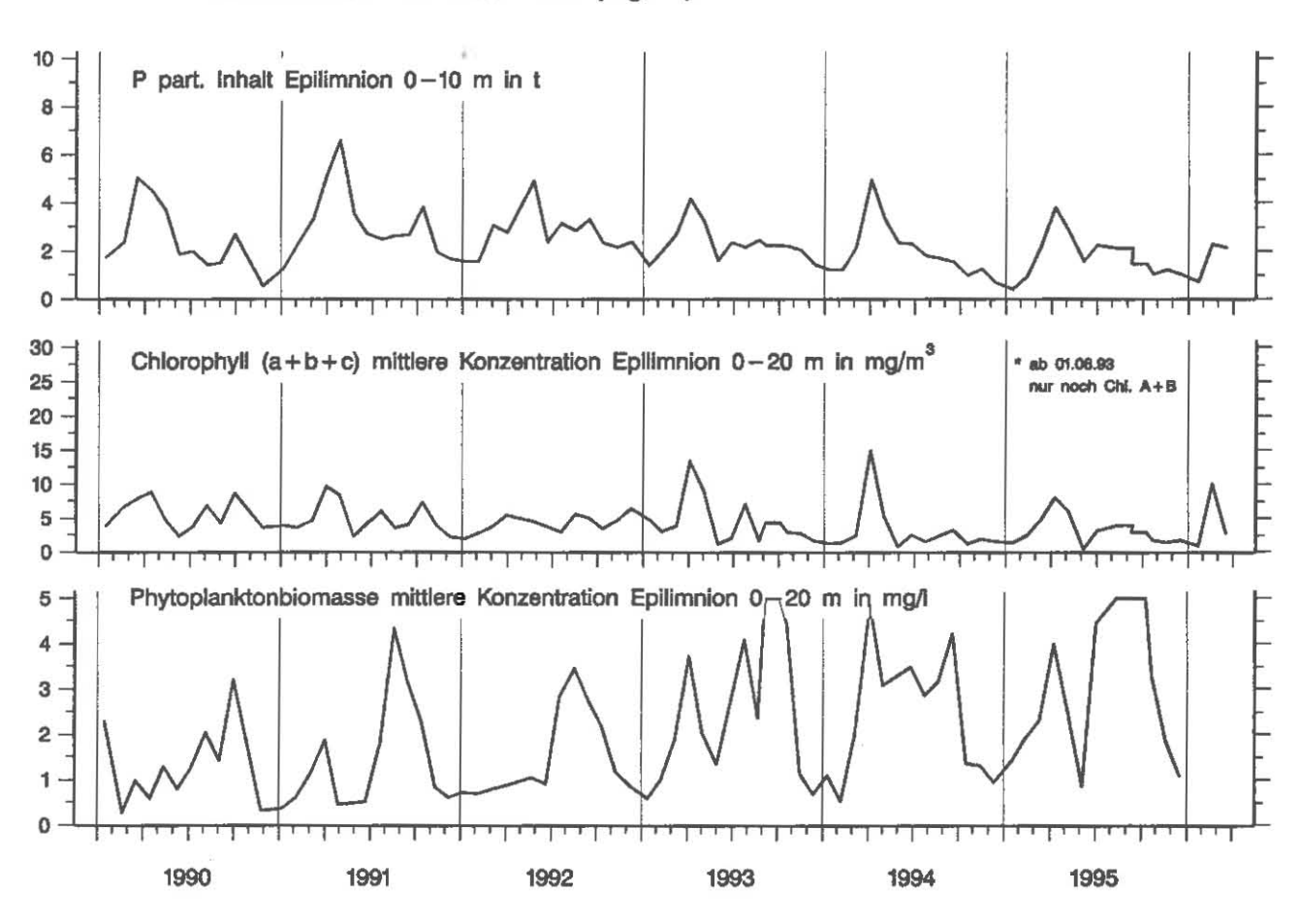


Abb. 70: Bodensee – Untersee, Rheinsee (Berlingen):

Chemische Biomasseindikatoren und Phytoplanktonbiomasse

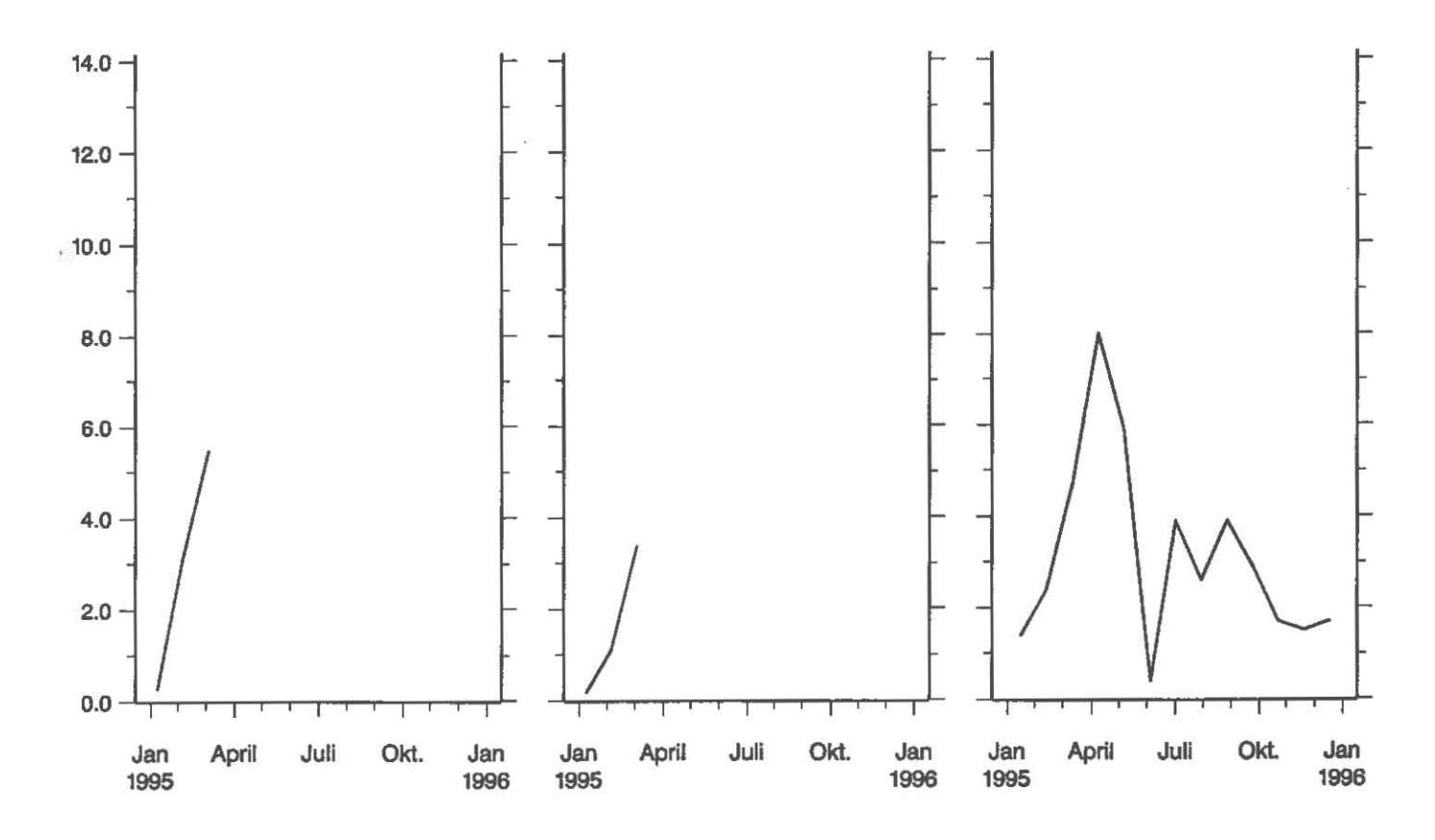


Abb. 71: Bodensee – Untersee

Chlorophyll a + b + c in mg/m³ im Gnadensee (links), Zellersee (Mitte)

und Chlorophyll a in mg/m³ im Rheinsee (rechts);

mittlere Konzentration 0-20 m Tiefe



Tabelle 1 (1)

Normal - Tiefenserien an den Stationen

Fischbach - Uttwil: 0, 5,10, 15, 20, 30, 50, 100, 150, 200, 230, 250 m

Langenargen - Arbon : 0, 5,10, 15, 20, 30, 50, 100, 150, 190, 200 m

Bregenzer Bucht: Für chemische Untersuchungen

0, 5, 10, 20, 30, 60 m

Für Sauerstoff- und Temperaturmessungen

0, 5, 10, 15, 20, 30, 50, 60 m

Überlinger See: 0, 5, 10, 20, 30, 50, 60, 100, 140 m

Zeller See : 0, 5, 10, 15, 20, 22 oder23 oder 24 ⁺ m

Rheinsee: 0, 5, 10, 15, 20, 30, 40, 44 oder 45 oder 46 ⁺ m

† je nach Wasserstand

Tabelle 1 (2)

Untersuchungstermine Januar 1995 bis April 1996 an den Stationen Fischbach- Uttwil (F), Langenargen - Arbon (L), Bregenzer Bucht (B) und von Januar 1995 bis Januar 1996 an den Stationen (Zellersee (Z) und Rheinsee bei Berlingen (R)

| Oharasa | Cántian | | | | Hatom | ee - Statio | non | |
|---------|-----------|---|----|-----|--------|-------------|-----|---|
| | - Station | | | | | | | |
| 15.01. | 1995 | F | L | _ | 09.01. | 1995 | Z | _ |
| 30.01. | | F | | В | 16.01. | | - | R |
| 07.02. | | F | L | | 05.02. | | Z | _ |
| 21.02. | | F | | В | 13.02. | | - | R |
| 06.03. | | F | L | 220 | 05.03. | | Z | _ |
| 22.03. | | F | | В | 13.03. | | _ | R |
| 31.03 | | | 20 | В | 03.04. | | Z | _ |
| 03.04. | | F | L | | 10.04. | | | R |
| 18.04 | | F | | | 08.05. | | _ | R |
| 24.04. | | | | В | 22.05. | | Z | |
| 08.05. | | F | L | | 06.06 | | _ | R |
| 14.05. | | | | В | 20.06. | | Z | - |
| 22.05 | | F | | | 03.07. | | | R |
| 05.06. | | F | L | | 18.07. | | Z | |
| 20.06 | | F | | | 31.07. | | | R |
| 26.06. | | | | В | 14.08. | | Z | |
| 03.07. | | F | L | | 28.08. | | | R |
| 12.07 | | | | В | 11.09. | | Z | |
| 18.07 | | F | | | 19.09. | | | R |
| 01.08. | | F | L | | 23.10. | | | R |
| 14.08 | | F | | | 24.10. | | Z | |
| 22.08. | | | | В | 20.11. | | | R |
| 05.09. | | F | L | | 21.11. | | Z | |
| 19.09 | | F | | | 18.12. | 1996 | | R |
| 26.09. | | | | В | 19.12. | | Z | |
| 09.10. | | F | L | | 22.01. | | | R |
| 07.11. | | F | L | В | 23.01. | | Z | |
| 21.11 | | F | | | | | | |
| 05.12. | | F | L | | | | | |
| 11.12. | | | | В | | | | |
| 19.12. | | F | | | | | | |
| 08.01. | 1996 | F | L | В | | | | |
| 24.01. | | F | | | | | | |
| 06.02. | | F | L | | | | | |
| 21.02. | | | | В | | | | |
| 05.03. | | F | L | В | | | | |
| 18.03 | | F | | | | | | |
| 08.04. | | F | L | | | | | |

Tabelle 1 (3)

Liste der untersuchten Inhaltsstoffe für die Untersuchungsstationen Fischbach - Uttwil (F),

Langenargen - Arbon (L), Bregenzer Bucht (B), Zellersee (Z) und Rheinsee bei Berlingen (R)

| Leitfähigkeit bei 20 °C | F | L | В | Z | R |
|-------------------------------------|---|---|---|---|-----|
| рН | F | L | В | Z | R |
| Sauerstoff | F | L | В | Z | R |
| Alkalinität | F | L | В | Z | R |
| Gesamthärte | F | L | В | Z | R |
| Calcium | F | L | | Z | R |
| Magnesium | F | L | | | R |
| Silikat | F | L | | Z | |
| Orthophosphat | F | L | В | Z | R |
| Phosphor gelöst (im Filtrat nach | | | | | |
| Aufschluß) | F | L | В | Z | R |
| Phosphor partikulär | F | L | В | Z | R |
| Phosphor total (im Rohwasser nach | F | L | В | Z | R |
| Aufschluß) | F | L | В | Z | R |
| Ammonium | F | L | В | Z | R |
| Nitrit | F | L | В | Z | R |
| Nitrat | F | L | В | Z | R |
| Kjeldahl - Stickstoff im Filtrat | F | L | | | |
| partikulärer Stickstoff direkt | F | L | | | |
| Chlorophyll (a+b+c) nach Goltermann | F | | | | R |
| Phaeophytin nach Goltermann | F | | | | R |
| Chlorid | F | L | В | Z | R |
| Sulfat | F | L | В | Z | R |
| Eisen total | F | L | | Z | |
| Mangan total | F | L | | | R*) |
| Natrium | F | L | | | R |
| Kalium | F | L | | | R |
| KMNO4 - Verbrauch | F | L | В | | |
| UV - Extinktion (260 nm) | F | L | | Z | |
| | | | | | |

^{*)} Rheinsee: Eisen, Mangan gelöst

Berechnete Inhaltsstoffe:

| pH korrigiert auf aktuelle | | | | | | |
|--------------------------------------|---|----|---|--|---|---|
| Temperatur | F | L | | | Z | R |
| Sauerstoffsättigung in % | F | L | В | | Z | R |
| Restsauerstoff nach Oxidation der | | | | | | |
| anorganischen Komponenten | F | L | | | Z | R |
| Rest - Sauerstoff nach Oxidation der | | | | | | |
| anorganischen und organischen | | | | | | |
| Komponenten | F | L | | | | |
| Anorganischer Kohlenstoff | F | L | | | Z | R |
| Gleichgewichts - CO ₂ | | | | | Z | R |
| Magnesium (aus Gesamthärte und | | | | | Z | R |
| Calcium) | | | | | Z | R |
| $H_2CO_3 + CO_2$ | F | Ĺ | | | Z | R |
| Hydrogenkarbonat | F | L | | | Z | R |
| Karbonat | F | L | | | Z | R |
| Gleichgewichtskohlensäure | F | L | | | Z | R |
| Calcitsättigung | F | L | | | Z | R |
| ausgefallener Kalk (nach Jacobsen / | | | | | | |
| Langmuir) | F | L | | | Z | R |
| Phosphor total (P gelöst + P part.) | F | L | | | Z | R |
| Phosphor hydrolisierbar | | | | | | |
| (P gelöst - PO ₄ -P) | F | L | В | | Z | R |
| Organischer Stickstoff gelöst | | | | | | |
| (N-KJF - NH ₄ -N) | F | L | | | | |
| Organischer Stickstoff total | | | | | | |
| (N-KJF + NH ₄ -N) | F | L | | | | |
| Gesamtsstickstoff anorganisch | | | | | | |
| $(NO_3 + NO_2 + NH_4) - N$ | F | L | В | | Z | R |
| Gesamtstickstoff | F | L, | | | | |
| Summe der Kationen | F | L | В | | Z | R |
| Summe der Anionen | F | L | В | | Z | R |

Tabelle 2: Seekenndaten

Bodensee-Obersee (Fischbach-Uttwil), Seejahr 1995 (Meßdaten vom 03.04.95 bis 18.03.96)

IV bis XII: Monate 1995; t-III, IV-96: Monate 1996

| Parameter | | Mess (a | | | Stoffinhalt (b) | | | | | | | | Stoffbilanz (b) | | | |
|---|---------------------|-----------------|---------------------|----------------|--------------------|------------------|--------------------|--------------|--------------------|----------------------------|--------------------|------------------|--------------------|---------------|---------------|--|
| | Epilima (O - 10 | | Seebode (1m über | | | See | total | | | Epilimnion (0 - 10 m) | | nnion 52.5 m) | Begin bis | 03.04 bis | 05.09 bis | |
| | Maximum Minimum | Zeit | Maximum Minimum | Zeit | Beginn 03.04.95 | Ende 18.03.96 | Maximum Minimum | Zeit | Maximum Minimum | Zeit | Maximum Minimum | Zeit | Ende Seejahr | 05.09 1994 | 18.03 1995 | |
| Thermik (a) °C, (b) 1012 Kcal | 24,0 4,5 | VIII III | 5,3 4,5 | 111 | 245,6 | 207,5 | 360,3 215,0 | Vill | 90,7 19,8 | VIII | 7,7 6,3 | IX | -38 | +104 | -134 | |
| Sauerstoff (a) mg l ⁻¹ , (b) 10 ³ t | 16,6 8,6 | V VII | 10,5 6,2 | III IX | 522,7 | 505,7 | 528,3 451,7 | V IX | 64,4 40,5 | V | 15,1 9,9 | III 11 | -17 | -71 | + 54 | |
| Orthophosphat - P (a) mg m ⁻⁹ , (b) t | 20,0 0,0 | III VIII | 40,0 18,0 | VIII-IX III | 860,0 | 809,5 | 931,2 576,2 | III XI | 78,6 2,7 | III VIII | 50,1 25,9 | - 10 | +51 | -24 | +31 | |
| Phosphor, hydrolisierb. (A) mg m ⁻³ , (b) t | 4,0 0,0 | XII | 5,0 1,0 | IV,XII,I | 205,3 | 90,4 | 206,6 62,7 | XI III | 17,4 5,8 | XII | 7,2 2,8 | XII | -115 | -43 | -72 | |
| Phosphor, gelöst (a) mg m ⁻³ , (b) t | 22,0 2,0 | III VIII | 43,0 17,0 | VIII,IX | 1065,3 | 899,9 | 1065,3 741,8 | IV IX | 88,1 14,1 | IV VIII | 56,5 26,5 | II IV | -199 | -283 | +84 | |
| Phosphor, partikulär (a) mg m ⁻³ , (b) t | 9,0 1,0 | IX II | 28,0 1,0 | XI IV | 126,5 | 99,7 | 301,8 76,0 | XII | 34,1 5,1 | IX II | 9,3 1,5 | XII | -27 | -16 | -11 | |
| Phopshor, total (a) mg m ⁻³ , (b) t | 24,0 8,0 | VIII,IX | 71,0 21,0 | XI III | 1191,8 | 999,6 | 1191,8 865,1 | IV XII | 101,7 39,0 | IV IX | 61,7 30,3 | XI,XII | -192 | -298 | +107 | |
| Nitrat - N (a) mg m ⁻³ , (b) t | 1060,0 490,0 | IV VIII | 1050,0 830,0 | XI II | 48204,7 | 46851,8 | 49671,2 44719,2 | XI VII | 4531,2 2309,5 | IV VIII | 1514,1 1315,4 | × | -1352 | -1316 | -36 | |
| Nitrit - N (a) mg m ⁻³ , (b) t | 21,0 0,0 | VII IV,I-III | 5,0 0,0 | III IV-VII | 20,6 | 101,4 | 259,3 2,0 | VI III,II | 78,6 0,0 | VIII II,II I | 6,5 0,0 | III 14,11,V1 | +80 | + 57 | + 24 | |
| Ammonium - N (a) mg m ⁻³ , (b) t | 60,0 0,0 | VI XI-III | 30,0 0,0 | IV HII | 479,3 | 257,9 | 616,1 0,0 | VI I-,II | 218,4 0,0 | VI J-III | 16,5 0,0 | IV I-III | -221 | -375 | +154 | |
| Stickstoff, partikulär (a) mg m ⁻³ , (b) t | 120,0 0,0 | V | 30,0 0,0 | XI IX | 429,9 | 295,5 | 1251,8 295,5 | VI Ili | 435,6 45,3 | V It | 28,8 0,0 | VI X | -134 | +451 | -585 | |
| Siliket (SiO ₂) (a) mg l ⁻¹ , (b) 10 ³ t | 3,3 0,3 | VIII II | 6,2 4,6 | II IV | 153,5 | 165,5 | 172,4 127,7 | III VI | 14,7 2,2 | (III | 8,1 5,1 | 1) 111 | +12 | -21 | + 33 | |
| Kallum (a) mg l ⁻¹ , (b) 10 ³ t | 1,4 1,0 | V,VI IX | 1,4 1,2 | VI IX,X | 62,0 | 61,8 | 64,2 55,8 | IV X | 5,7 4,6 | VI IX | 1,9 1,7 | IV IX,XI | 0 | -6 | +6 | |
| Natrium (a) mg l ⁻¹ , (b) 10 ³ t | 4,4 3,1 | IV VII | 4,5 4,3 | V XI | 209,5 | 200,6 | 209,5 193,0 | IV XI | 19,1 14,9 | v x | 6,4 6,1 | VI,VII XI | -9 | -14 | +5 | |

| Parameter | | Mess | | | | | | Stoffin (b) | | | A. | | Stoffbilanz (b) | | | |
|--|---------------------------|----------------|----------------------------------|-----------|--------------------|------------------|--------------------|----------------|---------------------------|------------|---------------------------------|------------|--------------------|---------------|----------------|--|
| | Epilimnion (0 - 10m) | | Seebodennähe (1m über Grund) | | | See | total | | Epilimnion (0 - 10 m) | | Hypolimnion (200 - 252.5 m) | | Beginn bis | 03.04 bis | 05.09 bis | |
| | Maximum Minimum | Zeit | Maximum Minimum | Zeit | Beginn 03.04.95 | Ende 18.03.96 | Maximum Minimum | Zeit | Maximum Minimum | Zeit | Maximu m Minimum | Zeit | Ende Seejahr | 05.09 1994 | 18.03. 1995 | |
| Calcium (a) mg F ¹ , (b) 10 ³ t | 49,6 24,0 | IV VIII | 58,0 48,4 | VII | 2368,1 | 2274,6 | 2368,1 2211,4 | IV VIII | 215,0 171,8 | IV VIII | 83,3 69,0 | VII IV | -94 | -42 | -52 | |
| Magnesium (a) mg f ¹ , (b) 10 ³ t | 9,5 0,6 | I IX | 9,9 3,8 | Į VII | 391,5 | 438,1 | 449,7 371,4 | I IX | 40,2 29,4 | I IX | 14,1 5,5 | VIII | +47 | -20 | +67 | |
| Clorid - Cl (a) mg l ⁻¹ , (b) 10 ³ t | 5,4 3,6 | V VIII | 5,6 5,0 | IX II | 253,9 | 246,8 | 258,7 231,2 | VI X | 23,2 17,0 | V VIII | 8,3 7,3 | VII | -7 | -3 | -4 | |
| Sulfat - SO4 (a) mg l ⁻¹ , (b) 10 ³ t | 34,9 27,2 | IV VII,VIII | 35,9 32,7 | IX VI | 1637,8 | 1616,5 | 1695,8 1563,4 | XII | 149,5 121,0 | IV VII | 51,4 47,3 | XI VI | -21 | -67 | +46 | |
| Eisen total (a) mg m ⁻³ , (b) t | 57,0 9,0 | VI V | 20,8 11,0 | XI VI | 863,0 | 754,4 | 1217,6 603,0 | 1 | 139,9 46,0 | V | 40,2 15,8 | XI VI | -107 | +182 | -91 | |
| Mangan total (a) mgm ⁻³ , (b) t | 5,0 1,0 | V IV | 44,0 3,0 | IX III | 47,8 | 51,1 | 193,1 47,7 | IX IV | 10,8 4,1 | IX VIII | 16,0 1,4 | IX IV,V | +3 | +145 | -142 | |
| Kohlenstoff anorg. (a) mg l ⁻¹ , (b) 10 ³ t | 30,2 24,2 | IV,III VIII | 32,9 30,5 | IX III | 1443,0 | 1442,3 | . 1457,9 1411,9 | I IX | 131,2 107,6 | IV VIII | 46,4 43,6 | XI III | 1 | -31 | +30 | |
| Alkalinität (a) mmol l ⁻¹ ,(b)10 ⁶ kmol | 2,5 2,1 | IV VIII | 2,6 2,5 | IX | 119,2 | 119,3 | 120,1 115,2 | XI VIII | 10,8 8,7 | VIII | 3,8 3,6 | IX VIII | 0 | -3 | +3 | |
| chem.Sauerstoffbed, (KMnO4-Verbrauch) (a) mg l ⁻¹ , (b) 10 ³ t | 10,0 6,2 | VISI | 7,7 6,3 | VI | 343,8 | 308,7 | 360,1 308,7 | VI | 37,9 28,3 | VIII | 10,5 9,0 | VIII IX | -35 | -32 | -3 | |
| UV - Extinktion 260 nm, d = 5 cm | 0,260 0,148 | VI VIII | 0,164 0,140 | V VI | | | | | | | | | | | | |
| elektr. Leitfähigkeit μS cm ⁻¹ , 20°C | 295,0 235,0 | H VIII | 303,0 295,0 | II VII |] | | | | | | | | | | | |

III XI

11

8,7 7,9

24,6

Х

٧

Ш

8,1 7,7

0,9

pH - Wert

Chlorophyll (a + b + c) (a) mg m⁻³

Vergleich von Meßwerten der verschiedenen Teile des Bodensee - Obersee Seejahr 1995 / 96 an den Stationen Fischbach - Uttwil (F), Langenargen - Arbon (L) und Bregenzer Bucht (B)

Tabelle 3

| Meßwerte in "0" m | F | L | В |
|--|--------|--------|---------------|
| Temperatur in °C | | | |
| Maximum | 24,0 | 22,9 | 21,8 |
| Minimum | 4,7 | 4,6 | 4,7 |
| Sauerstoff in mg O2 I ⁻¹ | | | |
| Maximum | 16,6 | 15,4 | 15,5 |
| Minimum | 9,6 | 7,5 | 9,4 |
| Leitfähigkeit bei 20 °C in µS cm ⁻¹ | | | |
| Maximum | 294,0 | 293,0 | 334,0 |
| Minimum | 236,0 | 242,0 | 280,0 |
| pH in pH - Einheiten | | | |
| Maximum | 8,7 | 8,8 | 8,6 |
| Minimum | 8,1 | 8,1 | 8,0 |
| Orthophosphat in mg PO ₄ -P m³ | | | |
| Maximum | 17,0 | 19,0 | 11,0 |
| Minimum | 0,0 | 2,0 | 2,0 |
| Phosphor gelöst in mg P m ³ | | | |
| Maximum | 21,0 | 23,0 | 13,0 |
| Minimum | 3,0 | 5,0 | 3,0 |
| Phosphor total in mg P m ³ | | | |
| Maximum | 24,0 | 28,0 | 30,0 |
| Minimum | 8,0 | 9,0 | 11,0 |
| Nitrat in mg NO ₃ -N m ³ | | | |
| Maximum | 1000,0 | 1230,0 | 1020,0 |
| Minimum | 490,0 | 520,0 | 380,0 |
| Ammonium in mg NH₄-N m³ | | | |
| Maximum | 50,0 | 40,0 | 60,0 |
| Minimum | 0,0 | 0,0 | 10,0 |
| Eisen total in mg Fe m ³ | | | |
| Maximum | 182,0 | 40,0 | |
| Minimum | 12,0 | 9,0 | : |
| Kohlenstoff anorg. in mmol C I ⁻¹ | | | |
| Maximum | 2,5 | 2,5 | 4,4 |
| Minimum | 2,0 | 2,1 | 2,1 |
| Phosphor partik. in mg P m ³ | | | |
| Maximum | 7,0 | 20,0 | 20,0 |
| Minimum | 2,0 | 1,0 | 7,0 |
| Stickstoff partik, in mg N m ³ | | | |
| Maximum | 0,08 | 0,08 | 4 |
| Minimum | 10,0 | 10,0 | - |

| Meßwerte in Seebodennähe | F | L | В |
|---|--------|--------|--------|
| | 250 m | 200 m | 60 m |
| | | | |
| Temperatur in °C | | | |
| Maximum | 5,3 | 5,0 | 6,1 |
| Minimum | 4,4 | 4,3 | 4,6 |
| Sauerstoff in mg O ₂ I ⁻¹ | | | |
| Maximum | 10,1 | 10,7 | 12,0 |
| Minimum | 5,9 | 6,7 | 8,0 |
| Leitfähigkeit bei 20 °C in µS cm ⁻¹ | | | |
| Maximum | 303,0 | 302,0 | 339,0 |
| Minimum | 295,0 | 295,0 | 319,0 |
| pH in pH - Einheiten | | | |
| Maximum | 8,1 | 8,1 | 8,3 |
| Minimum | 7,8 | 7,8 | 8,0 |
| Orthophosphat in mg PO ₄ -P m ³ | | | |
| Maximum | 40,0 | 36,0 | 21,0 |
| Minimum | 16,0 | 17,0 | 8,0 |
| Nitrat in mg NO ₃ -N m ³ | | | |
| Maximum | 1050,0 | 1020,0 | 1200,0 |
| Minimum | 830,0 | 870,0 | 840,0 |
| Ammonium in mg NH ₄ -N m ³ | | | |
| Maximum | 30,0 | 10,0 | 20,0 |
| Minimum | 0,0 | 0,0 | 10,0 |
| Eisen total in mg Fe m ³ | | | |
| Maximum | 208,0 | 150,0 | * |
| Minimum | 11,0 | 12,0 | * |
| Kohlenstoff anorg. In mmol C I ⁻¹ | | | |
| Maximum | 2,7 | 2,7 | 3,9 |
| Minimum | 2,5 | 2,5 | 1,3 |
| Phosphor total in mg P m ³ | | | |
| Maximum | 71,0 | 53,0 | 34,0 |
| Minimum | 21,0 | 25,0 | 21,0 |
| | | | |
| | | | |

Tabelle 4: Seekenndaten

Bodensee-Untersee (Zellersee), Seejahr 1995 (Meßdaten vom 09.01.95 bis 23.01.96)

I bis XII: Monate 1995; I-III, I-94: Januar 1996, * von V - VIII keine Werte

| Parameter | | Mess (a | | | | | | Stoffbilanz (b) | | | | | |
|---|----------------------|----------------|-----------------------|------------|--------------------|------------------|--------------------|--------------------|---------------------|-------------|------------------------|----------------------|----------------------|
| | Epilimi (0 - 10 | | Seeboder (1m über | | V | See | total | | Epilima (0 - 10 | | Beginn | 09.01 | 18.07 |
| | Maximum Minimum | Zeit | Maximum Minimum | Zeit | Beginn 09.01.95 | Ende 23.01.96 | Maximum Minimum | Zeit | Maximum Minimum | Zeit | bis Ende Seejahr | bis 18.07 1995 | bis 23.01 1996 |
| Thermik (a) °C, (b) 10 ⁹ kcal | 22,6 3,3 | VII 196 | 11,2 4,2 | IX I | 766,4 | 661,0 | 3670,5 661,0 | VIII 196 | 2363,7 354,8 | VIII 196 | -105 | +2818 | -2924 |
| Sauerstoff (a) mg l ⁻¹ , (b) t | 12,8 7,9 | IV VIII | 12,3 3,3 | VII. | 2249,9 | 2102,3 | 2330,1 1387,0 | III VIII | 1331,6 1017,1 | IV XI | -147 | -410 | + 262 |
| Orthophosphat - P (a) mg m ⁻³ , (b) t * | 26,0 1,0 | I IV | 327,0 1,0 | X IV | 4,8 | 2,7 | 6,4 1,4 | X | 2,7 0,1 | IV. | -2 | |)H |
| Phosphor, hydrolisierb. (A) mg m ⁻³ , (b) t * | 10,0 3,0 | III XII,196 | 16,0 2,0 | X | 1,2 | 0,7 | 1,7 0,6 | III XII | 1,0 0,4 | XI 196 | 0 | * | |
| Phosphor, gelöst (a) mg m ⁻³ , (b) t * | 33,0 6,0 | XI | 343,0 8,0 | X | 61,0 | 3,4 | 7,5 1,5 | X IV | 3,4 0,6 | IX. | -3 | - | |
| Phospher, partikulär (a) mg m ⁻³ , (b) t * | 16,0 5,0 | II X,XII | 23,0 8,0 | IX IV | 1,7 | 1,3 | 2,8 0,9 | II XII | 1,6 0,6 | II XII | 0 | (W) | |
| Phopshor, total (a) mg m ⁻³ , (b) t * | 42, 0 15,0 | ı,xı x | 361,0 16,0 | X IV | 7,8 | 4,6 | 8,9 3,2 | IX IV | 4,4 1,6 | t X | -3 | - | - |
| Nitrat - N (a) mg m ⁻³ , (b) t | 1570,0 740,0 | ili VII | 2450,0 970,0 | 196 VII | 261 | 244 | 296,8 137,1 | 111 V(I | 196,6 65,8 | III VII | -16 | -194 | +178 |
| Nitrit - N (a) mg m ⁻³ , (b) t | 21,0 3,0 | IX VIII | 33,0 6,0 | VIII | 1,8 | 1,8 | 5,1 1,4 | IX XII | 2,1 0,8 | XI 196 | 0 | -2 | +2 |
| Ammonium - N (a) mg m ⁻³ , (b) t | 70,0 0,0 | V,VIII XII | 770,0 10,0 | I-III | 1,8 | 3,6 | 14,8 1,5 | V XII | 7,4 0,8 | V,!X 196 | -2 | +2 | -2 |
| Silikat (SiO ₂) (a) mg l ⁻¹ , (b) t | 3,5 0,9 | XII | 10,3 2,2 | X | 638,8 | 632,6 | 649,0 379,4 | XII | 363,2 134,3 | VIII | -6 | -144 | +138 |
| Calcium (a) mg l ⁻¹ , (b) t | 56,2 36,4 | VII VIII | 70,0 44,0 | 196 IX | 8655,0 | 1021,1 | 1048,1 808,9 | VII | 5854,2 4133,4 | III VIII | -7634 | -565 | -7068 |
| Magnesium (a) ml I ⁻¹ , (b) t | 11,64 0,0 | IV VII | 9,8 3,0 | IV IX | 1436,4 | 1231,2 | 2012,0 110,4 | IV VII | 1187,0 40,5 | IV VII | -205 | -1325 | +1120 |
| Chlorid (a) mg l ⁻¹ , (b) t | 10,5 4,6 | III VI | 13,2 6,8 | II IX | 1873,4 | 1600,4 | 1957,6 1027,5 | III VI | 1108,9 553,9 | III VI | -273 | -804 | +531 |

| Parameter | | Mess (a | | | | | | Stoffbilanz (b) | | | | | |
|--|--------------------|----------------|----------------------------------|------------|--------------------|------------------|--------------------|--------------------|--------------------|-------|--------------|-------|----------------------|
| | Epilim (0 - 1 | | Seebodennähe (1m über Grund) | | | | nnion (O m) | Begir | | 18.07 | | | |
| | Maximum Minimum | Zeit | Maximum Minimum | Zeit | Beginn 09.01.95 | Ende 23.01.96 | Maximum Minimum | Zeit | Maximum Minimum | Zeit | End Seeja | | bis 23.01 1996 |
| Eisen total (a)mg m ⁻³ , (b) t | 41,0 9,0 | IV VII,VIII | 195,0 14,0 | 196 V | 5,7 | 7,8 | 7,8 2,9 | 196 V | 4,0 1,5 | | + | 2 -3 | +5 |
| Kohlenstoff anorg. (a) mg l ⁻¹ , (b) t | 32,8 23,7 | III VII | 39,6 29,1 | 196 XI | 5390,5 | 5860,5 | 6153,6 5138,7 | III VIII | 3510,0 2637,6 | | 1II + 47 | 0 +26 | +444 |
| Alkalinität (a) mmol -1,(b)103kmol | 2,7 1,9 | III VIII | 3,2 2,4 | 196 IX | 443,6 | 486,7 | 509,2 420,3 |) \ | 290,5 220,5 | \ | +4 | 3 +7 | +35 |
| UV - Extinktion 260 nm, d = 5 cm | 0,565 0,175 | I,II VIK | 0,685 0,181 | II VI | | | | | | | | | |
| elektr. Leitfähigkeit µS cm ⁻¹ , 20°C | 326,0 242,0 | IV VIII | 412,0 267,0 | 196 III | | | | | | | | | |
| | | | | | 4 | | | | | | | | |

VIII VIII

> III VI

8,6 8,0

17,5 1,3

pH - Wert

Chlorophyll (a + b + c) Mittelw.0-20m,mg m^{-a} 8,3 7,6 IV VII

Tabelle 5: SEEKENNDATEN

Bodensee-Untersee (Rheinsee, Berlingen), Seejahr 1995 (Meßdaten vom 16.01.95 bis 22.01.96)

I bis XII: Monate 1995; I-96: Januar 1996

| Parameter | | Mess (a | | | | | | Stoffbilanz (b) | | | | | |
|--|---------------------|--------------|-------------------------|--------------|--------------------|------------------|--------------------|--------------------|---------------------|---------------|------------------------|----------------------|----------------------|
| | Epilimr (0 - 10 | | Seeboden (1m über (| S.S Inch and | | See | total | | Epilimn (0 - 10 | | Beginn | 16.01 | 31.07 |
| | Maximum Minimum | Zeit | Maximum Minimum | Zeit | Beginn 16.01.94 | Ende 22.01.95 | Maximum Minimum | Zeit | Maximum Minimum | Zeit | bis Ende Seejahr | bis 31.07 1995 | bis 16.01 1996 |
| Thermik (a) °C, (b) 10° Kcal | 23,1 3,5 | IIV 1 | 8,7 3,5 | IX I | 167,2 | 190,4 | 881,7 167.2 | VII I | 474,8 72,1 | AIII | +23 | +714 | -691 |
| Sauerstoff (a) mg l ⁻¹ (b) t | 15,9 8,6 | V VII | 11,7 0,6 | III X | 5286,8 | 5047,1 | 6136,4 3197,2 | V | 3054,2 1837,2 | V | -239 | -1437 | +1198 |
| Orthophosphat - P (a) mg m ⁻³ , (b) t | 38,0 1,0 | V VII | 61,0 8,0 | X | 5,9 | 5,1 | 5,9 3,0 | l VIII | 3,0 0,3 | II XI,IIV | 0 | -3 | +3 |
| Phosphor, hydrolisierb. (A) mg m³-, (b) t | 14,0 0,0 | VII | 18,0 1,0 | X V | 1,8 | 1,7 | 3,5 1,0 | VII III,IV | 0,9 0,3 | VI VI | 0 | -1 | +1 |
| Phosphor, gelöst (a) mg m³, (b) t | 20,0 3,0 | VII | 79,0 10,0 | X | 7,8 | 6,8 | 8,9 4,4 | li Vili | 3,8 0,8 | All II | -1 | -3 | + 2 |
| Phosphor, partikulär (a) mg m ⁻³ , (b) t | 21,0 2,0 | IV I | 30,0 4,0 | W 1,11 | 1,0 | 1,7 | 6,2 1,0 | IV I | 3,7 0,4 | 107 | +1 | +3 | -2 |
| Phopshor, total (a) mg m ⁻³ , (b) t | 47,0 10,0 | v x | 91,0 20,0 | X | 8,7 | 8,5 | 11,6 8,1 | VII | 5,8 2,2 | v x | 0 | 0 | 0 |
| Nitrat - N (a) mg m ⁻³ , (b) t | 1050,0 440,0 | II VIII | 1500,0 560,0 | 196 X | 467,3 | 519,1 | 519,1 308,4 | 196 VIII | 215,9 92,8 |)II | +52 | -99 | +146 |
| Nitrit - N (a) mg m ⁻³ , (b) t | 19,0 1,0 | VOI. | 70,0 2,0 | VI VII | 3,7 | 4,3 | 12,7 0,6 | VII | 3,1 0,3 | \(\int\) | +1 | -1 | +2 |
| Ammonium - N (a) mg m ⁻³ , (b) t | 90,0 11,0 | VII | 92,0 12,0 | X VII | 12,0 | 22,1 | 41,1 7,2 | VI VII | 18,6 3,2 | VI | +10 | -5 | +15 |
| Silikat (SiO ₂) (a) mg l ⁻¹ , (b) t | : | - | | - | - | 1338,5 | | - | | · | - | +166 | - |
| Calcium (a) mg l ⁻¹ (b) t | 50,4 36,4 | IV,V VIII | 54,4 48,2 | 196 XII | 2255,0 | 2305,8 | 2510,0 2053,6 | VI VIII | 1050,2 765,0 | VI | + 50 | -38 | +88 |
| Magnesium (a) mg ⁻¹ , (b) t | 9,6 7,2 | V | 9,1 8,2 | V | 405,1 | 399,2 | 457,8 367,9 | V | 196,5 151,6 | V | -6 | 0 | -6 |
| Chlorid (a) mg l ¹ , (b) t | 6,8 4,2 | , V ,V | 8,0 5,6 | III | 2798,0 | 3099,0 | 3101,0 2238,0 | IV IX | 140,2 911,0 | IV VIII,IX | + 301 | -296 | + 597 |

| Parameter | | Mess (a | | | 92 | | | Stoffbilanz (b) | | | | | |
|--|---------------------------|------------|----------------------------------|-----------------|--------------------|------------------|--------------------|----------------------|--------------------|---------------|----------------------------|--------------|----------------|
| | Epilimnion (0 - 10m) | | Seebodennähe (1m über Grund) | | | See · | total | Epilimni (0 - 10 | | Beginn bis | 10.01 bis | 25.07 bis | |
| | Maximum Minimum | Zeit | Maximum Minimum | Zeit | Beginn 10.01.94 | Ende 16.01.95 | Maximum Minimum | Zeit | Maximum Minimum | Zeit | Ende 25.07 Seejahr 1994 | | 16.01 1995 |
| Eisen total (a) mg m ⁻³ , (b) t | 5. | | - | (F) (F) | 78 78 | 2 = 3 | - | - | .5 | - | | 8 - 1 | 9 - |
| Kohlenstoff anorg. (a) mg l ⁻¹ , (b) t | 29,9 21,9 | IV VIII | 32,6 27,8 | X XI | 1334,4 | 1363,9 | 1500,0 1250,4 | VI VII) | 625,6 460,8 | VI VIII | +29 | -6 | + 35 |
| Alkalinität (a) mmol ¹⁻¹ (b)10 ³ kmol | 2,5 1,8 | IV VIII | 2,6 2,2 | VII | 110,5 | 112,1 | 123,6 110,1 | VI XII | 51,8 38,9 | IV VIII | +2 | +12 | -10 |
| UV - Extinktion 260 nm, d = 5 cm | 0,122 0,028 | VII IV | 0,039 0,033 | III VII,VIII | | | To de | -1-1-1-1 | | | - | | |
| elektr. Leitfähigkeit μS cm ⁻¹ , 20°C | 299,0 231,0 | IV VIII | 326,0 290,0 | 196 VI | | | | | | | | | |
| | 7 | | r | | 7 | | | | | | | | |

8,2 7,7

5,8 0,2

8,7 8,0

11,5 1,4 VII

IV I

pH - Wert

Chlorophyill (a+b+c), mg/m^3

III VII

III VII

Vergleich von Meßwerten der verschiedenen Teile des Bodensee - Untersees Seejahr 1995 / 96 an den Stationen Zellersee (Z), Rheinsee Station Berlingen (R)

Tabelle 6

| Meßwerte in "0" m | Z | R |
|---|--------|--------|
| Temperatur in °C | | |
| Maximum | 22,6 | 23,1 |
| Minimum | 3,9 | 3,5 |
| Sauerstoff in mg O2 I ⁻¹ | | |
| Maximum | 12,8 | 12,9 |
| Minimum | 9,5 | 8,7 |
| pH in pH - Einheiten | | |
| Maximum | 8,5 | 8,7 |
| Minimum | 8,0 | 8,0 |
| Orthophosphat in mg PO ₄ -P m ³ | | |
| Maximum | 25,0 | 38,0 |
| Minimum | 1,0 | 2,0 |
| Phosphor partikulär mg P m³ | | |
| Maximum | 15,0 | 15,0 |
| Minimum | 5,0 | 2,0 |
| Nitrat in mg NO ₃ -N m ³ | | |
| Maximum | 1600,0 | 1050,0 |
| Minimum | 540,0 | 450,0 |
| Ammonium in mg NH ₄ -N m ³ | | |
| Maximum | 70,0 | 90,0 |
| Minimum | 10,0 | 11,0 |
| Eisen total in mg Fe m ³ | | |
| Maximum | 34,0 | |
| Minimum | 9,0 | |

| Meßwerte in Seebodennähe | Z | R |
|---|-----------|--------------|
| | 22 - 24 m | 44 - 46 m |
| | | |
| Temperatur in °C | | |
| Maximum | 11,1 | 7,5 |
| Minimum | 4,2 | 6,6 |
| Sauerstoff in mg O ₂ I ⁻¹ | | |
| Maximum | 12,3 | 9,6 |
| Minimum | 1,4 | 5,8 |
| pH in pH - Einheiten | | |
| Maximum | 8,2 | 8,1 |
| Minimum | 7,5 | 7,1 |
| Orthophosphat in mg PO ₄ -P m ³ | | |
| Maximum | 327,0 | 31,0 |
| Minimum | 1,0 | 13,0 |
| Nitrat in mg NO ₃ -N m ³ | | |
| Maximum | 1910,0 | 980,0 |
| Minimum | 120,0 | 900,0 |
| Ammonium in mg NH ₄ -N m ³ | | |
| Maximum | 770,0 | 62,0 |
| Minimum | 10,0 | 13,0 |
| Eisen total in mg Fe m ³ | | |
| Maximum | 127,0 | - |
| Minimum | 14,0 | 1000 1000 |

AUSKÜNFTE

Baden-Württemberg: Ministerium für Umwelt und Verkehr

Baden-Württemberg

Kernerpiatz 9

D-70182 Stuttgart

Bayerisches Landesamt für

Wasserwirtschaft Lazarettstraße 67

D-80636 München

Österreich: Amt der Vorarlberger Landesregierung

Römerstraße 15

A-6901 Bregenz

Schweiz: Bundesamt für Umwelt,

Wald und Landschaft (BUWAL)

CH-3003 Bern